



UNIVERSIDADE ESTADUAL DE CAMPINAS - UNICAMP  
IG - INSTITUTO DE GEOCIÉNCIAS  
DEPARTAMENTO DE GEOGRAFIA

**O uso da Morfometria em Bacias de Drenagem :**

**O caso da Bacia do Rio Passa Cinco.**

**Orientando : Luís Eduardo de Oliveira Muraro**

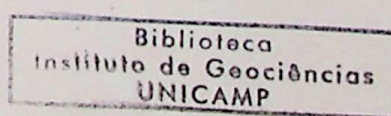
Trabalho apresentado à Disciplina

GF – 804 Monografia II,

como requisito para obtenção

do Grau de Bacharel em Geografia

**Orientador : Prof. Dr. Antônio Carlos Vitte**



TCC/UNICAMP  
M931u  
1290004440/IG

2016 00548

INSTITUTO DE GEOCIÉNCIAS	
N.º CHAMADA	
V.	EX.
TOMBO BC/	4440
TOMBO IGI/	06+
PROC.	16-134.10
C <input type="checkbox"/>	D <input checked="" type="checkbox"/>
PREÇO	R\$11,00
DATA 15/01/00	
N.º CPD	

Cad. Tit. 707336

\* recebemos em 21/06/06, via Prof. Dr. Antônio Carlos Vitti, do  
departamento de geografia.

1. Bacias hidrográficas
2. Morfometria

## ÍNDICE

I- INTRODUÇÃO.....	pg 01
I.1) – Objetivo.....	pg 02
I.2) – Tema.....	pg 02
I.3) – Problemática.....	pg 02
I.4) – Justificativa do Trabalho. ....	pg 03
I.5) – As Fontes e os Métodos Empregados.....	pg 03
CAP. 01- A DEPRESSÃO PERIFÉRICA PAULISTA.....	pg 04
CAP. 02- A BACIA DE SEDIMENTAÇÃO DE RIO CLARO.....	pg 06
2.1) – As Estruturas Tectônicas.....	pg 13
2.1.1) - O Magmatismo e o Campo de Esforços do Cretáceo Inferior.....	pg 13
2.1.2) - O Cenário Posterior ao Magmatismo Serra Geral.....	pg 14
2.1.3) - A Estrutura de Pitanga.....	pg 15
2.1.4) – Tectonismo Cenozóico.....	pg 16
2.2) – A Litologia.....	pg 18
2.2.1) – Formação Botucatu.....	pg 18
2.2.2) – Formação Corumbataí.....	pg 19
2.2.3) – Formação Pirambóia.....	pg 20
2.1.4) – Formação Serra Geral.....	pg 22

2.3) – A Dominância Climática.....	pg 23
CAP. 03 – A ÁREA DE ESTUDO.....pg 29	
A Área de Rio Claro e Suas Formações.....	pg 29
CAP. 04- A Bacia de Drenagem.....pg 31	
4.1) – Padrão de Drenagem.....	pg 31
Considerações Gerais .....	pg 33
4.2) – Hierarquia Fluvial.....	pg 36
Dados Gerais.....	pg 38
4.3) – Setores Retilíneos de Canais .....	pg 41
4.4) – Densidade de Nascentes.....	pg 41
4.5) – Mapa de Orientação de Canais.....	pg 62
CAP. 05 – INTERPRETAÇÕES.....pg 63	
CAP. 06 – CONCLUSÃO.....pg 65	
ANEXOS.....	pg 67

**ESQUEMA MORFOLOGICO**

DO

ESTADO DE SAO PAULO

AZIZ NACIB AB'SABER

— 1955 —

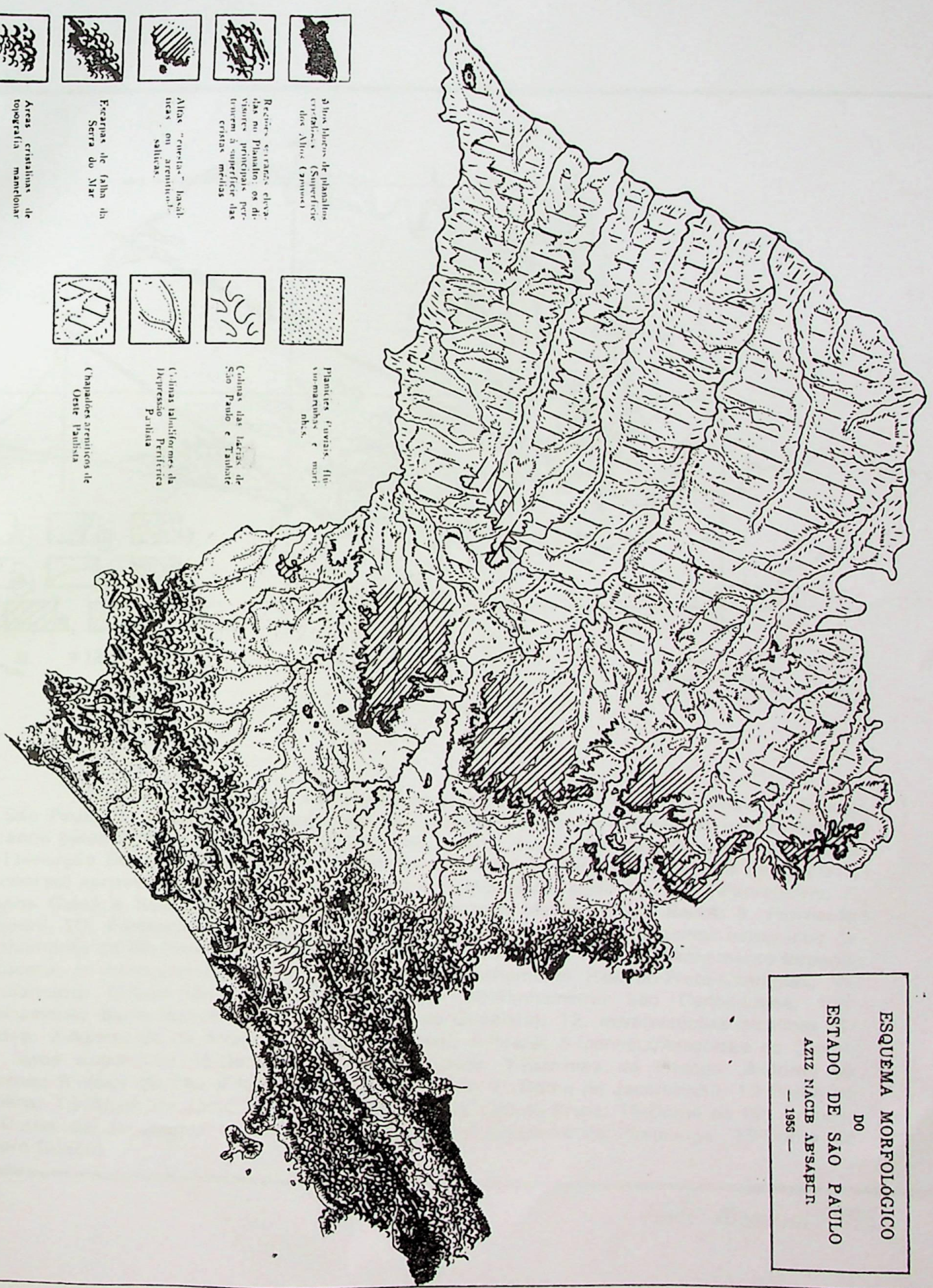
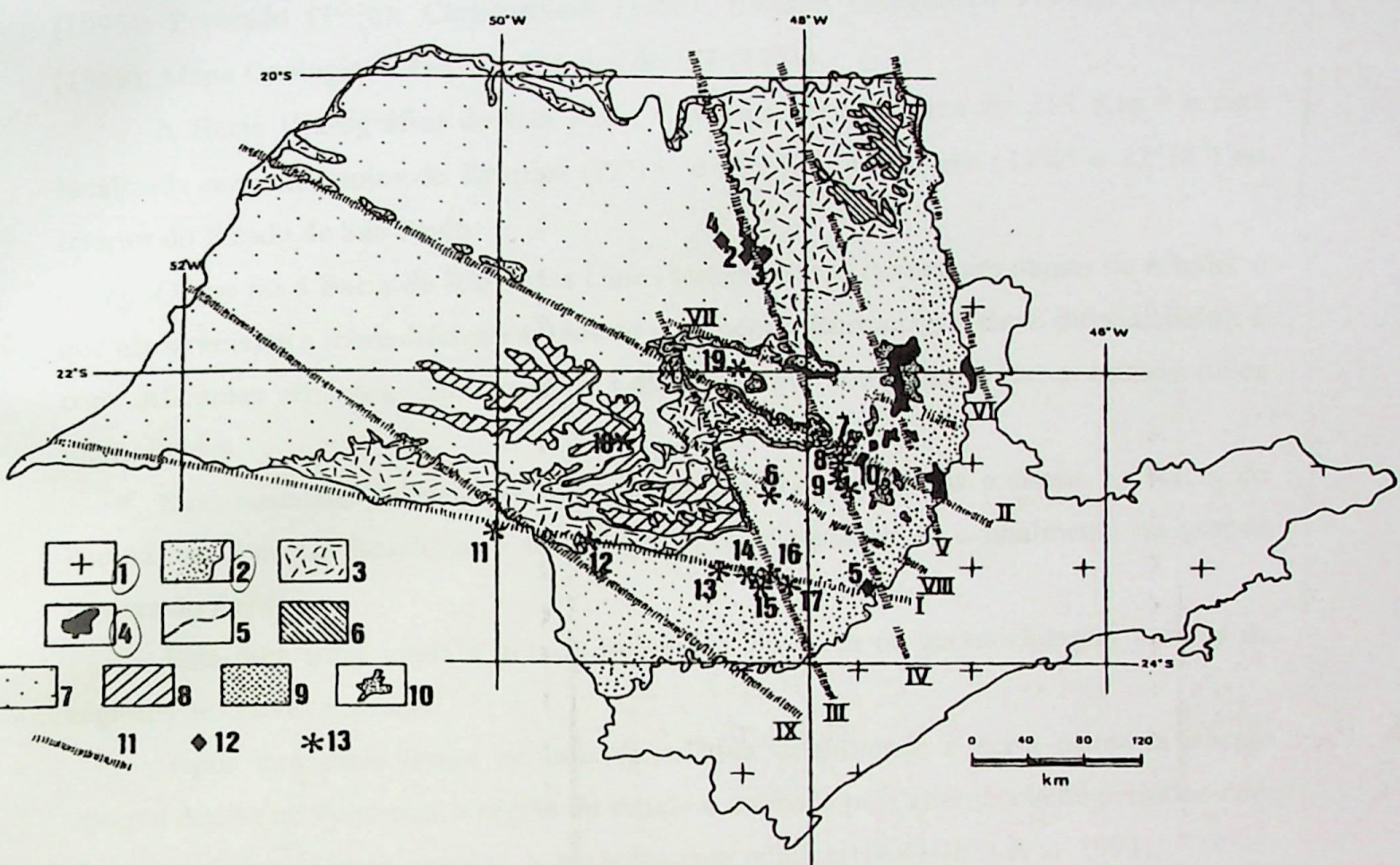


Fig. 2d



Principais alinhamentos estruturais da área geográfica da Bacia do Paraná no Estado de São Paulo. 1. substrato pré-cambriano, em parte recoberto por sedimentos cenozóicos; 2. terrenos paleozóicos e mesozóicos da Bacia do Paraná, subjacentes aos derrames superiores da Formação Serra Geral; 3. rochas vulcânicas da Formação Serra Geral; 4. sills de diabásio; 5. contato aproximado entre 4 e 5; 6. depósitos rudáceos da região de Franca-Pedregulho; 7. grupos Caiuá e Bauru, não diferenciados; 8. Formação Marília, Grupo Bauru; 9. Formação Itaqueri; 10. Formação Rio Claro e depósitos correlatos; 11. alinhamentos estruturais (I-Alinhamento do Rio Paranapanema; II-Alinhamento Estrutural do Tietê; III-Alinhamento Ibitinga-Botucatu; IV-Alinhamento do Rio Moji-Guaçu; V-Alinhamento Ribeirão-Preto-Campinas; VI-Alinhamento Rifaina-São João da Boa Vista; VII-Alinhamento São Carlos-Leme; VIII-Alinhamento Barra Bonita-Itu; IX-Alinhamento de Guapiara); 12. manifestações alcalinas (1-Taiúva; 2-Aparecida do Monte Alto; 3-Jaboticabal; 4-Piranji; 5-Ipanema/Araçoiaba da Serra); 13. altos estruturais (6-Domo de Anhembi-Piapara; 7-Estrutura de Pitanga; 8-Domo de Artemis; 9-Horst de Pau d'Alho; 10-Domo de Jibóia; 11-Domo de Jacarezinho; 12-Domo da Neblina; 13-Domo de Jacu; 14-Estrutura Dômica de Carlota Prenz; 15-Domo de Rio Grande; 16-Domo de Jacutinga; 17-Domo de Guarda; 18-Astroblema de Piratininga; 19-Domo de Jacaré-Guaçu).

Fonte: Ricominini (1995)

## I) - Introdução

O diagnóstico aqui apresentado, fundamentou-se nos seguintes autores: Ricomini (1995); Penteado (1976); Christofoletti (1980); Boletim Geográfico (1949); Ab'Saber (1969); Mapa Geológico e Geomorfológico do IPT (1981).

A Bacia Hidrográfica do Rio Passa Cinco possui uma área de 255 Km<sup>2</sup> e está localizada nos municípios de Itirapina (22°15' e 45°55') e Rio Claro (39°05' e 22°38') no interior do Estado de São Paulo.

\* O que faz a Bacia do Rio Passa Cinco tornar-se um interessante objeto de estudo, é que ela se encontra sobre diferentes tipos de pavimentos estruturais (relevo diferenciado); e com diferentes altitudes. São ao todo 1.499 rios que compõem a bacia muitos deles intermitentes.

\* Suas nascentes formadoras estão localizadas em três níveis a saber: na Bacia do Paraná, nas Cuestas Basálticas e suas Superfícies Interplanáticas e finalmente na grande Depressão Periférica.

Esta área sofre ainda a grande influência climática na geomorfologia, através de regimes de chuvas distintos.

Após atravessar longo período de relativa estabilidade e certa calmaria e cujo apogeu deu-se no Permiano; a região de estudo é marcada pela alternância de períodos com forte atividade tectônica, seguido de períodos com relativa(HACHIRO et al. 1993).

No início das atividades registrasse, no período Cretáceo, um extravasamento gigantesco de rochas basálticas nesta região. Talvez o maior de todos e de todas as eras da Terra. É neste contexto vamos encontrar a chamada Bacia do Paraná (na realidade uma grande bacia intracratônica).

Esta Bacia às vezes cede lugar para novos tipos de acumulações sedimentares. As novas acumulações são el aguns casos extensas, todavia seus períodos geológicos de durações são relativamente mais efêmeros.

Toda essa dinâmica é uma resposta ao novo quadro tectônico que começa a se forma neste período.

Neste momento (Permiano) ocorrerá a formação da Grande Depressão Periférica e o soerguimento das paredes basáltica no hoje interior do Estado de São Paulo. Na divisa

destes dois grande domínios Morfoclimáticos Brasileiros encontramos o Rio Passa Cinco, cuja suas nascentes situam-se no topo da Serra de São Pedro, portanto reverso da Cuesta e seu curso principal no altiplano de Rio Claro.

### I.1) - Objetivo

O objetivo deste trabalho é mostrar a correlação entre o traçado do Rio Passa Cinco e seus afluentes com as linhas de relevo regional. Pretende-se mostrar aqui que os rios dessa bacia obedecem as falhas regionais existentes. Correm estes desde a Bacia Sedimentar do Paraná, passando pelo relevo de Cuestas, seus patamares; indo desaguar no Rio Corumbataí na Grande Depressão Periférica (Formação Rio Claro).

### I.2) - Tema

O tema faz referência a análise da influência das estruturas e falhamentos da região de Itirapina e Rio Claro no curso do Rio Passa Cinco. Vamos observar a grande quantidade de setores retilíneos encontrados na região, deixando claro que os canais dos rios são influenciados pelo falhamento.

### I.3) - Problemática

Com o reativamento das falhas há uma predominância dos padrões de drenagem de forma paralela, especialmente nos trechos mais longos.

Será mostrado pela análise lito-estrutural que há uma obediência das prováveis direções do diaclasamento do Arenito Botucatu e outras formações.

Sofre ainda a região forte influência do clima, com os aguaceiros de verão acentuados alternados com períodos menos chuvosos de seca no inverno.

#### **I.4) - Justificativa do Trabalho**

A escolha deste tema está diretamente relacionada com a linha de pesquisa escolhida. Além de permitir uma integração dos estudos realizados, favorecem suas análises e com a confrontação de dados.

Ao cruzarmos as informações e seus dados, possibilita-nos apresentar, discutir e complementar com o já considerado acervo bibliográfico existente.

Adicionalmente trás uma preocupação em oferecer subsídios geológicos e geográficos para esta área; uma vez que a região possui atividade humana intensa e diversificada.

#### **I.5) - As fontes de informações e os métodos empregados**

O trabalho está alicerçado basicamente em cinco fontes de informações, a saber:

- a) Cartografia de temas relacionados à Geomorfologia e a Morfometria da área estudada.
- b) Um considerável volume de dados colhidos em publicações variadas.
- c) Documentação Bibliográfica.
- d) Internet.
- e) Trabalho de campo.

Para a Bacia do Passa Cinco foram consultadas as cartas de Itirapina e Rio Claro 1:50.000 reeditadas pela Instituto Brasileiro de Estatística e Geografia no ano de 1969. Esta consulta foi realizada sobre as cartas de Itirapina (SF-23-M-1-3) e Rio Claro (SF-23-M-1-4).

## CAP. 01 – A Depressão Periférica Paulista

Segundo Ab'Saber (1969g, pág. 2) a Depressão Periférica Paulista tem a forma de "um corredor de topografia com colinas de relevo suaves e possui aproximadamente 50 Km de largura. Ao atingir o médio Mogi-Guaçu a depressão passa a ter de 80 a 100 Km de largura, alcançando 120 Km na área do médio Tietê. Na área em que a depressão se encurva de SW para W rumo ao segundo Planalto do Paraná mantém-se a largura média continua (oscilando de 80 e 120 Km), comportando, entretanto, sutis modificações topográficas e morfológicas".

Assinala ainda esse autor que coube a Denis (1927) identificar a presença de um compartimento topográfico deprimido, entre as Serras Cristalinas e as Cuestas Basálticas. Refere-se o autor ao aspecto monoclinal das estruturas do interior paulista e reconheceu ainda os efeitos da erosão diferencial na gênese dessa depressão, designando-a porém pela expressão "plaine".

Moraes Rego (1932, pág. 22), descreveu o relevo de depressão periférica como uma fase de peneplanização eocênica junto a uma fase de sedimentação pliocênica, concluindo que entre a peneplanização eocênica e a sedimentação pliocênica teria sido aberta "uma depressão periférica a leste dos lençóis eruptivos, desnudando as camadas inferiores do sistema de Santa Catarina pela ablação dos arenitos da série São Bento não protegidos".

Martonne (1940) caracterizou a existência de uma superfície de aplainamento de idade neogênica, no interior do Estado de São Paulo. Daí por diante todos os autores passaram a se referir a essa superfície, denominando-a das mais variadas formas.

Almeida (1964), para facilitar a cartografia e a descrição do relevo, adotou a divisão proposta por Deffontaines (1935) subdividindo a província em três zonas, a saber: do Médio Tietê, do Mogi-Guaçu e do Paranapanema, delimitadas segundo os divisores d'água desses rios.

A Depressão Periférica na realidade corresponde à faixa de ocorrência das seqüências sedimentares ínfrabasálticas paleozóicas e mesozóicas do Estado de São Paulo, incluindo ainda áreas descontínuas devido ao afloramento de corpos intrusivos, sob a forma

de diques e "sills" de diabásio das mais variadas larguras. Pequenas áreas de rochas pré-cambrianas são ainda incorporadas a esta província.

Sua origem, segundo Ab'Saber (1969g, pág. 1) é predominantemente denudacional, tratando-se de "um dos mais notáveis e esquemáticos casos de 'morvans' intertropicais conhecidos na literatura geomorfológica".

Na área de domínio das rochas paleozóicas, os contrastes litológicos, as estruturas e suas diferentes inclinações de camadas comandam os processos erosivos, destacando saliências cuestiformes de pequena expressão. Tais saliências são suportadas por rochas carbonáticas da Formação Iratí, níveis de sílex da Formação Corumbataí, além das intrusivas básicas que cortam os sedimentos. Essas camadas sedimentares têm em geral baixa inclinação sempre para NW.

Estão baseadas estas rochas no Supergrupo Tubarão e apontam em direção às camadas mesozóicas. Estas últimas acham-se representadas pelos arenitos da Formação Pirambóia, especialmente expostos a montante da "percée" do Rio Tietê.

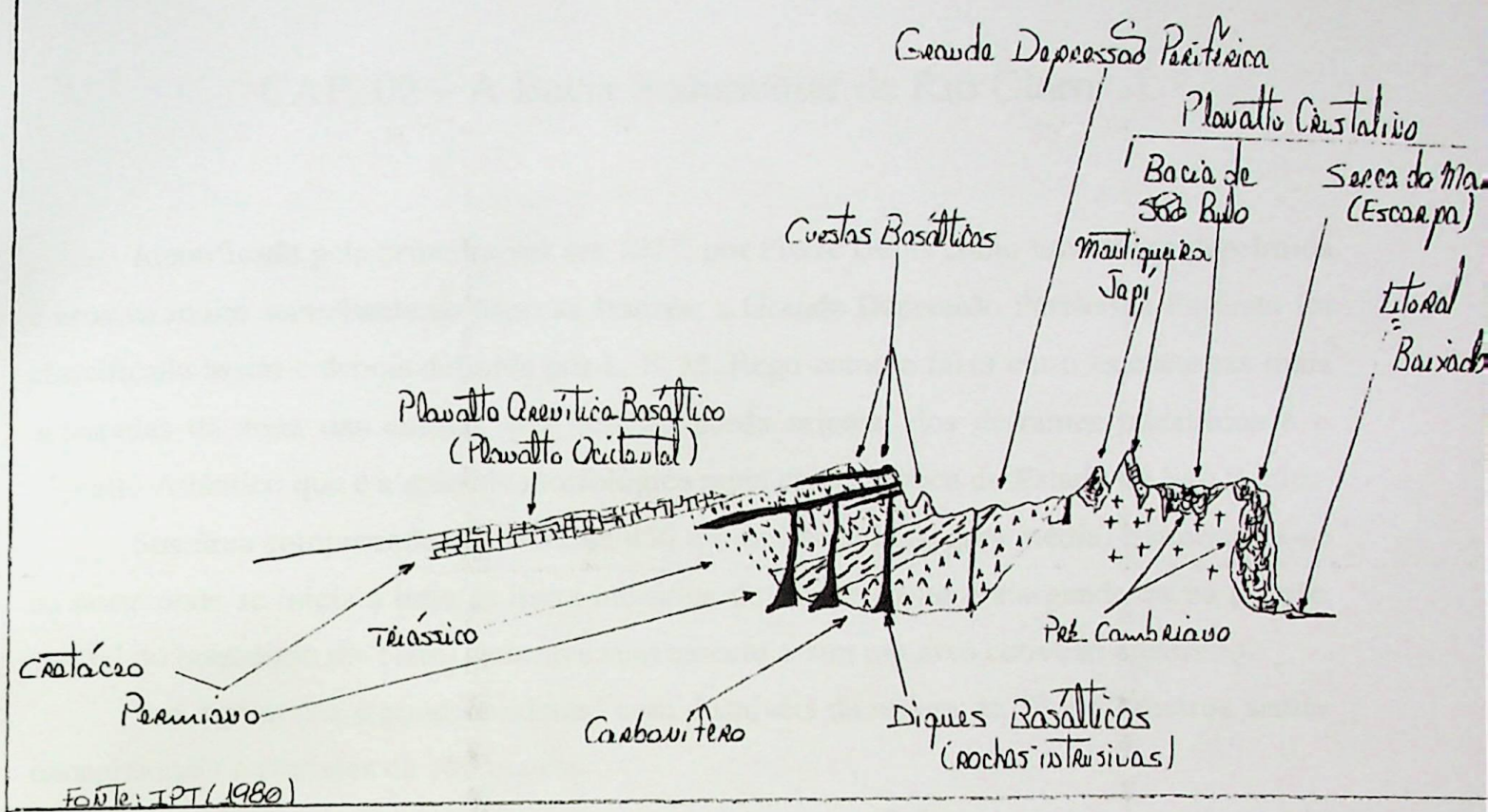
De fato, cabe notar que a Depressão Periférica marca uma acentuada mudança de movimentação do relevo, em relação àquela presente nas províncias adjacentes. O relevo mais montanhoso que caracteriza a área do Planalto Atlântico cede lugar na Depressão Periférica, a um relevo colinoso que não está diretamente vinculado às litologias sedimentares, pois transgride seus limites e avança por sobre rochas graníticas, metamórficas e migmatíticas do embasamento.

Nesta região áreas colinosas são esculpidas pelos canais de drenagem antecedentes, aproveitando direções de fraqueza dadas pelas estruturas. Estes relevos não foram incluídos na Depressão Periférica devido às maiores amplitudes e à maior energia do relevo em relação às colinas e morros da área sedimentar. Os topos amplos e suavizados destes morros contrastam com suas vertentes mais abruptas e freqüentemente ravinadas.

Na Serra do Itaqueri para nordeste, os limites não são tão bem marcados, estando representados por manchas de relevos residuais suportados por maciços básicos, ou, mais raramente, suportados por rochas sedimentares. Tal distribuição de relevos residuais é concordante, "a grosso modo", com os limites de "sills" de rochas intrusivas básicas que se intercalam nas seqüências sedimentares do Grupo Passa Dois e mesmo nas Formações Pirambóia e Botucatu.

Fig[02]

Perfil do Vale do Rio Paranaíba, Estado de São Paulo



Fig[03]



Visão Geral da Bacia do Paraná

FONTE: Carvalho (1995)

## CAP. 02 – A Bacia Sedimentar de Rio Claro

Identificada pela primeira vez em 1927, por Pierre Denis como uma faixa deprimida e erosiva muito semelhante ao Morvan francês; a Grande Depressão Periférica Paulista foi classificada assim e depois definida por L. F. M. Rego como a faixa entre as escarpas mais avançadas da zona das cuestas que limitam borda oriental dos derrames basálticos e o Planalto Atlântico que é a unidade morfológica mais característica do Estado de São Paulo.

Sua área comprehende um faixa de 450 quilômetros de largura média. Estreitando-se ao norte onde se inicia a base as Serra balsática de Monte Santo e alargando-se na porção central do boqueirão do Tietê. Descreve suavemente assim um arco convexo e externo.

Sua topografia é pouco acidental com desniveis da ordem de 20 a 50 metros sendo excepcionais a altitudes de 100 metros.

Apesar de predominarem sedimentos de origem Paleozóica, ocorrem áreas de superfícies descontínuas. Estas áreas são corpos intrusivos magmáticos. Formados geralmente por sills e diques de diabásico desempenham papel importante na topografia do relevo local.

Devido a estrutura homoclinal e a sua litologia de variadas resistências frente ao processo erosivos, suas camadas mais resistentes destacam-se na topografia. Um bom exemplo é a quantidade de vertentes assimétricas e desniveis variados.

A Grande Depressão Periférica é recoberta por uma densa rede de drenagem. Alguns rios principais mantém o curso em seu antigo traçado na direção N-W. Esta direção obedece ao eixo da Bacia do Rio Paraná em seu aplainamento mais senil (final do Cretáceo e início do Terciário).

Esses rios superimpuseram às estrutura paleozóicas e mesozóicas para romper a Cuesta basáltica em boqueirões. Sendo assim os rios principais como o Tietê, o Parapanema, o Mogi-Guaçu e o Pardo agiram como artérias formadoras de maior capacidade erosiva. Possivelmente sofreram ação de alguma interferência tectônica. Esta interferência teria provocado capturas através de seus afluentes. Essas capturas seriam referência de possíveis “primitivos conseqüentes” que ao se adaptarem as novas condições e estruturas passaram a percorrer as Cuestas com nítido desvio de seu traçado original. No

caso em estudo o Rio Passa Cinco afluente do Corumbataí e consequentemente afluente do Piracicaba

Existe na Depressão Periférica a presença de níveis intermediários entre os topos aplinados das colinas e o assoalho.

Geralmente no plano das várzeas os níveis destes patamares são desdobrados. Estes níveis variam de 2 a 4 metros e refletem não só as alternâncias climáticas como o lento tectonismo que ocorreram entre o Pleistoceno e o Holoceno.

Na Zona do Médio Tietê, localiza-se a área de Rio Claro. Esta é na realidade um pequeno setor da porção centro-ocidental da Grande Depressão Periférica Paulista.

Suas características bastante típicas, são capazes de distingui-las das compartimentações interplanálticas do entorno.

As camadas suavemente inclinadas possuem uma grande espessura de camada friável (arenito Botucatu). Sua espessura é da ordem de 200 a 300 metros.

O ângulo reduzido entre a superfície topográfica e as estruturas permitem o entalhe dos rios consequentes, formando assim boqueirões.

Estes boqueirões se originam pelas escavação dos rios consequentes nas escarpas de Cuestas (Almeida 1964, página 249).

As Cuestas recebem os nomes locais de Serra de Itaqueri, Serra de São Pedro, Serra do Tabuleiro, Serra de Botucatu, Serra do Cuscuzeiro e finalmente a Serra Comprida.

O reverso dessas cuestas acham-se profundamente entalhadas pela drenagem do planalto ocidental paulista. Apresentam festões e lóbulos serrilhados e assim criam topografia de formas irregulares como pilares, mesas e tabuleiros.

A área do Rio Passa Cinco é definida como um compartimento inter-planáltico bem definido na Grande Depressão Periférica. Ela apresenta desniveis de 450 a 850 metros em relação a compartimentação geológicas vizinhas – as escarpas basálticas, que se situam à oeste e a norte recebem o nome local de Serra de São Pedro, Serra de Santana e Morro Grande.

Nos restos dos festões das Cuestas da região de Analândia e Morro Grande ocorre um estreitamento em sua porção sul à altura da confluência do Rio Passa Cinco e do Rio Corumbataí.

Esse Compartimento apresenta relevo levemente ondulado, de colinas tabuliformes com topos aplainados, terraços escalonados (de 2 a 4 níveis) e suas várzeas são relativamente estreitas e descontínuas (devido ao entalhamento). Suas altitudes oscilam entre 500-600m (nível de várzea) e um segundo patamar superior de 600-650 metros (nível das plataformas interfluviais e colinas mais altas).

Embora escavado em terrenos Carboníferos do Permiano e Triássico apresenta uma cobertura dentrítica pouco espessa. Esta cobertura possui características fluviais e de “playa lacustre”. Estes despósitos do ponto de vista de textura, estrutura e litologia ocorrem em níveis topográficos diversos.

Colinas tabuliformes de vertentes suavemente convexas e patamares entre 550 e 650 m constituem o quadro do relevo da área. No nível entre 600-630 metros assentado pelos interflúvios tabuliformes ocorre o capeamento por sedimentos do Rio Passa Cinco.

Rupturas de declive nítidas com desníveis da ordem de 10 a 15 metros e inclinação mais forte, marcam a passagem desse nível, tanto para as colinas mais elevadas como para os patamares inferiores entre 540-550m.

Há de se destacar os vestígios de uma superfície também interplanáltica. Trechos setentrionais do divisor Passa Cinco nivelam-se a 690-720m, em correspondência com patamares capeados do entorno.

Delimitando a região a oeste, noroeste e norte, alinham-se as escarpas arenítico-basálticas as Serra do Itaqueri, Morro da Guarita, Serra do Cuscuzeiro e Morro Grande, como superfície de cimeira, niveladas entre 950-1000m.

Ocorrem ainda de uma forma geral na posição intermediária um aplainamento das feições, entre essa linha de cimeira (os cumes da Cuesta) e a superfície geral interplanáltica mais baixa. Essas elevações correspondem tanto em altimetria(800-950m) como em seus aspectos geomorfológicos. São os morros divisores d'água da bacias do Rio Passa Cinco, da Cabeça e Corumbataí.

Na região de Itirapina e Rio Claro essas feições fazem-se notar através de nítidos degraus estruturais e assim dando a esses compartimentos deprimidos as formas características de teatros.

Dentro desta área, destacam-se ainda os sedimentos arenosos modernos, consolidados, que aparecem acima de 580 indo até 630 metros no interior da bacia.

Ao Sul da área estudada, no vale do Rio Passa Cinco afloram arenitos avermelhados, siltitos e calcáreos, do Supergrupo Tubarão. As camadas mais resistentes têm expressão topográfica que formam os patamares da Bacia Rio Claro.

Nas imediações do Rio Passa Cinco (em seu divisor de águas) existem maciços intrusivos e resistentes pouco destacados da paisagem, mas são importantes registros doplainamento que iniciou as escavações da Grande Depressão Periférica Paulista.

As cascalheiras do Passa Cinco se encontram espalhadas e presentes por toda a região, porém em menor quantidade.

O Rio Passa Cinco ocupa a posição co-axial, algo excêntrico na bacia. Podemos observar que a rede de seus afluentes da margem direita é muito mais densa e longa que os da margem esquerda. Esses afluentes surgem em três posições topo-litológicas diferentes.

A primeira delas é a mais elevada e varia de 850 a 1.050m. Neste caso encontram as suas nascentes acima da escarpa de basalto (superfície de cimeira da Cuesta). Essas nascentes são a própria origem do Rio Passa Cinco e de seus formadores. Estão situadas no seu alto e médio curso e também engrossam toda a rede hidrográfica.

Um segundo tipo de nascente chama a atenção pela formação excêntrica. São saltos de 200m que escavam vales densos e profundos para integrar o médio curso do Rio Passa Cinco. Esse nível freático é o contato do Arenito Botucatu com o basalto intrusivo dos diques e a cobertura arenosa do topo da serra e o basalto com altitudes entre 650 e 700 metros.

Um terceiro tipo de nascente ocorre em níveis mais baixos no alto do diabásico com sedimentos argilosos. Estes sedimentos arenosos pertence a Formação Rio Claro e permeiam o baixo curso do Rio Passa Cinco entre 450 e 600 metros. Geralmente faz parte de toda esta bacia uma rede de drenagem da ordem de importância menor composta de afluentes e sub-afluentes. É sabido no caso a grande quantidade de rios intermitentes na região.

Observa-se no traçado do Rio Passa Cinco, direções nitidamente orientadas e correlacionadas entre si e com linhas do relevo regional, ou seja obedecem não só o próprio Rio Passa Cinco como também os seus afluentes e as linhas de falhas locais. As mesmas falhas NE-SW são observadas na direção NE-SW em segmentos dos afluentes na parte alta

da bacia, como o Ribeirão da Lapa, o Cantagalo e o Cachoeira que após o salto do topo à base da Serra de Itaqueri, sofrem forte desvio para NE em busca do Rio Passa Cinco.

Esses ribeirões suspensos na fronte norte da Serra de Itaqueri apresentam direções S-N e SSe-NNw, que se correlacionam à inclinação da superfície nesta vertente da serra e com a direção dos altos cursos do Ribeirão Itaqueri e Ribeirão do Lobo.

Esse fato, mais a situação de vales suspensos e o desvio brusco para NE na base da Serra de Itaqueri e do sul da Serra de S. Pedro nos dá uma boa amostra de como o falhamento influencia diretamente os cursos dos rios da bacia do Rio Passa Cinco.

Tratando-se de complementar as linhas de falhamento nas direções W-E e passando a WEw-ENE, esta última bem clara no baixo curso do Ribeirão Cantagalo, no córrego João Pinto e Ribeirão do Sinos, todos afluentes do Rio Passa Cinco. Essas direções são de grande importância nas últimas fases da evolução geomorfologia da região.

Quanto aos padrões de drenagem a simples enumeração dessas direções preferenciais mostram que predominam os paralelos especialmente nos trechos mais longos dos afluentes. O Rio Passa Cinco obedece direções prováveis da rede de diaclasamento e fraturas do arenito Botucatu.

A posição atual da maior parte do curso do Rio Passa Cinco é correlativa a direção do Jacaré-Açu e a mesma do corredor deprimido a 700 metros. Este corredor em questão está entre a Serra de Itaqueri e a Serra de Santana. Talvez esta seja a mesma direção tectônica que seria orientado o curso pretérito do Piracicaba e orienta hoje o atual curso do Rio Passa Cinco por reativamentos das falhas. Estes reativamentos seriam concomitantes e posteriores ao escavamento da Bacia de Rio Claro.

Esse fato vem comprovar que as antigas direções tectônicas vem se mantendo através dos tempos geológicos.

Rui Osório de Freitas (1955 pag. 179) referindo-se à tectônica da Bacia do Paraná, diz: "as direções tectônicas concordam com as do Escudo Brasileiro observando-se dois sistemas: ENe-WSw e NNw-SSe.

Amaral & Sousa que em 1930, empreenderam prospecção magnética na região entre São Paulo, Piracicaba e Rio Claro notaram linhas de fraqueza no terreno de direções predominantes SE – NW. Verificou-se que a direção SE- NW seguida pela maioria dos afluentes na margem direita do Corumbataí e pelo maior segmento do Rio Passa Cinco foi

considerada pelos autores como linhas de fraqueza do terreno. Isto ocorreu devido a grande emissão do magma diabásio.

Da tectônica tratou também Bjornberg (1965 pag. 69) referindo-se a gênese dos depósitos modernos da região de Rio Claro: "a tectônica parece ser um dos fatores mais importantes do processo sedimentológico local. As perturbações estruturais provocaram e provocam irregularidades na superfície crustal, pondo em ação processos erosivos".

Cada deslocamento do nível de base por elevação, permite um rejuvenescimento do relevo, acompanhado de retomada de erosão. Nas áreas onde o soerguimento for maior, haverá quebras e abatimento por falhas normais.

A compressão horizontal seria a responsável pela segmentação da crosta em polígonos (facetamento poligonal); os quais por redistribuição de esforços compressivos de NW diferentes dos demais de dominância ENE-WSW e SW. Provavelmente aqueles esforços originaram-se de tensões secundárias ou localmente se apresentam como principais.

O soerguimento neste caso quebra o entalhe e a tectônica quebrada organiza a rede de drenagem, portanto, o traçado dos canais é fortemente acentuado.

A epigênese do Rio Passa Cinco e a deposição dos sedimentos na Bacia de Rio Claro são decorrências da atividade tectônica pós-Terciários. Contudo poucos são os trabalhos que dão informações sobre a natureza e a idade deste tectonismo.

Wernick & Ebert (1967) manifestam suas opiniões a respeito da idade dos falhamentos da Serra de Santana. Assim podem ser expressados:

"As rochas da Serra de Santana mostram características mistas entre os Grupos, isto é, exibem tanto características de rochas intrusivas quanto efusivas". Estes autores concluem que estas rochas iniciaram a sua cristalização em condições hipabissais (portanto na separação de Gondvana) semelhantes às dos sills dos sedimentos pré-Botucatu.

A fase final da consolidação porém ocorreu em condições de alívio de pressão. Tal hipótese sugere a presença de intensa atividade tectônica já por ocasião das manifestações de magmatismo básico pré-Bacia do Paraná.

Podemos identificar um contato de falhas entre o diabásico e o arenito a 780 metros na subida da Serra de Santana pela Rodovia Whashington Luiz. A extrema irregularidade

do contato, cheio de sinuosidades, é um dos elementos que permite caracterizar o corpo magmático como intrusão, que encontrou o arenito Botucatu já litificado no local.

Ao observador que se atentar para os morros testemunhos isolados à frente das escarpas basálticas (800-850m), não passará a ele despercebido que a inclinação superficial dos mesmos é bem maior do que a inclinação geral da superfície do reverso do Planalto Ocidental.

Esses morros apresentam um capeamento de sedimentos modernos. São evidências de que houve falhamento e adernamento do conjunto, pós-deposição daqueles depósitos.

Podemos situar a época desses falhamentos entre o fim do Terciário e início do Quaternário, isto é, após a esculturação da superfície acompanhada da deposição dentríticas.

O fato, embora comum ao longo da margem direita dos ribeirões é bem evidente no Ribeirão Cantagalo. Não se trata de simples entalhe de margens em meandros, porém no seccionamento de pedimentos rochosos, obsequentes da Serra de Itaqueri.

Em outro ponto, onde não ocorre o seccionamento pelos rios, essa superfície é contínua e tem inclinação em direção ao Rio Passa Cinco.

Podemos levar em conta que houve um reativamento do falhamento pós última fase regional da pedimentação. Na época dessa pedimentação alocada por evidências e por cronologia relativa, no Pleistoceno médio, a drenagem que descia da serra (direção W-E e SW-NE) aleatoriamente intermitente, com canais anastomados esculpiu por escavação lateral e planação dos pedimentos rochosos. Aos esculpir estes sedimentos depositou ao longo de milhares de anos, na porção plana adjacente, detritos grosseiros e, mais distante, arenosos finos (característica de clima seco desértico).

Em fase úmida posterior, sobrepujando o entalhe vertical sobre a erosão areolar e sob ação epirogênica positiva, a drenagem sofreu organização e novamente, seguindo antigas linhas tectônicas, superimpôs a partir da cobertura dentrítica, aos baixos interflúvios obsequentes e, assumido assim novamente as primitivas direções NNe-SSw e WS-ENE.

O desnível observado de 10 a 15 metros entre o topo dos sedimentos situados na margem esquerda e a superfície do interflúvio da direita, podem, assim, ser explicado.

Admitiu-se a hipótese de reativamento de antiga falha, em conjunto com o penúltimo reentalhe erosivo em proporções também regionais. Se tal hipótese for

confirmada por métodos geofísicos poderíamos atribuir a causa do basculamento a um desequilíbrio isostático provocado pelas escavações e aplainamentos anteriores. O motivo seria a retirada do material e a redução do peso da massa sedimentar em relação à cobertura basáltica do planalto.

O afundamento das zonas basálticas mais espessa do planalto, seria acompanhado por levantamento de suas bordas e festões adjacentes.

É dado que as antigas direções tectônicas do Brasil estão representadas na região numa linha principal de falhamentos, pertencente a três sistemas importantes dirigidos para ENE-WSw, NNe-SS e N-SE. Ainda existem dois sistemas secundários nas direções SW-NE e SSe, podemos concluir então de que se trata de um reativamento das antigas linhas tectônicas, desde épocas pré-basálticas.

## **2.1) – As Estruturas Tectônicas**

### **2.1.1) - O Magmatismo e o Campo de Esforços do Cretáceo Inferior**

Na Serra de Botucatu, SOARES (1975) verificou a presença de 65m de areias eólicas da Formação Botucatu depositadas após o início do vulcanismo. Embora tenha incluído também nesta unidade uma seção de pouco mais de 50m de arenitos eólicos sotopostos (duna barcana) à lava e diretamente sobrepostos à formação Pirambóia.

Os derrames inferiores, localizados na interface Formações Pirambóia e Botucatu devem ser resultantes das manifestações iniciais desse vulcanismo catastrófico ocorrido há cerca de 137 Ma.

São portanto, estes depósitos provenientes de oeste-noroeste bem como aqueles localizados acima do Botucatu. Estariam associados então às manifestações de 132 Ma.

Através de medições posteriores realizadas a este estudo datou-se aproximadamente de 5 Ma o desenvolvimento do paleodeserto Botucatu, ou seja quase que inteiramente limitado ao Cretáceo Inferior.

Falta, entretanto indicações e provas mais concretas para o intervalo de tempo decorrido entre as atividades sísmicas aqui relatadas do Permo-Triássico e o início do vulcanismo propriamente dito, do Jurássico Superior.

O conglomerado existente na interface entre as formações Botucatu e Pirambóia, quando as camadas vulcânicas estão ausentes, poderia ser interpretado como superfície de separação ou provável discordância equivalente a este período.

Existem evidências sedimentares nas bacias marginais do sul do Brasil de que o tectonismo extensional tenha se iniciado há 140 Ma; portanto precedendo em cerca de 10 Ma a ruptura e a cobertura oceânica (CHANG et al. 1992, TURNER et al. 1994).

O enxame de diques paralelos à costa da porção leste do Estado de São Paulo possui indivíduos com extensão de alguns quilômetros de espessura máxima da ordem de 100-150 metros.

Suas idades variam entre 133 e 129 Ma e encontram-se orientados segundo a direção principal N40-50E (DAMASCENO 196, BASEI & VLACH 1981).

### **2.1.2) - O Cenário posterior ao Magmatismo Serra Geral**

O alinhamento estrutural do Rio Tietê (COIMBRA et al. 1977), é consequência dos sítio e dos altos estruturais de Pitanga, Artemis, Pau d'Alho e Jibóia dentre outros; sendo estes aparentemente de menor expressão.

Podemos delinear também o de Ribeirão Preto-Campinas. A borda leste da Bacia do Paraná do Estado de São Paulo é pontilhada por altos estruturais, verdadeiras janelas onde estão expostos sedimentos mais antigos.

Estas estruturas foram relacionadas a dobramentos (WASHBURNE, 1930; ALMEIDA & BARBOSA, 1953; BARBOSA, 1953 & BARBOSA E GOMES; 1958), e a falhamentos (OPPENHEIM & MALAMPHY 1936, FULFARO et al 1982, SOUZA FILHO 1983), ou a ambos (ANDRADE & SOARES 1971).

Os altos estruturais mostram correlação entre os alinhamentos regionais. Ao longo desses alinhamentos são registradas movimentações normais, como no caso da Depressão

de Ribeirão Preto (SINELLI 1971; SOARES 1974), delimitada pelo alinhamento Ribeirão Preto-Campinas, e de suas componentes transcorrentes.

Levantamentos efetuados na Estrutura de Pitanga, situada ao longo de Rio Mogi-Guaçu, permitiram caracterização de importantes falhamentos situados tanto no interior da feição como naqueles que configuram a sua borda oeste (RICOMINI et al. 1991b, RICCOMINI & VASSILIOU 1983).

### **2.1.3) - A Estrutura de Pitanga**

Na estrutura de Pitanga, os falhamentos transcorrentes considerados posteriores ao magmatismo Serra Geral seccionaram pelo menos em uma vez os diques de diabásico.

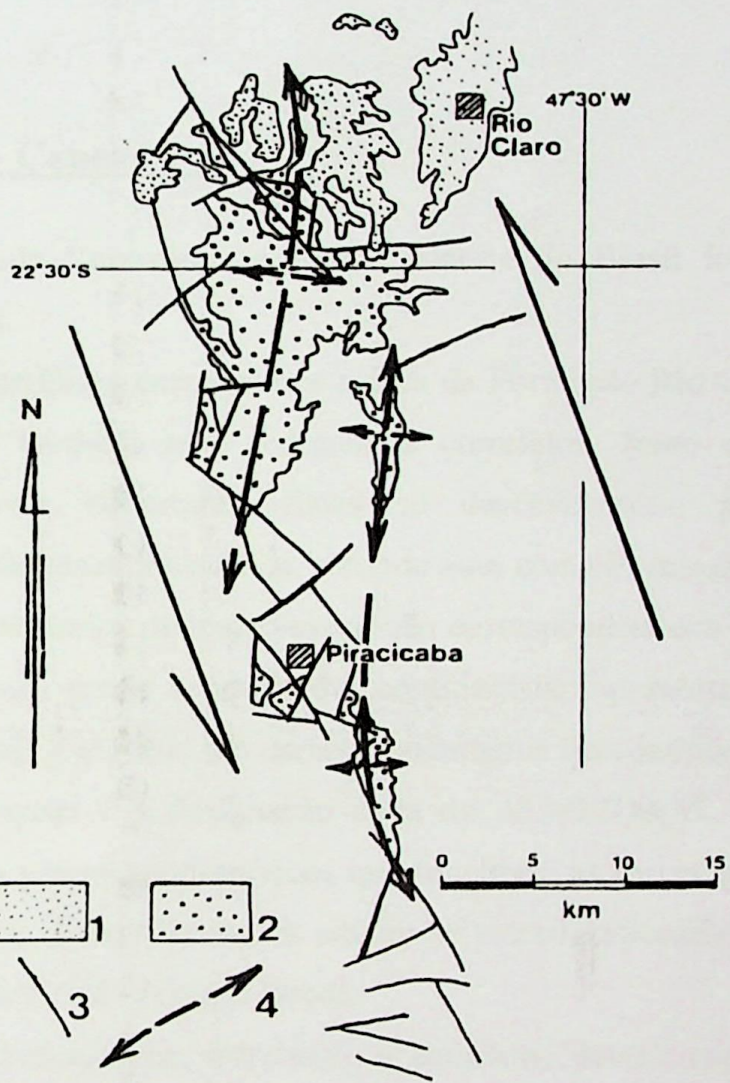
Ocorrem também nesta mesma estrutura diques alojados ao longo de falhas reversas (e.g. BRANDT NETO et al. 1981, p.80) e falhas normais que seccionam as unidades permianas.

No Vale do Rio Passa Cinco, em cortes da Rodovia SP-191, nos arredores de Ipeúna, foi feito um estudo onde na direção NE-SW permitiu-se uma observação de inúmeras feições relacionadas à transcorrência regional.

No local podemos observar:

- (A) Existem siltitos da Formação Corumbataí e ocorrem fraturas com o crescimento do mineral acircular (provavelmente sílica substituindo calcita).
- (B) Nos arenitos finos e siltitos da Formação Tatuí tem-se a presença de falhas sinistrais de direção N-NW. Localmente configuram uma estrutura em flor (HARDING et al., 1985). Tais estrutura foram posteriormente reativadas e com sua reestruturação foram colocadas lado a lado as Formações Tatuí e Assistência.
- (C) Também em siltitos da Formação Tatuí ocorre falhamento sinistral nas direções N-NW. Estes os quais podemos associar dobras com eixo

Fig 071



Esboço estrutural do Anticlinal de Pitanga. 1. sedimentos cenozóicos da Formação Rio Claro e correlatos; 2. sedimentos pré-Subgrupo Iratí; 3. falhas principais; 4. eixos de anticlinais.

Fonte: Ricomini (1995)

orientado N-NW e N-S. A unidade permiana aqui encontrada é recoberta por lamitos arenosos com seixos, pertencentes a Formação Rio Claro. Interessante notar é que não se encontram perturbados.

A extensão da estrutura indica, portanto extensão segundo NNe-SW e compressão segundo WNw-ESe.

#### **2.1.4) – Tectonismo Cenozóico**

Durante o Período Cenozóico, a região sudeste do Brasil foi palco de intensa movimentação tectônica.

Na Depressão Periférica encontramos a área da Formação Rio Claro. Nesta mesma província encontramos também seus sedimentos correlatos. Junto a estes sedimentos existem suas respectivas coberturas. Estas se desenvolveram principalmente nas proximidades da borda da escarpa basáltica, referida aqui como Formação Itaqueri.

Os registros quaternários de maior expressão correspondem aos depósitos marinhos da zona costeira; enquanto que as acumulações continentais, representadas por sedimentos coluviais, colúvio-aluviais e aluviais são caracteristicamente descontínuos.

A Formação Itaqueri é a designação dada de ALMEIDA & BARBOSA (et al., 1953) para os depósitos areno-congloméricos que recobrem as serras de Itaqueri, Santana, São Carlos e Cuscuzeiro. Estas formações situam-se estratigraficamente sob a Formação Marília e em conjunto constituem o Grupo Bauru.

Alguns autores propuseram, entretanto, o abandono deste termo. Isto se deve por considerarem os depósitos desta formação descontínuos e de pequena relevância geográfica (FREITAS 1955, 1964; MEZZALIRA 1974).

Outros pesquisadores expandiram sua área de ocorrência para a direção das cidades de Franca e Pedregulho, ganhando assim importância.

A formação da geologia local, é representada por rochas sedimentares e vulcânicas. São formadas a partir do Paleozóico (570 Milhões de anos), e apresentam características de um ambiente pouco perturbado por fenômenos tectônicos.

Encontramos as Formações Pirambóia, Botucatu, Serra Geral e Marília, além de sedimentos mais recentes originados no Cenozóico (a partir de aproximadamente 65 Ma), formados pelo retrabalhamento das formações depositadas anteriormente.

Embora RICCOMINI (et al., 1991) considere o Permiano Superior como uma época de grande perturbação tectônica ele aponta os reflexos do primeiro soerguimento através do Arco de Ponta Grossa ocorrido provavelmente nos primórdios do Triássico Superior. Atribui-se ainda que este soerguimento tenha se estendido até o Jurássico Superior.

Vem sendo crescente o número de referências sobre a existência de tectonismo sedimentar de idade permo-Triássica na Bacia do Paraná (v.g. BISCHOFF 1957, FULFARO 1970, SOARES 1991).

Tal tectonismo é considerado como o mais provável indício precursor desta fragmentação.

Na região do Domo de Pitanga, nos arredores da cidade de Ipeúna, SP, as pedreiras onde são lavrados os calcários da Formação Assistência - Subgrupo Irati (HACHIRO et al. 1993 a) permite a interessante observação de nítida descontinuidade entre esta unidade e os chamados siltitos da Formação Corumbataí que se encontra sobreposta.

Segundo HACHIRO & COIMBRA (1993), o caráter rítmico dos calcários e folhelhos das sequências da Formação Assistência estariam diretamente relacionado a sedimentação em ciclos. Esta sedimentação teria ocorrido com intensidade astronômica.

Dessa maneira, a erosão pré-Corumbataí teria removido um registro mínimo de 210 milhões de toneladas de rochas e sedimentos do topo da Formação Assistência.

O arranjo espacial desta discordância nos deixa evidente que a erosão foi ocasionada pelo basculamento (soerguimento acompanhado de rotação do eixo horizontal) do pacote Assistência no rumo W-NW.

Sendo assim a Formação Assistência seria compatível portanto com um soerguimento da atual porção leste-sudeste do Estado de São Paulo.

Fig 04

Unidade estratigráfica	GRUPO CAIUÁ			GRUPO BAURU			
	Fm. Rio Paraná	Fm. Goio Erê	Fm. Santo Anastácio	Fm. Adamantina	Fm. Uberaba	Fm. Marília	Analcímitos Talúva
Constituição litológica	arenitos finos a muito finos, quartzosos; cimento $\text{CaCO}_3$ , na base	arenitos finos a muito finos, quartzosos; cimento e concreções $\text{CaCO}_3$ ,	arenitos finos a muito finos, quartzosos; cimento, concreções e crostas $\text{CaCO}_3$ ,	arenitos finos a muito finos, quartzosos; cimento $\text{CaCO}_3$ ,	arenitos, siltos, argilitos, rochas conglomeráticas; epiclásticos, com cimento $\text{CaCO}_3$ ,	arenitos finos imaturos com cimento e concreções $\text{CaCO}_3$ ; localmente: calcários arenosos e conglomerados	rocha arenítica de cor parda a avermelhada, com amigdulas de calcita
Estruturas sedimentares	estratificação cruzada de médio a grande porte	estratificação cruzada de médio a grande porte; estratos tabulares maciços	aspecto comum maciço; estratificação de baixa inclinação	estratos tabulares maciços e laminados ou com estratificação cruzada; corte e preenchimento com intracastos de argila	estratos maciços, conglomeráticos e com estratificação cruzada	estratos maciços, às vezes com estratificação cruzada de médio a pequeno porte	—
Espessura máxima	277 metros	50 metros	100 metros	200 metros	140 metros	180 metros	15 metros
Fósseis	raros icnofósseis	raros icnofósseis	raros fragmentos de ossos de vertebrados; nizolitos	répteis, anfíbios, peixes, moluscos, crustáceos, algas	fragmentos de ossos indeterminados	répteis, peixes, ostracodes, algas, bivalves, moluscos, anuros	—
Associações faciológicas	dunas e dunes	dunas e interdunas úmidas	lençóis de areia, sabkhas	barras de canal, planícies de inundação, lagoas alcalinas efêmeras	barras de canal, planícies de inundação	depósitos em lençol, barra de canal	—
Ambiente deposicional	édico (centro de sand sea)	édico (perifera de sand sea)	édico (extradunas)	fluvial entrelaçado (braided) com lagoas; édico	leques aluviais, fluvial entrelaçado (braided) com lagoas; contribuição vulcânica	leques aluviais	vulcanismo alcalino extrusivo

Fonte: Ricomini (1995)

## **2.2) – A Litologia**

### **2.2.1) – Formação Botucatu**

A Formação Botucatu, teve sua formação provavelmente entre os Períodos Triássico e Jurássico (220-185 Ma). Constituída por arenitos róseos, avermelhados e esbranquiçados, de origem tipicamente eólica. Os afloramentos observados desta Formação (como na subida da Serra de S. Pedro) são estratificados. A deposição realizou-se de forma inclinada o que fica evidente a ação dos ventos em antigas dunas, típicas de climas desérticos.

Os arenitos da Formação Botucatu e as rochas basálticas da Formação Serra Geral são o embasamento mais resistentes à erosão. Eles constituem assim as formas de relevo de "cuestas" (relevos tabulares limitados por escarpas abruptas). Além das cuestas, vamos observar na frente das mesmas pequenos morros isolados, chamados testemunhos. Os morros testemunhos são formados pelos arenitos da Formação Botucatu (Cuscuzeiro, Morro do Camelo, Morro Pelado e Morro da Guarita).

A Formação Botucatu é constituída por arenitos avermelhados (por vezes róseos a esbranquiçados) de granulação fina a média, com grãos bem arredondados, em geral foscos e apresentando alta esfericidade. No local podem ocorrer, lentes de arenitos com granulação indo de média a grossa; passando a arenitos conglomerados de seixos quartzíticos e graníticos. Sedimentos lacustres em camadas de alguns metros, constituídos de argilito e siltito argiloso estratificados em geral plano-paralelo, podem existir em meio aos arenitos eólicos. A espessura total das exposições, no Estado de São Paulo, pode chegar a 100 m. Entretanto, em sondagens, esses valores provavelmente excedam a 200 m. O ambiente eólico predominou na Formação Botucatu. Perdurou-se assim um grande deserto de aridez crescente até o início do vulcanismo basáltico, onde pequenas lagoas periodicamente acumularam os sedimentos clásticos. O contato superior com a Formação Serra Geral se dá por interdigitação, com a alternância de derrames basálticos e lentes de arenitos eólicos.

## **2.2.2) – Formação Corumbataí**

Ocorre na porção centro-leste, nas cercanias de Tambaú, de onde estende-se para norte, em faixa contínua porém irregular, até a região Cássia dos Coqueiros e depois, adentrando o Estado de Minas Gerais tem uma faixa de ocorrência inferior a 1 km de largura. Exibe ao longo de sua Formação relações estratigráficas concordantes com a Formação Irati, sotoposta (não aflorante na área). É possível, contudo que repouse sobre unidades mais antigas. O contato superior com a Formação Pirambóia é discordante.

Pressupõe-se, com base nos dados levantados na base da seção, a presença da Formação Serra Alta. Tal unidade é representada por argilitos, folhelhos e siltitos cinzas escuros e pretos, com fraturas e concreções calcíferas; exibe também um rítmica seqüênciam de argilitos e folhelhos cinza escuros. Ocasionalmente ocorrem leitos de calcário silicificado.

Tal seqüênciam basal refletiria o sistema plataformal epirogenético da Formação Serra Alta. Neste contexto, apenas a porção superior, constituída por arenitos finos argilosos e siltitos carbonáticos esverdeados refletiria o sistema de planície de maré do pré Corumbataí.

Nas vizinhanças dos logradouros de Santa Luzia e Recreio, município de Charqueada - SP, siltitos e argilitos são a prova de ambiente de planície de maré de muito tempo atrás.

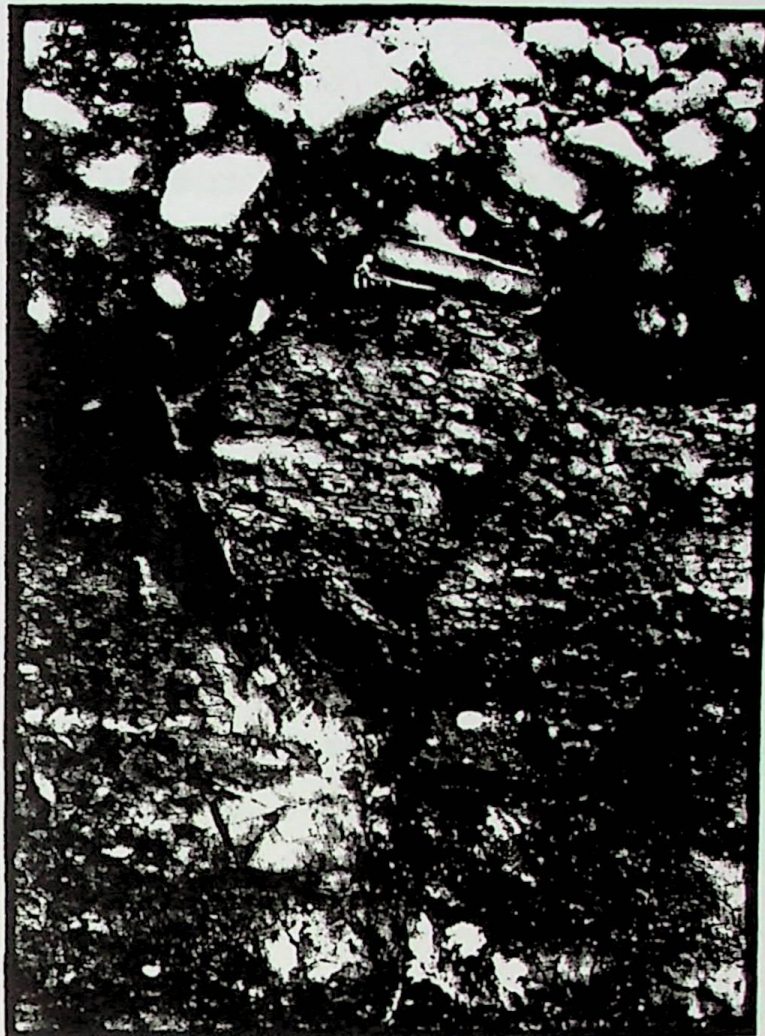
Pertencem a porção média e a superior da Formação Corumbataí e recebem datação do, Permiano Superior, RICCOMINI (et al., 1992).

Na mesma região são observados muitos diques clásticos de areia fina com espessuras variando entre 15 e 40cm. A estes diques somam-se ramificações de alguns diques rumo ao topo.

Dobras de arrasto estão presentes nos sedimentos encaixantes e demonstram um mecanismo de injeção forçada na direção de baixo para cima. Ocorrem ainda massas irregulares de areia, com até 70cm de diâmetro, interpretadas pelo autor e como vents (aberturas ou fumarolas) de vulcões de areia.

As características da orientação preferencial dos poucos mais de 70 diques, distribuídos em diferentes níveis do afloramento, permitiu constatar que eles constituem

Prancha 82/

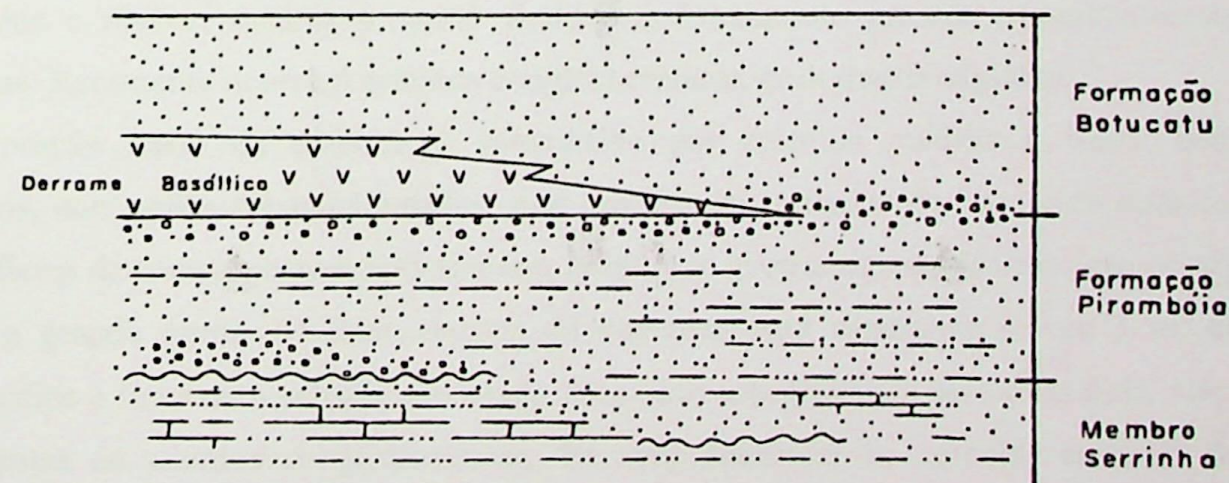


Fonte: Ricomini (1995)

Falhas inúmeras truncando siltitas da Formação Tatuí e conglomerados de baixos terrapços do Rio Passa Cíncio (222,4 Km E 7.516,9 Km N)

Prancha 83/

Fonte: Ricomini (1995)



Relações de contato entre as formações Pirambóia, Serra Geral e Botucatu na região de Pirajú - Fartura, SP (segundo CPRM 1980).

duas famílias ortogonais entre si. Havia um franco predomínio de uma delas na direção NE-SW. Esse padrão foi também verificado em outras localidades da região.

Tal distribuição indica uma direção de extensão segundo NW-SE, coincidente com os primeiros esforços da ruptura do Gondvana. Este tectonismo regional estaria provavelmente relacionado à reativação de estruturas antigas do substrato mais profundo da bacia.

Notamos ainda a estreita associação entre níveis de sismitos e de coquina. No arredores da cidade de Rio Claro, SP, SIMÕES (et al., 1994) interpreta como camadas de conchas da Formação Corumbataí (portanto da região do Passa Cinco).

A relação verificada no afloramento demonstra a provável origem sísmica para as tempestades formadoras destes depósitos (desertos).

### **2.2.3) – Formação Pirambóia**

Ocorrem na porção central da área onde foram descobertos pela erosão da capa representada por arenitos da Formação Botucatu e basaltos da Formação Serra Geral.

Apresenta esta Formação exposição bastante irregular e descontínua, recobertas por soleiras de diabásio (além das formações já citadas) e depósitos cenozóicos.

Na região ocorrem representações de arenitos esbranquiçados, amarelados, avermelhados e róseos, médios a muito finos, ocasionalmente grossos e regularmente classificados. Raramente ocorrem arenitos conglomeráticos, com matriz argilosa.

A porção basal da unidade é constituída por arenitos médios e finos, bem selecionados, com grãos subarredondados, que constituem camadas de espessura métrica, com superfícies de truncamento que delimitam corpos de geometria cuneiforme (em corte), de médio a grande porte. Há intercalações de camadas com espessura de até 3 m, de arenitos médios e finos com seleção moderada, mas com estratificação plano-paralela, além de raras lentes de arenitos conglomeráticos. Há uma sucessão de camadas arenosas de coloração avermelhada a esbranquiçada, que podem atingir 270 m de espessura em superfície (SCHNEIDER et al. 1974), e até 350 m de profundidade. Estas camadas apresentam espessuras das Formações Pirambóia e Botucatu constatadas em poços

perfurados na área. Estes arenitos têm sua origem em ambiente predominantemente eólico associados a acumulação de lamas (por suspensão), em lagoas temporárias, nas regiões mais baixas entre as dunas.

O contato inferior com a Formação Corumbataí, tido como discordante por diversos autores é também admitido como de passagem transacional. MATOS (1995), estudando a passagem entre o topo do Grupo Passa Dois e a Formação Pirambóia no Estado de São Paulo, caracteriza a Camada no topo do Grupo Passa Dois: "mantém contato abrupto com a base da Formação Pirambóia, o qual marca uma passagem da deposição por marés para a regida por ventos", quando "o corpo aquoso recuou permitindo o avanço da deposição eólica", mas "sem provocar erosão e sem permitir exposição prolongada". Para MATOS & COIMBRA (1997) o contato entre as camadas da Formação Pirambóia e o topo das unidades do Grupo Passa Dois é uma descontinuidade abrupta e plana, sem evidência de erosão ou exposição prolongada.

Ainda na região entre Charqueada e Rio Claro CHAMANI (et al., 1992) observa exposições de arenitos (paleodunas eólicas) da porção inferior da Formação Pirambóia, distante 8 Km entre si.

A Formação Pirambóia, originou-se a partir do início do Triássico (245 Ma), e é formada por arenitos fluviais. Elas exibem estratificações plano-paralelas. Esta Formação aflora principalmente em cotas mais baixas da região e principalmente ao longo dos rios.

Elas mostram que pelo menos dois níveis, o inferior com espessura decimétrica e o superior com espessura métrica, possuem uma estratificação/laminação contorcida e forte desenho irregular de dobramento. Esses desenhos apresentam laminações centimétrica e decimétrica e camadas freqüentemente rompidas. Prova de que a geoforça foi muito intensa. Outras feições que foram observadas são:

- a) Falhas com arranjos em dominó na camada superior deformada.
- b) Falhas transcorrentes descontínuas com estruturas em flor.
- c) Injeções de areia, presumivelmente tubulares com estruturas em colapso.

Segundo Ricomini (et al., 1992), as camadas deformadas da Formação Pirambóia sugerem e apontam para a sua origem efeitos de liquefação de areias eólicas encharcadas.

Com a expulsão ascendente de água em alta temperatura e pressão, acompanhada de possível injeção de areia nas camadas sobrepostas; ocorreu o colapso destas por perda de sustentação.

As falhas em dominó de pequenas dimensões geradas por cisalhamento rotacional (torção e quebra), representariam estruturas ligadas a um possível colapso de dunas, decorrente da liquefação (HOROWITZ 1982).

#### **2.2.4) – Formação Serra Geral**

No Cretáceo Inferior (de 145 Ma até 90 Ma), origina-se a Formação Serra Geral a partir de um intenso vulcanismo proveniente de fraturas profundas. Tal movimento teria se iniciado ainda quando predominavam as condições desérticas da citada Formação Botucatu.

Estes derrames também estão relacionados diretamente à abertura do Oceano Atlântico e à separação do continente sul-americano da África. Após o intenso vulcanismo, ocorreu a deposição dos arenitos de origem fluvial da Formação Marília do Cretáceo (136 Ma até 65 Ma). Podemos encontrar estes arenitos que afloram hoje no topo das serras mais elevadas.

Esta formação é representada por rochas dos derrames de lavas basálticas e diabásios intrusivos tanto na forma de soleiras (sills) como de diques na Bacia do Paraná. Os basaltos ocupam praticamente toda a parte oeste da área. Encontrados desde os divisores de água da margem direita do Ribeirão Tamanduá e esquerda do Ribeirão da Prata ou do Adão, ambos afluentes do Rio Pardo, pela margem esquerda e direita (respectivamente), a leste de Ribeirão Preto. As soleiras de diabásio apresentam área de ocorrência também nas Formações Corumbataí e Pirambóia, ou seja, na porção central, onde aparecem em manchas irregulares desde a região de Tambaú e Casa Branca, ao sul, até um pouco mais ao norte de Cássia dos Coqueiros e nas proximidades de Altinópolis, ao norte.

Os basaltos apresentam espessura bastante variável, vão desde poucos metros a mais de 50 m e sua extensão individual pode ultrapassar até dez quilômetros. A eles intercalam-se

Fig 105  
O Acvito Botucatu é um acidente aquífero e encontra-se entre duas camadas impermeáveis (Esquema Simplificado)

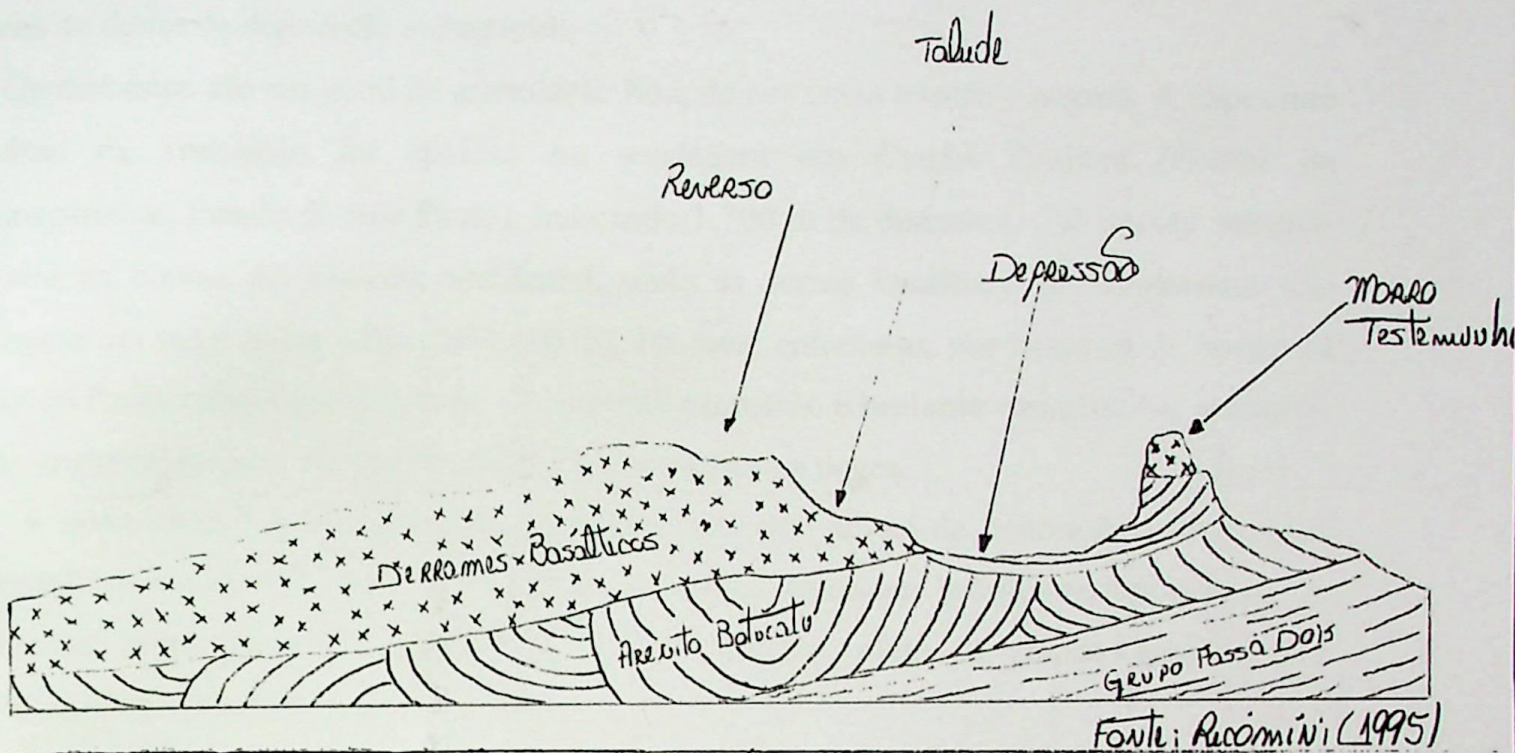
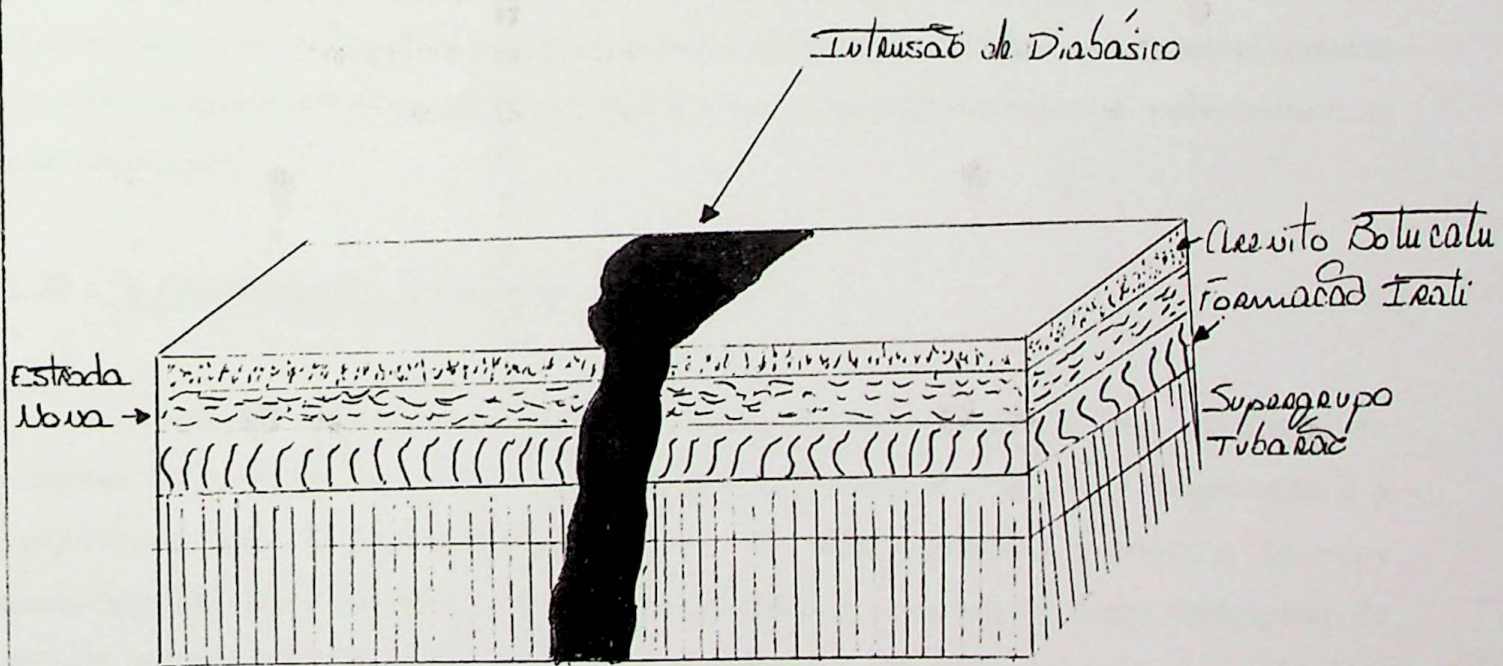


Fig 106  
Disposição Simplificada das camadas em estudo



Fonte: Chistolobetti (1980) - interpretado

arenitos com as mesmas características da Formação Botucatu. A maioria das estruturas são típicas de dunas de deposição subaquosa.

Os diabásios são em geral de granulação fina, de cor cinza escuro e negros. A espessura máxima da Formação foi medida em sondagem em Cuiabá Paulista (Pontal do Paranapanema, Estado de São Paulo), indicando 1.700 m de derrames. Tal pacote estreita-se para as bordas do Planalto Ocidental, onde as serras basálticas possivelmente não alcançam um terço desse valor (IPT 1981b). Na área, entretanto, por tratar-se de borda da Bacia do Paraná suas espessuras são de pequena expressão e bastante variadas. Os derrames aí são constituídos por rochas de coloração cinza escura a negra.

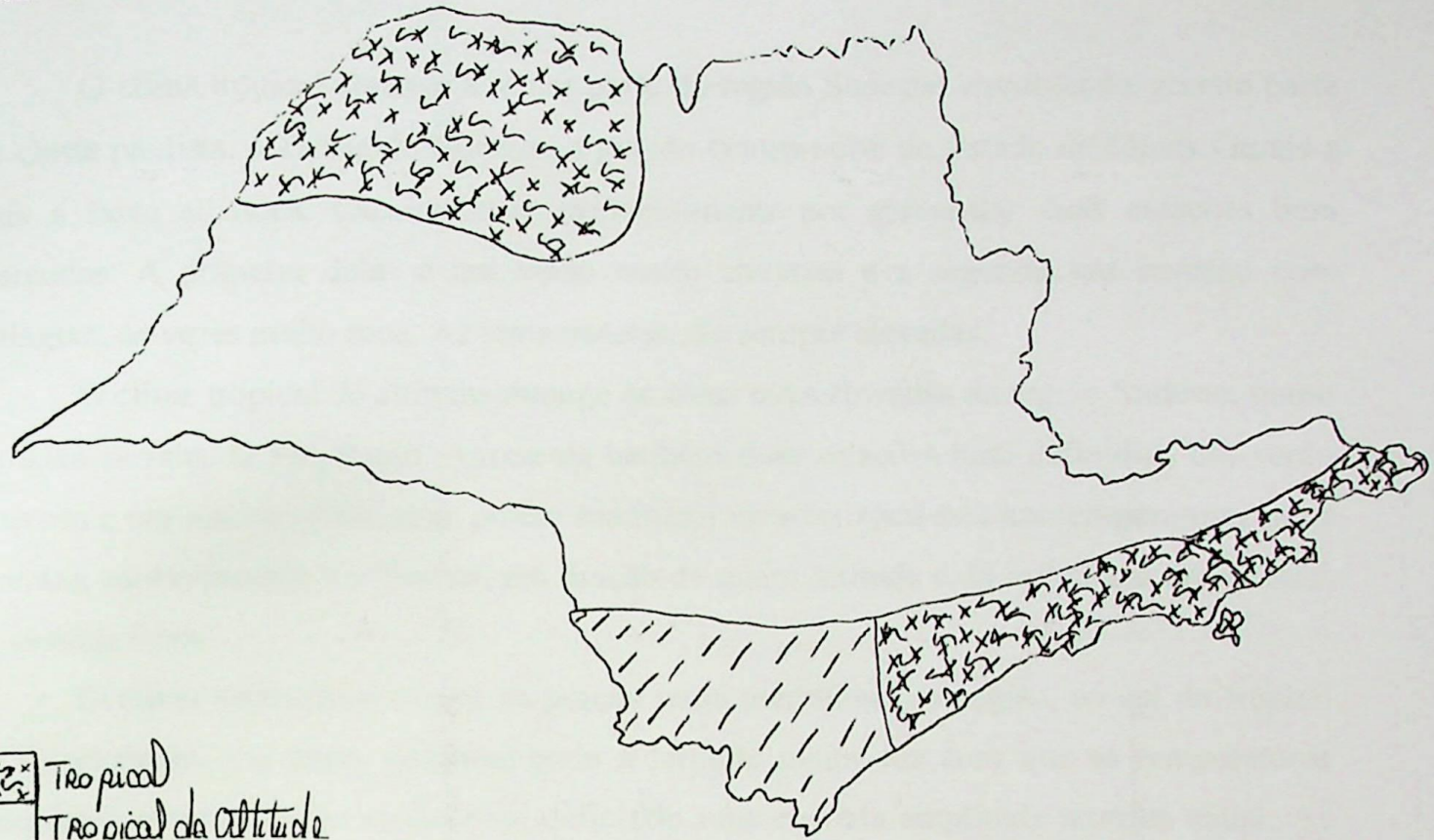
A zona central é maciça e apresenta fraturada por juntas de contração subverticais (disjunção colunar). Na parte superior dos derrames aparecem bolsões (estes parcial ou totalmente preenchidas por calcedônia, quartzo, calcita), além de grandes geodos que podem ocorrer na sua parte mais profunda.

A porção basal dos derrames apresentam características semelhantes porém em espessura e abundância sensivelmente mais reduzidas. Tanto a base como o topo dos grandes derrames possuem juntas horizontais, o que possivelmente é resultado do escoamento laminar da lava em seu interior. O contato superior da Formação com as unidades mais recentes é discordante, marcado por uma importante superfície erosiva (Superfície Japi de ALMEIDA 1964, apud RICCOMINI 1995), cujo desenvolvimento resultou na destruição dos aparelhos vulcânicos e a exposição de diques e outras estruturas subvulcânicas.

### **2.3) - A Dominância Climática**

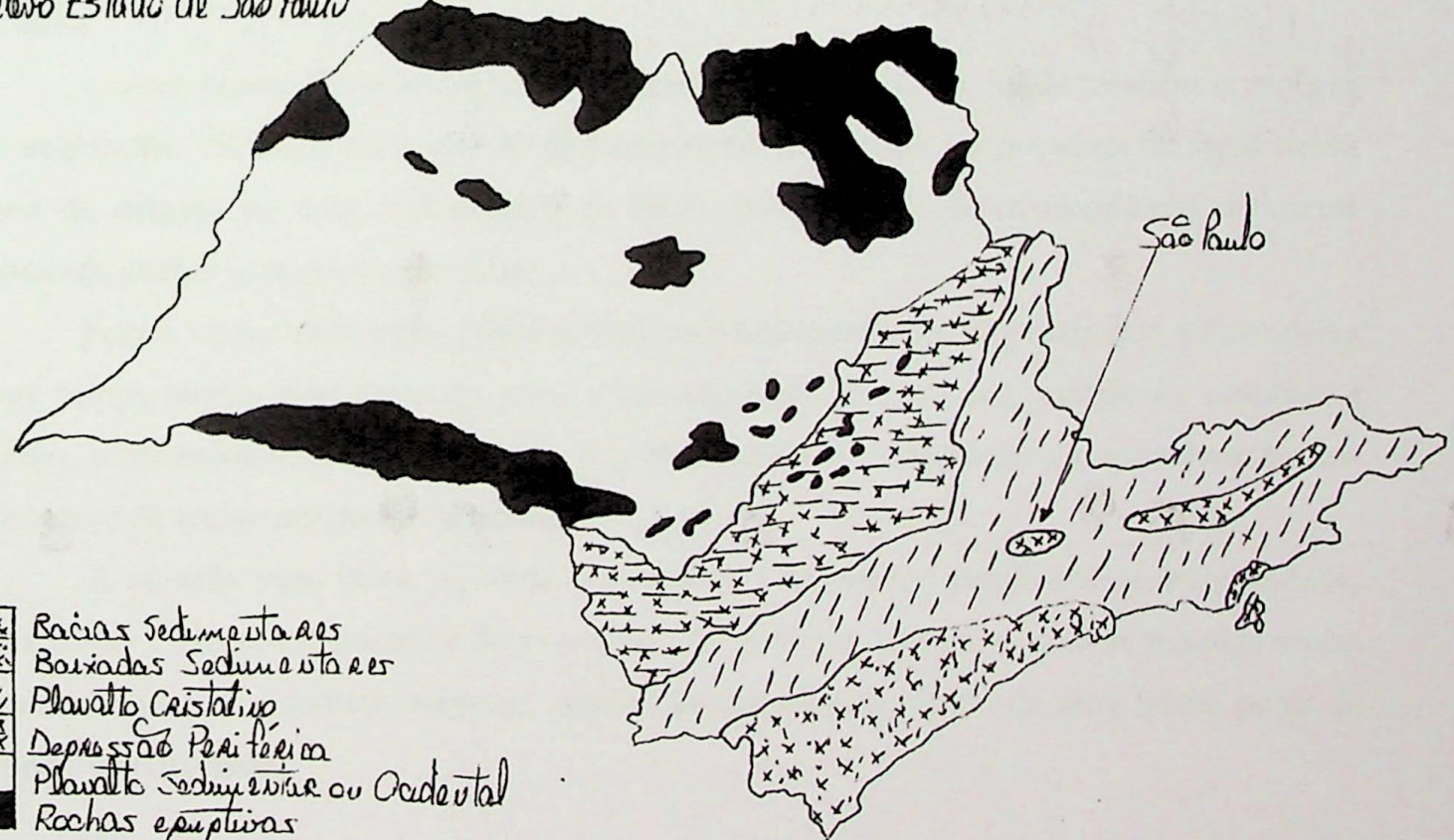
O clima é relativamente ameno e úmido. As temperaturas médias máximas são menores e a precipitação anual é maior e provavelmente menor será a evaporação e a evapotranspiração. Estas condições climáticas são mais favoráveis a presença de solos quimicamente mais férteis e podem ser associadas à presença da mata subtropical de altitude como cobertura vegetal predominante, quando ainda existe cobertura vegetal nestas terras.

Fig 18  
Clima Estado de São Paulo



Tropical  
 Tropical da Altitude  
 Subtropical  
 Fonte: IPT (1980)

Fig 19  
Relevo Estado de São Paulo



Bacias Sedimentares  
 Barreiras Sedimentares  
 Planoalto Cristalino  
 Depressão Periférica  
 Planoalto Sedimentar ou Ocidental  
 Rochas eruptivas  
 Fonte: IPT (1980)

O clima tropical abrange a maior parte da região Sudeste, envolvendo grande parte do Oeste paulista, o Triângulo Mineiro, a porção centro-norte do Estado de Minas Gerais e toda a faixa atlântica. Caracteriza-se principalmente por apresentar duas estações bem marcadas. A primeira delas é um verão muito chuvoso e a segunda um inverno com estiagem, às vezes muito seco. As temperaturas são sempre elevadas.

O clima tropical de altitude abrange as áreas mais elevadas da região Sudeste, como a região serrana de São Paulo. Apresenta também duas estações bem definidas, um verão chuvoso e um inverno mais seco, porém sua maior característica está nas temperaturas mais brandas, especialmente no inverno, em função da maior altitude e da influência das massas de ar mais frias.

O clima subtropical ocorre na porção mais meridional da região, ao sul do trópico de Capricórnio, em terras paulistas onde a latitude maior faz com que as temperaturas diminuam sensivelmente no inverno, definindo uma elevada amplitude térmica anual. As chuvas, pouco intensas, se distribuem regularmente por todos os meses do ano.

Analizada em seu conjunto a paisagem regional é, de certa forma monótona. Predominam grandes extensões arenosas, planas, cobertas de cerrado ou de campos barba de bode.

Nesses pontos de articulação da depressão com as cuestas, muda também o aspecto da vegetação. Os solos melhores de decomposição do basalto e a presença da água nessa zona de origem de toda a drenagem da bacia favorecem o desenvolvimento de matas espessas, porém bastante degradadas.

Sob o clima atual onde predominam características mais tropicais que subtropicais com temperaturas relativamente altas e pluviosidade elevada nos meses de outubro a março, a intensidade das precipitações é o elemento mais importante na consideração dos processos de esculturação das vertentes.

A atuação mais ativa, no verão, de massas tropicais em condições de instabilidade, gera fortes e rápidos aguaceiros de trovoadas. No inverno embora as chuvas pesadas sejam menos freqüentes, também ocorrem, quando há um avanço rápido de uma frente polar de grande intensidade.

Os primeiros aguaceiros, do fim da primavera e início do verão encontram o solo ressecado por um longo período de estiagem. Este período seco varia de maio a agosto podendo se estender até setembro, coincidindo com o final do ciclo agrícola.

O resultado é uma ablação intensa dos solos, com predomínio do escoamento areolar difuso ou laminar, nas vertentes com inclinação inferior a 10°.

Existe ainda um outro escoamento torrencial concentrado nas fundas ravinas dos formadores no alto da serra e no médio canal do Rio Passa Cinco. Isto ocorre nas rampas de inclinação superior a 15° ou 20°.

Desse modo, no equilíbrio das encostas, predominam quase sempre as forças da componentes paralelas, deslocando os materiais superficiais, em detrimento da componente vertical que corresponde aos processos de meteorização e pedogênese. Assim se explica a predominância dos litossolos, especialmente nas vertentes do Grupo Passa Dois.

A modificação ou retirada da cobertura original de campos cerrados ou das matas, deixou os solos desprotegidos e expostos aos agentes de erosão.

A fraca convexidade das colinas traduz o resultado da esculturação para processos pré-atuais, sob fase climática úmida e quente, mas com a cobertura vegetal original (agora destruída).

Sob tais condições, os processo e pedogênese foram e são bastante desenvolvidos a fim de permitir a decomposição profunda das rochas, especialmente das mais friáveis.

Esta convexidade suave das vertentes, geralmente sem concavidade basal, acabam em vales de fundo chato. Assim se explica a evolução por deslizamentos de massas, reptação (creeping) ou escoamento difuso.

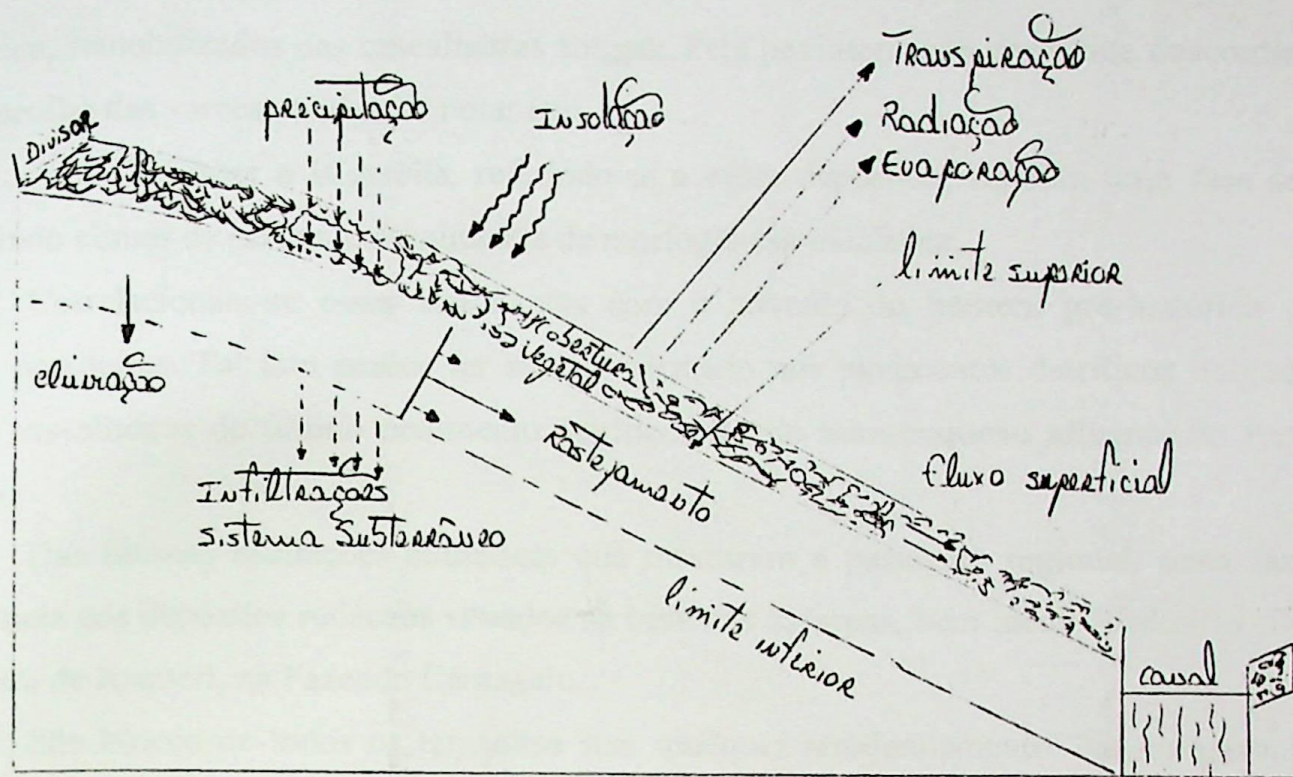
O inteperismo químico ativo, favorece a decomposição e, faz com que o material coluvial, predominantemente fino, ou em estado de dissolução venha se depositar nas várzeas. Salvo poucas exceções onde ocorrem acumulações ao pé das encostas.

Desse modo a vertente evolui com perfil de inclinação suave, tendendo para a convexidade do topo à base. A superfície tabular dos níveis intermediário e baixo do Passa Cinco e seus afluentes aí localizados sofrem este tipo de esculturação.

Uma última e curta oscilação para o clima mais seco teria sido o fator responsável pela gênese da linha de cascalhos miúdos, situada a cerca de 1 a 3m abaixo dos solos e

Fig 12

Dinâmica de uma várzea



Fonte: VIKTOR LUNZ (1985)

Fig 13

Tipos de Várzeas

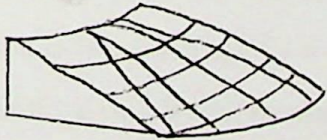
Várzea com radios côncava e contorno côncavo



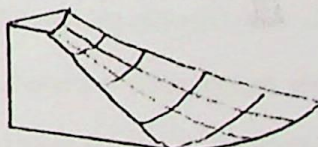
Várzea com radios concavas e contornos côncavos



Várzea com radios convexas e contorno convexo



Várzea com radios côncavas e contorno convexo



Fonte: Christofoli et al. (1980)

colúvios, remobilizados das cascalheiras antigas. Pela pavimentação dentrítica descontínua do assoalho das várzeas podemos notar isto.

Aziz Ab'Saber e Bigarella, referindo-se a esses depósitos, supõem uma fase seca refletindo climas de savana e dominância de morfogênese mecânica.

Correlacionam-se esses sedimentos com o advento do homem pré-histórico em terras brasileiras. Tal fato parece ter sido confirmado nos pavimentos detriticos delgados supra cascalheiras do último pedimento detritico situado num pequeno afluente do Passa Cinco.

Das últimas oscilações climáticas que marcaram a paisagem regional, resta fazer referência aos depósitos rudáceos situados na base das escarpas, bem identificados no sopé da Serra de Itaqueri, na Fazenda Cantagalo.

São blocos de todos os tamanhos sem qualquer arredondamento. Na composição litológica predominam basaltos e o arenito Botucatu e em menor quantidade, seixos pequenos de quartzo.

Após a derradeira fase seca que originou o paleopavimento, uma nova modificação do clima instalou a fase úmida atual, que é bem recente, de acordo com as evidências apontadas. Tal fase úmida é responsável pelas últimas mudanças na paisagem.

A deposição siltico-argilosa nas várzeas e a substituição das grandes extensões de cerrados por florestas, as quais, transpondo os vales atingiram os chapadões arenosos interpenetrando-se no cerrado remanescente das fases mais secas anteriores.

Este predomínio do intemperismo químico, age como componente vertical predominando sobre a drenagem paralela. No balanço morfogenético das encostas, ocorre o arredondamento das formas de vertentes (senelidade).

O assoalho das várzeas desta região é bastante irregular.

Freqüentemente os depósitos argilosos finos assentam diretamente sobre o assoalho rochoso intemperizado (siltitos da formação Estrada Nova ou do próprio diabásico).

Somente após o Neo-Terciário é que se estabeleceu a drenagem exorreíca, em clima úmido, guiada, ao indica por linha tectônicas reativadas e quem sabe por deslocamentos de blocos. Dá-se assim o início à escavação da bacia, através de fases de entalhe e fases de aplaíamento sucessivos.

De fato a 100m abaixo das superfícies de cimeira acompanhando a linha de cuestas regionais situa-se a Serra de Santana e seus morros testemunhos, localizados à sua frente, a leste e ao sul, nivelados a 800-850m.

A Serra de Santana é um verdadeiro planalto que se estende cerca de 15 Km de leste a oeste até as proximidades de Itirapina, região da jusante do Rio Passa Cinco.

No alto desse planalto, portanto na região das nascentes formadoras do Rio Passa Cinco, encontra-se recoberto por sedimentos que Björnberg (1965) considerou modernos.

A respeito desses depósitos da Serra de Santana, Christofolletti & Queiroz Neto (1966 pp. 238-218) dizem o seguinte: "No Quaternário houve uma alternância de períodos secos com morfogênese mecânica e de períodos úmidos com alteração química (Cailleux & Tricart, 1959) favoráveis à formação dos sedimentos como os da Serra de Santana. Estes sedimentos são provenientes de uma deposição árida.

O problema do desdobramento das superfícies não é o local, mas está presente em todo o processo de compartimentação do Planalto Brasileiro. Aziz Ab'Saber (1965 p.25) chama a atenção sobre este assunto.

No fronte da Serra de Itaqueri e dos morros Grande e da Guarita indentificou-se um patamar a 800-820m às vezes basculado em direção oposta a inclinação normal dos pedimentos das cuestas que decaem para o interior da bacia.

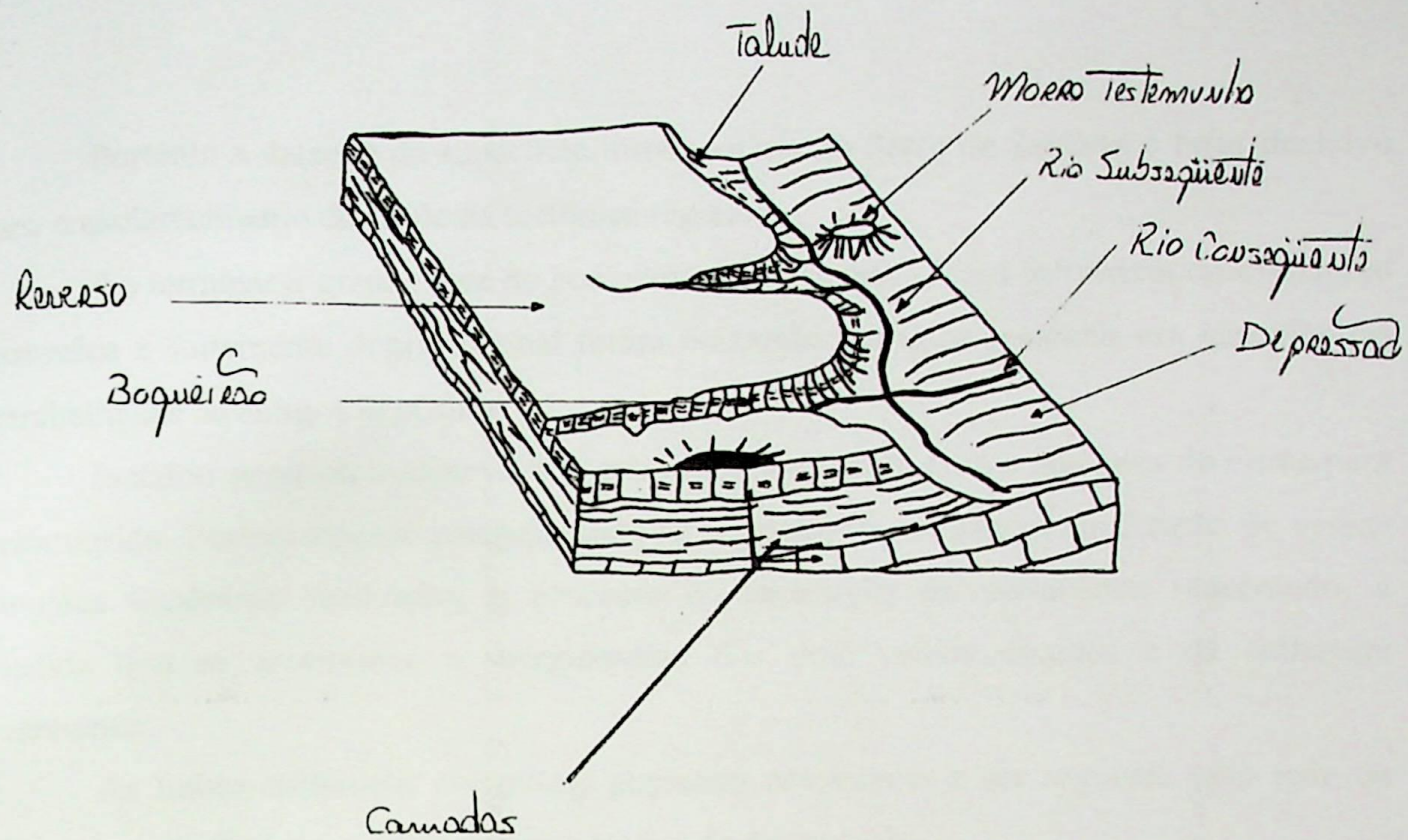
Esse patamar está representado nos perfis topográficos e no esquema das superfícies da Bacia de Rio Claro. Ele é coincidente com o topo silificado do Arenito Botucatu.

Apesar das circunstâncias favorecerem a hipótese de ser um grande patamar estrutural, ou tectônico em face a este comprovado adernamento; não se pode excluir a hipótese de ser um vestígio da antiga superfície intermediária, agora generalizada e conservada ali, graças à resistência do arenito silificado.

Para Ab'Saber (1965 p. 35-36) a drenagem exorréica responsável pela esculturação das grandes depressões marginais, teria se estabelecido após a formação das crostas de cimeira (Neo-Terciárias).

A circundesnudação desta drenagem teria se estendido do Oligoceno ao Mioceno ou mais além no Pleistoceno e o aplaíamento que nivelou as colinas no interior das depressões seria provavelmente Neogênico.

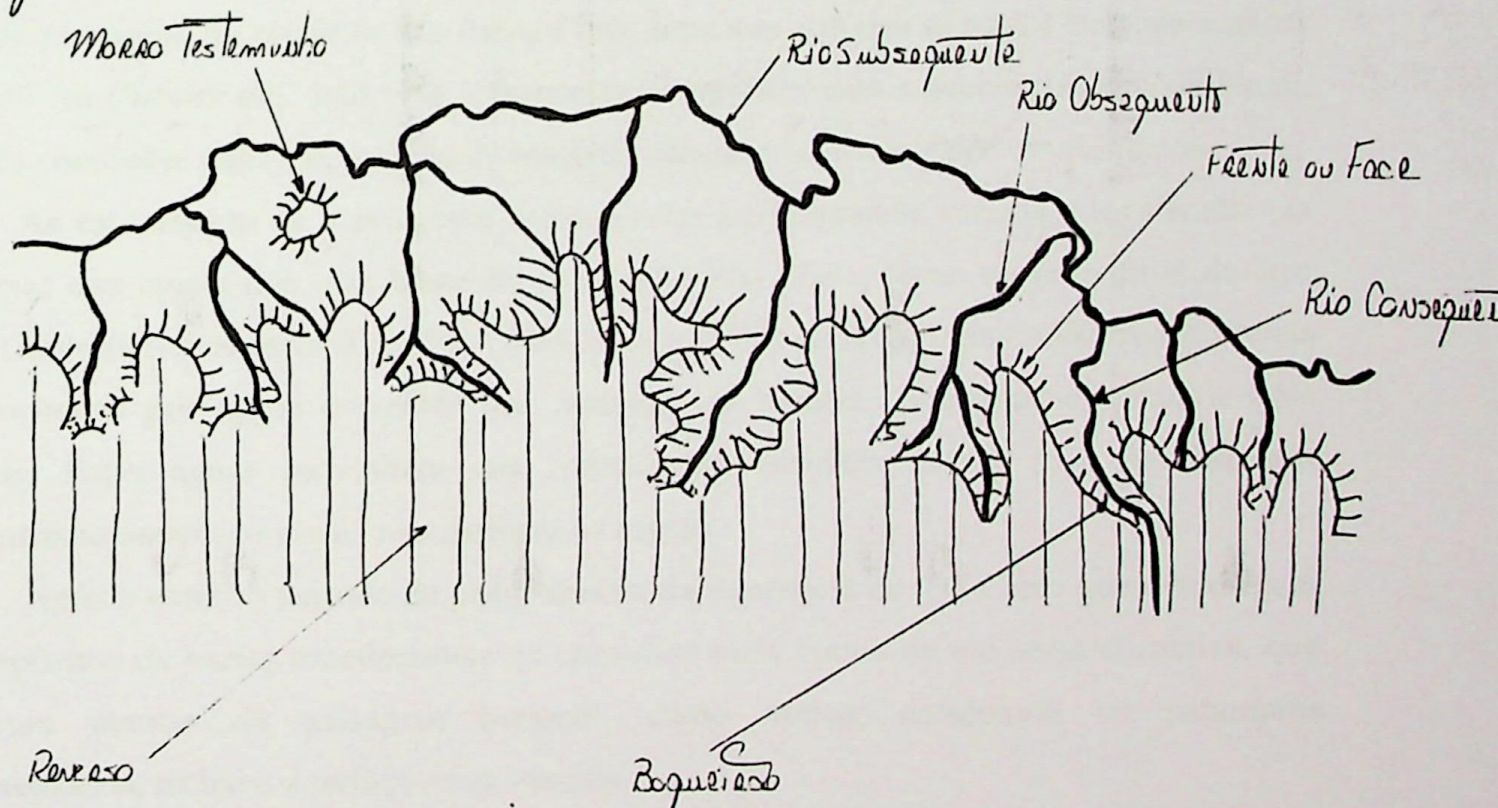
Fig 08



Fonte: Chiarotoffetti (1980)

Esquema Simplificado de uma Cuesta

Fig 09



Fronte de "Uma Cuesta-sevil"

Fonte: Tricart (1949)

Portanto a datação da superfície intermediária da Serra de Santana é fator decisivo para o esclarecimento da idade da tectônica regional.

Ao terminar a grande fase de pediplanação Neogênica, com influência da drenagem exorreíca e fortemente degradacional foram deixando vestígios residuais em cascalheiras retrabalhadas de antigos depósitos.

Instalou-se assim uma nova fase erosiva de escavação com a mudança do clima para mais úmido. Posteriormente reorganizando-se o padrão da drenagem em função de velhas direções tectônicas reativadas, o processo de escavação foi novamente reacentrado, à medida que se processava o soerguimento dos dois velhos escudos e da cobertura sedimentar.

As linhas tectônicas poligonais passaram novamente a ser seguidas pela rede de drenagem que fora insequente na fase anterior de degradação.

O grandeplainamento do início do Pleistoceno, por rebaixamento e erosão areolar, provocou o recuo do antigo planalto Neogênico até o sopé das atuais escarpas das cuestas situadas a oeste e norte da bacia de Rio Claro, embasando o seu assoalho.

A atividade tectônica ocorreu com o reativamento de antigas falhas contrárias ao canal de drenagem do pretérito Rio Passa Cinco uma vez que isto se sentiu em toda a paleobacia do rio Corumbataí. Isto veio a favorecer o represamento e seccionamento da bacia, gerando condições para a deposição do material aluvial e coluvial vindo de montante.

As cascalheiras de seixos bem rolados com granulometria variada e localizada nas margens dos atuais rios, nas bases de Formação Rio Claro, como no leito final do Rio Passa Cinco (terraços mais elevados – 50-60m acima das várzeas) teriam sido transportadas e depositadas por águas correntes que puderam se manter concentradas como lençóis aluviais. Estas águas provinham das zonas mais elevadas. Nesse caso as torrentes concentradas seriam os atuais rios maiores da região.

Após o extenso período de pediplanação da superfície de Rio Claro que deu origem aos depósitos da bacia, sucederam-se os episódios mais curtos de mudança climática, que deixaram marcas na paisagem regional, como vimos, esculpindo os patamares intermediários, os baixos terraços e as várzeas.

O reentalhe erosivo a níveis inferiores à base da Formação Rio Claro, carregou grande parte dos depósitos da bacia.

## CAP. 03- A Área de Estudo

### A área de Rio Claro e suas Formações

Ao analisarmos a paisagem regional nos deparamos com uma visão monótona. Em muitas vezes há a predominância de grandes extensões arenosas planas. As grandes chapadas imprimiram uma feição típica da região, a qual denominou a Planície do Morro Azul.

As grandes extensões planas de solo arenoso e pobre, são para o uso agrícola pouco utilizadas. Grande parte é ocupada por plantações de eucaliptos alternados com pastagens naturais. A vegetação natural é muito pouca, uma vez que os próprios campos de cerrados são constantemente atingidos por queimadas.

Esta constante monotonia de relevo só é interrompida apenas pelos paredões de basalto e pelo arenito silificado.

Nos pontos de contato entre as cuestas e a depressão periférica muda o aspecto da vegetação tornando-se mais rica; principalmente nos vales encaixados.

A bacia hidrográfica do Rio Passa Cinco tem parte de seu curso dentro das Cuestas Basálticas e seu curso final na Grande Depressão Periférica. Entende-se por Cuestas Basálticas, um relevo em escarpa, seguido de uma sucessão de camadas com diferentes resistências ao desgaste e de grandes plataformas estruturais de relevo suavizado, inclinadas para o interior em direção à calha do Rio Paraná. O topo é denominado de frente da cuesta e a base de reverso da cuesta. O entalhamento do reverso dessas cuestas , um corte íngreme na região frontal, deu lugar a boqueirões e a grandes anfiteatros e estádios de erosão, e muitos destes cortes apresentam quedas d'água (Maier, 1983).

Segundo Maier, 1983, no Planalto Ocidental, ocorrem escarpas locais que recebem nome de serras (Ex.: Serra de Dourado, Brotas, Cuscuzeiro, etc...). Na bacia , ocorrem quatro tipos de relevo.

O primeiro deles é o Relevo de Degradação, formado por planícies aluviais, sujeitas a inundações e localizadas na calha do Rio Passa Cinco e de alguns de seus afluentes .

O segundo é composto de relevos de degradação em planaltos dissecados, formados por colinas amplas com topos extensos e aplainados , colinas médias e topos aplainados,

morros amplos com topos arredondados, morrotes e espigões com topos angulosos e achataados.

O terceiro tipo é constituído por relevos residuais e formado por mesas Basálticas, que são os chamados morros testemunhos isolados, com topos aplainados e arredondados, escarpados, com exposição de rochas.

O Quarto tipo é formado por relevos de transição, onde se encontram encostas escarpadas com canyons, locais com declividade média entre 15 a 30% e vales fechados localmente (Maier,1983).

Ocorrem nesta região relevo de colinas amplas, que ocupa as porções inferiores da Bacia próximo à confluência com o Rio Mogi-Guaçu, relevo de Serras próximos às cabeceiras dos rios Fartura e Peixe e também na porção mediana da Bacia (próximo as Cuestas Basálticas) e também nos relevos de morros.

Estão aí representadas cartograficamente as planícies fluviais, que correspondem às áreas descontínuas da morfoescultura (Planalto Ocidental Paulista). São terrenos planos, de natureza sedimentar fluvial quaternária, geradas por processos de deposição de sedimentos, que correspondem às áreas sujeitas a inundações periódicas. O potencial de fragilidade destas planícies é muito alto por serem áreas sujeitas a inundações periódicas, com lençol freático pouco profundo e sedimentos inconsolidados sujeitos a acomodações constantes.

Legenda (Itens numerados no quadro) Figura 16

Formação Botucatu - Lams	Superjoviano - Formação Ihering - Ossifito	Formação Estada Nova - Acritas	Formação Rio Claro - Goniolas	Formação Iantli - Faltolhos	Deposições Santanna - Calcitas e conglomerados	Formação E
						Formação Ihering - Ossifito

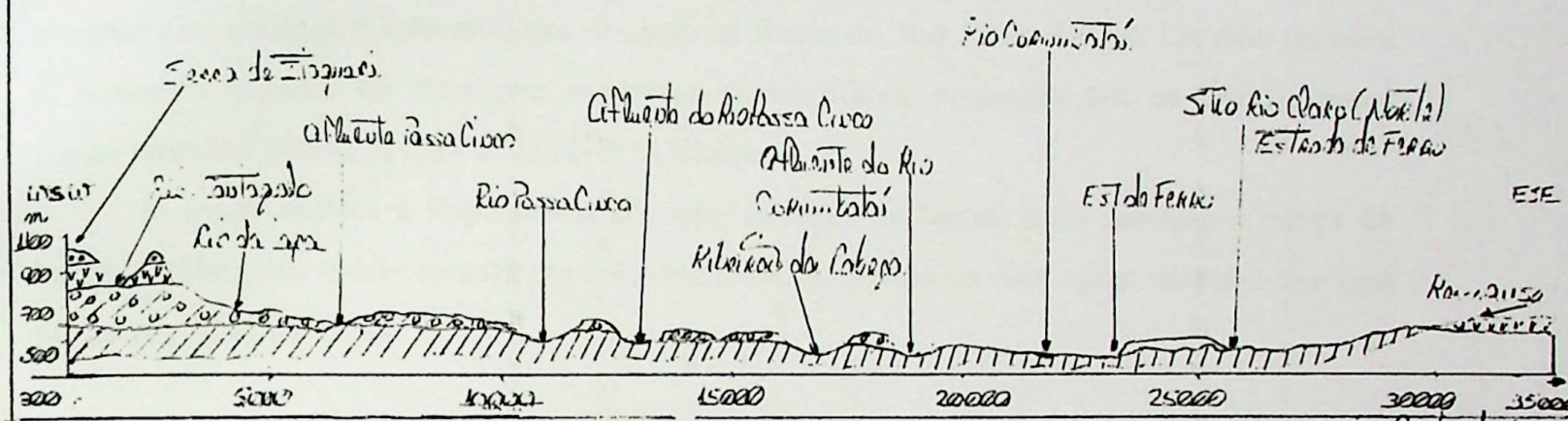
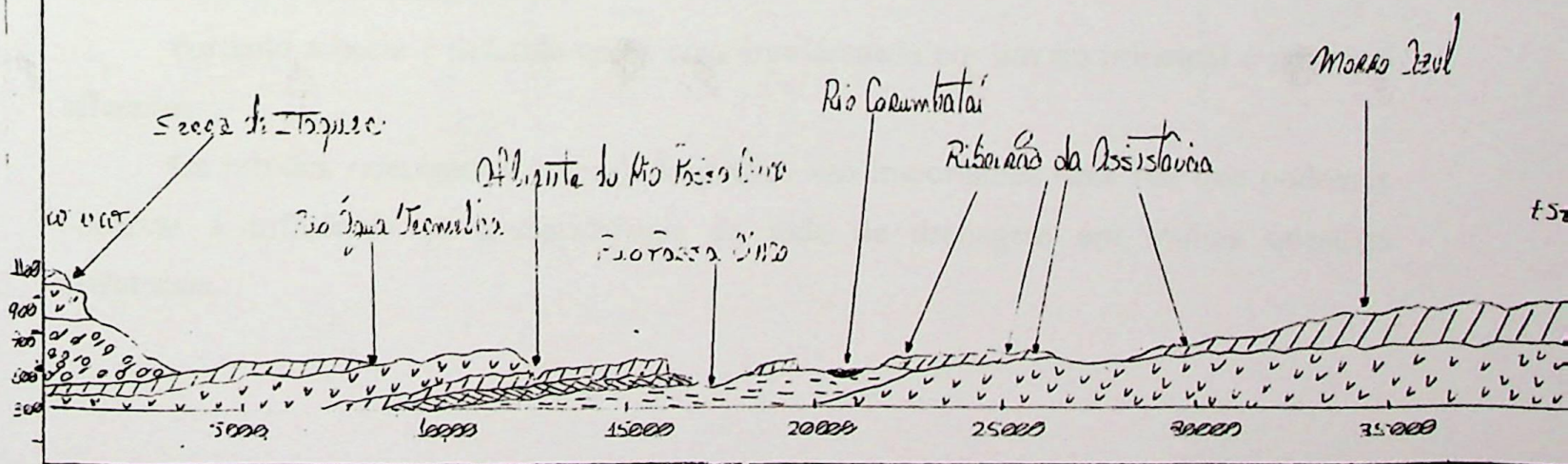


Figura 16 - Perfil Geomorfológico da Bacia de Sedimentação do Rio Claro

Fonte: Penteado (1978)



Fonte: Penteado (1978)

## CAP. 04- A Bacia de Drenagem

A Bacia do Rio Passa Cinco possui 255 Km<sup>2</sup>. Para chegar a esta mensuração foi realizado o seguinte trabalho. Sobre as cartas 1:50.000 de Itirapina e Rio Claro foi colocado uma papel vegetal de tamanho suficiente, para que posteriormente fosse traçado o perímetro da bacia em estudo.

Este mapa que se encontra em ANEXO, serve como ponto de referência para saber quantos rios perenes e intermitentes existem na Bacia do Rio Passa Cinco. Os rios perenes já possuíam o canal de drenagem nas cartas topográficas; enquanto que os intermitentes foram traçados usando as curvas de nível existentes.

O mapa mostra a importância dos rios perenes na bacia, uma vez que a carga da bacia aumenta em muito quanto em estação chuvosa. Todos os rios agem diretamente nos processos litoestruturais.

### 4.1) – Padrão de Drenagem

Uma bacia de drenagem é composta por um conjunto de nascentes, canais de rios (perenes ou não) e seus respectivos represamentos como lagos, lagoas, etc....

Estas bacias são separadas uma das outras pelos chamados divisores de águas. Os divisores de águas são os pontos mais altos do terreno. Os topos de colinas, montanhas, morros e morrotes são exemplos de divisores de águas.

Todos os canais de uma bacia encontram-se interligados. A este inter relacionamento é dado o nome de rede de drenagem. Esta rede de canais é conhecida também como bacia hidrográfica.

Portanto a bacia é definida como uma área drenada por um rio principal e por seus afluentes.

Os estudos referentes à bacia hidrográfica são importantes uma vez que podemos observar a influência na geomorfologia da rede de drenagem em muitas questões estruturais.

Deste modo estes comportamentos estruturais nos levam a melhor entender os processos morfogenéticos e a esculturação do terreno, já que efetuamos uma análise mais detalhada da paisagem.

Quando estudamos uma bacia de drenagem por fotografias aéreas, cartas topográficas, pesquisa de campo,... etc. podemos obter mapas que vão nos servir de interpretação.

Ao demarcarmos em papel vegetal os limites (tanto internos, como o seu contorno) de uma bacia hidrográfica, obtemos uma série de mapas que em muito nos ajudarão a interpretar o seu comportamento morfo-estrutural, por exemplos:

A)-Mapa da Bacia do Rio Passa Cinco onde podemos mensurar sua área, quantidade de rios perenes e intermitentes existentes.

B)-Mapa de Setores Retilíneos nos mostram as falhas estruturais.

C)-Mapa da Distribuição de Nascentes: O número de nascentes que existem na bacia.

D)-Mapa de Ordenação de Canais.

Destes mapas derivam-se outros mapas como os de Interpretação dos Canais Retilíneos e o de Densidade de Nascentes, mais adiante explicados.

Podemos observar que no Alto Curso da Bacia do Rio Passa Cinco, nas altitudes de 700, 850, 976, 980 chegando em alguns pontos a altitudes que ultrapassam os 1050m o padrão de drenagem predominante é o paralelo. Encontramos também de forma mais localizado o padrão em forma de treliça.

No Médio Curso onde as altitudes variam de 670, 700, 750 e em pontos isolados (morros testemunhos) chegam a alcançar 1067m; há a predominância de dois padrões de drenagem. Na margem esquerda há a predominância do padrão paralelo, enquanto que na margem direita o padrão de treliça é predominante principalmente nos cursos de 1º e 2º

ordem, situados próximo ao divisor de águas. É observado ainda o padrão dendrítico para todos os cursos situados no interior das sub-bacias.

Finalmente no Baixo Curso com altitudes de 500, 550, 600 chegando a 670m predomina o padrão de drenagem paralela em ambas as margens.

## Considerações Gerais

As Unidades de Gerenciamento de Recursos Hídricos em que o Estado de São Paulo passa a ser oficialmente dividido, inclui os limites das unidades hidrográficas, as divisas municipais e os limites das regiões de planejamento. Nele se constata, também, a inviabilidade de compatibilizarão da divisão hidrográfica com a regionalização do Estado em unidades de planejamento.

Essas Unidades de Gerenciamento de Recursos Hídricos estão caracterizadas através dos seguintes critérios:

- 1)- A vertente a que pertencem (Bacia do Paraná ou vertente marítima).
- 2)- As regiões hidrográficas, que são partes ou conjuntos de bacias hidrográficas.
- 3)- E as 21 unidades de gerenciamento de recursos hídricos propostas e suas áreas de abrangência.

À medida que o Plano Estadual for sendo implantado essa divisão agora adotada poderá ser alterada. A agregação de novos dados sócio-econômicos e de uso do solo, mais recentes, poderá contribuir para essa alteração.

Ressalte-se que os estudos de planejamento dos recursos hídricos, dependendo do seu escopo, deverão contemplar regiões hidrográficas ou bacias com mais de uma unidade de gerenciamento de recursos hídricos. Um bom exemplo, são as unidades sucessivas contidas na bacia do rio Piracicaba.

A drenagem fluvial é composta por um conjunto de canais de escoamento relacionados entre si. Estes canais formam o que chamamos de bacia de drenagem. Esta é definida como a área drenada por um determinado rio ou por um sistema fluvial.

A quantidade de água que atinge o rio principal da bacia é relacionada diretamente com a precipitação, seu regime, clima e as respectivas perdas devido a evapo-transpiração e à infiltração.

As bacias de drenagem podem ser classificadas de acordo (classificação norte-americana de 1945) com o tipo, são eles:

A)- **Exorréicas** - quando desembocam diretamente no nível marinho.

B)- **Endorréicas** – quando desembocam em lagos ou dissipando-se nas areias do deserto ou perdendo-se nas depressões cársticas.

C)- **Arréicas** – não há nenhuma estruturação em bacias hidrográficas , como nas áreas desérticas onde a precipitação é negligenciável e a atividade dunária é intensa.

D)- **Criptorréicas** – quando as bacias são subterrâneas, como nas regiões cársticas.

Este tipo de drenagem pode interagir com rios e lagos subterrâneos.

Todos os rios compõem bacias, e a cada bacia dá-se uma classificação individual. William Morris Davis propôs vários tipos de classificações. Vamos adotar aquele que em linhas gerais, o escoamento obedece a inclinação das camadas geológicas. Sendo assim são os seguintes :

A)- **Conseqüentes**- os rios coincidem com a direção da inclinação das camadas principais.

B)- **Subsequentes** – são aqueles cujo o fluxo do rio é controlado pela estrutura rochosa. Estas estruturas podem ser um zona de fraqueza, tal como uma falha, junta,

camada rochosa, delgada ou erosível. Correm perpendiculares a inclinação principal.

C)- **Obsequentes** – são rios que correm inversamente ao mergulho da camada. No geral descem das escarpas até um rio subsequente.

D)- **Ressequeentes** – são aqueles que fluem na mesma direção dos rios consequentes, mas possuem suas nascentes em níveis mais baixos. Em geral nascem no reverso da escarpa.

E)- **Insequeentes** – não há uma razão para seguir uma determinada padronização. Os rios correm de acordo com as particularidades da morfologia local.

Existem ainda diferentes padrões de drenagem que são na realidade influência direta do solo da região. Podemos classificá-las em:

A)- **Drenagem Dentrítica** – também chamada de arborescente por se assemelhar à uma árvore. Da mesma maneira como nas árvores os ramos formados pelas correntes dos rios tributários distribuem-se em todas as direções sobre a superfície do terreno. Eles unem-se formando ângulos agudos de graduações variadas. Neste caso se forem observados ângulos retos (cotovelos que obedecem o falhamento) serão considerados anomalias.

B)- **Drenagem Treliça** – ocorre quando os rios principais e os consequentes correm paralelamente. Estes recebem afluentes subsequentes. Os subsequentes recebem rios obsequentes e ressequeentes. Como norma geral eles obedecem ângulos retos entre si. Este padrão é encontrado em estruturas homoclinais, em estruturas falhadas e

anticlinais.

C) – **Drenagem Retangular** – a configuração retangular é uma variação da drenagem de treliça. Forma ângulos retos entre si. É consequência de falha e juntas.

D) – **Drenagem Paralela** – É denominada paralela quando os cursos existentes em uma área considerável corre de forma paralela.

E) – **Drenagem Radial** – Como os raios de uma roda apresentam-se dispostos de forma circular em relação ao ponto central. Esta drenagem pode ainda ser subdividida em:

E.1) – **Centrífuga** – As correntes são do tipo consequentes e o padrão se desenvolve a partir de domos vulcânicos, morros e morrotes isolados.

E.2) – **Centrípeta** – Quando os rios convergem para uma área central. Desenvolvem-se em áreas de bacias sedimentares por exemplo.

F) – **Drenagem Anelar** – Esse padrão assemelha-se a anéis. São típicas de áreas dônicas e são profundamente entalhadas.

G) – **Drenagem Desarranjadas ou Irregulares** – Formam-se por desorganização ou obstrução do terreno. Levantamentos de áreas e soerguimentos como os lagos de áreas litorâneas são bons exemplos.

#### **4.2) - Hierarquia Fluvial**

A hierarquia fluvial consiste no processo de se estabelecer a classificação de determinados cursos d'água (ou na respectiva área drenada a qual ele pertence). Faz parte do conjunto total da bacia hidrográfica (a qual se encontra).

Esta classificação de rios é importante pois facilita entre muitas coisas os estudos morfométricos, que são por exemplo a análise linear, a areal e hipsométrica.

Na análise linear são estudados os índices e as relações que existem entre a rede hidrográfica e suas respectivas medições. Estas medições são efetuadas ao longo de todos os canais de escoamento, a fim de determinar o comprimento médio dos canais, a extensão do percurso superficial entre outras coisas.

A análise areal determina as medições planimétricas como a área da bacia e seu comprimento.

A hipsometria se preocupa com as inter-relações entre o espaço horizontal da bacia e as suas respectivas faixas altitudinais. Representada pela curva hipsométrica, apresenta um importante gradiente de medida e interpretação.

Na Bacia do Rio Passa Cinco, com base na cartas Itirapina e Rio Claro (1:50.000) forma iluminados 1499 drenagens perenes e intermitentes. Foram contados nesta drenagem 67 perenes e 1432 intermitentes.

Posteriormente foram atribuídas as respectivas classificações de Hierarquia Fluvial, segundo Christofolletti (1980). Esta classificação foi fundamentada em Strahler (1959).

Fig 20

Hidrografia da Bacia Hidrográfica - 2º Sist. (2º Sist. hídrico)

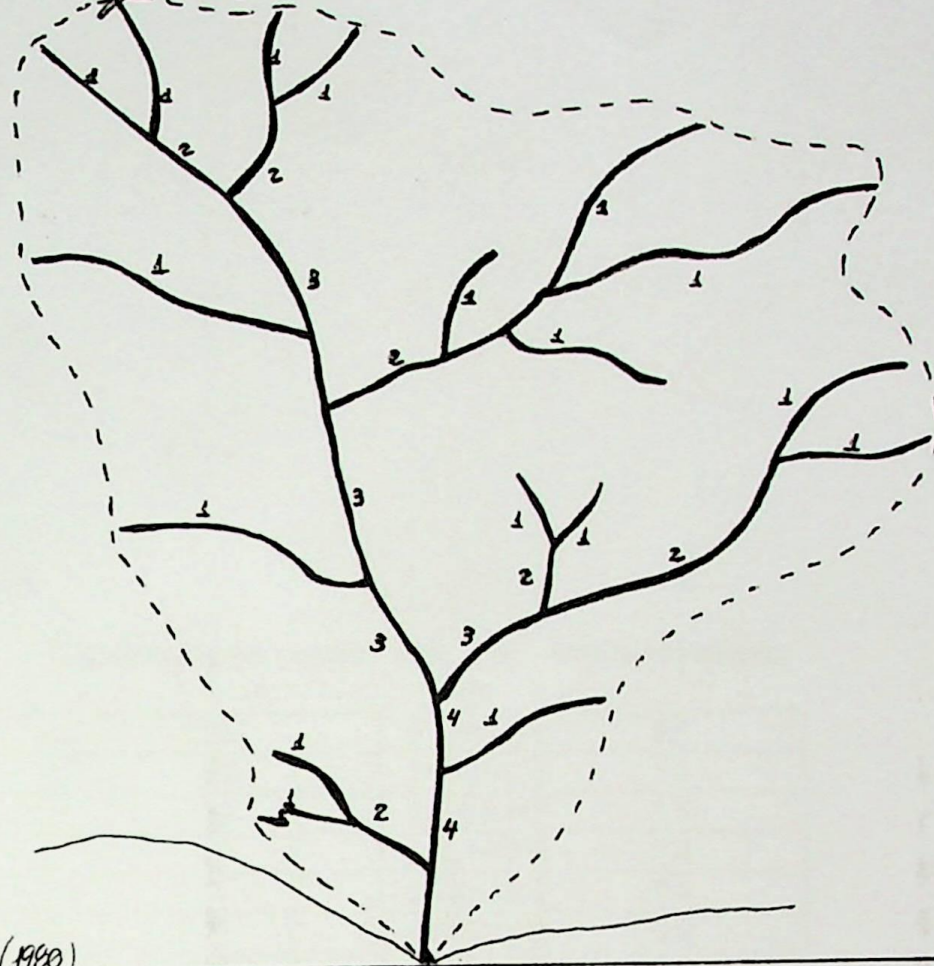


Foto: Christoffelli (1980)

Padrões de Drenagem Fig 21

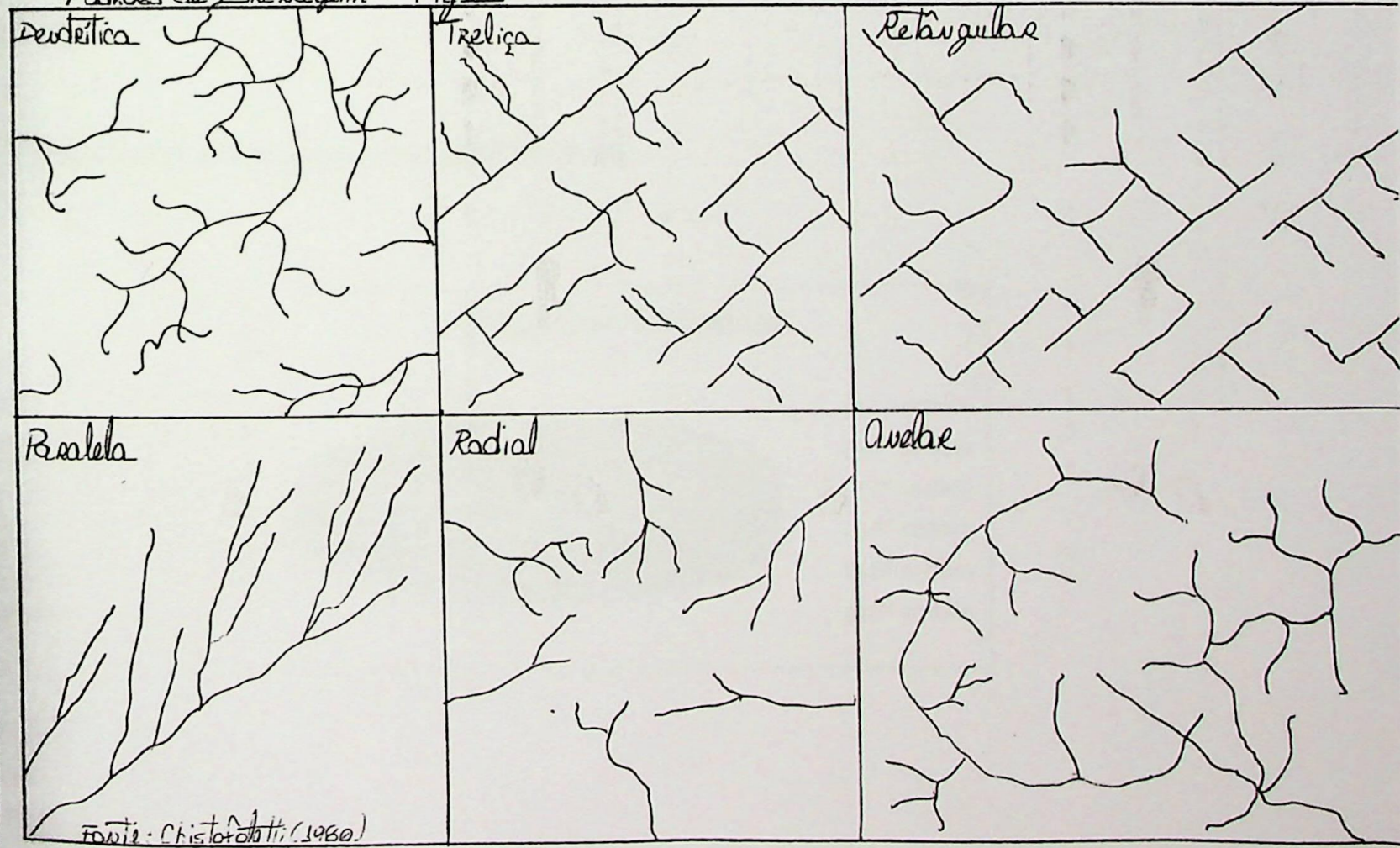


Foto: Christoffelli (1980)

## Dados Gerais:

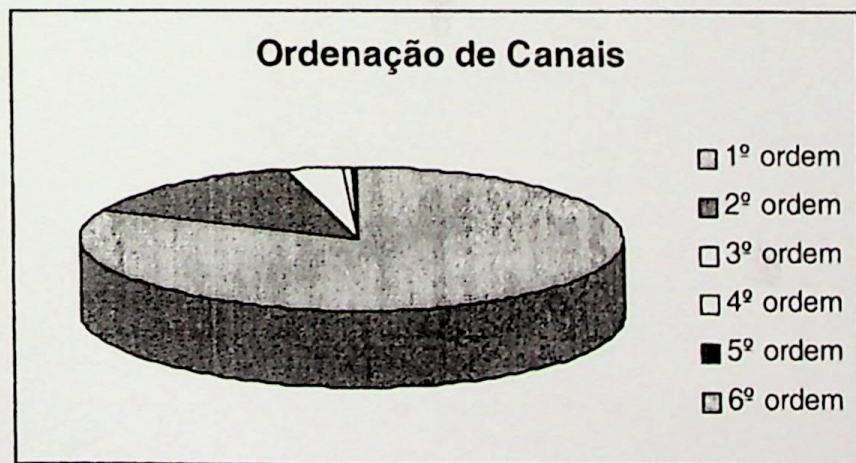
### Tabela de Ordenação

#### Ordenação de Canais

	Quantidade de canais	Perc (%)	Arredondamento.
		Calc	

1º ordem	1222	81,52101	82
2º ordem	216	14,40961	14
3º ordem	49	3,268846	3,3
4º ordem	9	0,6004	0,4
5º ordem	2	0,133422	0,2
6º ordem	1	0,066711	0,1
Total	1499	100%	100

### Gráfico de porcentagem de canais por ordem



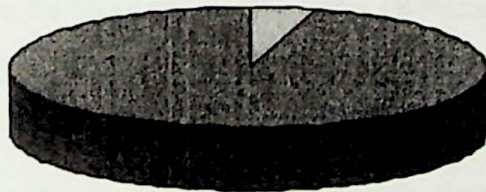
### Número de Canais Perenes e Intermitentes

Número de Rios

	Quantidade	Perc (%)	Arredondamento	Densidade
--	------------	----------	----------------	-----------

Canais Perenes	67	4,469646	4,5	0,0027917
Canais Intermitentes	1432	95,53035	95,5	0,0596667
Total canais	1499	100%	100	

Rios Perenes e Intermitentes



□ Canais Perenes  
■ Canais  
Intermitentes

### Mensuração Média da Bacia

Área da Bacia

	1º med	2º med	3º med	Média	Total
Medidas (curvímetro)	47,5	48	48,5	48	24000

A tabela de ordenação de canais foi construída com base no Mapa de Ordenação de Canais. Nesta tabela encontramos a hierarquia fluvial de toda a Bacia do Rio Passa Cinco. O total geral de cada ordem foi posteriormente calculado em porcentagem para verificar a importância na influência dos processos morfo-estruturais da Bacia do Rio Passa Cinco.

O número de rios perenes e intermitentes foi calculado para sabermos a importância do regime de chuva da região na esculturação do terreno.

A última tabela nos dá a área da bacia através da média de 03 (três) mensurações com um curvímetro, sobre as cartas.

### A Hierarquia Fluvial e suas Classificações

Robert E. Horton propôs em 1945 um modo mais preciso para a ordenação dos cursos d'água dentro de uma bacia de drenagem. Seu método é o seguinte:

Os canais de primeira ordem não recebem tributários e os de segunda ordem recebem os de primeira e assim por diante.

Para Horton o rio principal nesse caso teria o mesmo número desde a nascente, sendo assim uma de suas nascentes seria considerada como parte do rio principal da bacia.

Em 1952 Arthur N. Strahler estabeleceu que os menores canais, sem tributários, seriam considerados como os de primeira ordem. Estes por sua vez formariam em suas confluências rios de segunda ordem e assim sucessivamente.

Este tipo de ordenação proposto por Strahler elimina o conceito de que o rio principal deva ter o mesmo número ao longo de seu percurso. Quando ocorrer uma nova confluência o rio principal será adicionado de uma nova ordem caso dois tributários tenham o mesmo número. Se isto não acontecer ele manterá a mesma ordem do tributário de maior ordem.

Tanto Horton como Strahler pressupõem que a ordem de canais aumente em 1 (um) ao receberem uma confluência de mesma ordem.

#### **4.3) – Setores Retilíneos de Canais**

O mapa de setores retilíneos foi confeccionado por nos mostrar a real importância do falhamento estrutural agindo sobre a calha tanto do Rio Passa Cinco, como de seus formadores. Usando como base o mapa da Bacia do Rio Passa Cinco foram demarcados com uma régua, sobre os pontos em linha reta, o falhamento agindo assim como condutor do rio.

Foram desprezados cotovelos e curvas, bem como trançados meândricos.

Com base nestes dados foi posteriormente gerado o mapa de Resultado e Interpretação dos Canais Retilíneos.

As quadrículas foram divididas em quatro partes iguais, sendo que cada quadrícula passou a ter quatro quadrículas de 1 km<sup>2</sup>. Cada quadrícula recebeu uma cor conforme legenda do mapa. Colocando este mapa sobre as cartas topográficas podemos cruzar informações sobre a quantidade de setores retilíneos existentes em cada um dos níveis que o Rio Passa Cinco percorre até desembocar no Corumbataí.

No Alto Curso da Bacia do Rio Passa Cinco, nas altitudes que variam de 700 a 980m, chegando em alguns pontos a altitudes que ultrapassam os 1058m os setores retilíneos possuem extensões pequenas. Aparecem em maior quantidade quando comparados a estes mesmos setores no Médio Curso onde as altitudes variam de 670 a 750m e seus pontos isolados (morros testemunhos). Há de se notar a predominância de cotovelos mais acentuados no Médio Curso, onde fazem ângulos quase retos.

No Baixo Curso estes setores são maiores e os cotovelos são pouco acentuados, muitas vezes imperceptíveis. Nota-se que ao caminharmos do reverso da Cuesta para a Depressão Periférica, o número de setores retilíneos diminui, mas seu comprimento aumenta.

#### **4.4) – Densidades de Nascentes**

O Mapa de Densidades de Nascentes é importante pois mostra pontos de exfiltrações do aquífero da Bacia do Rio Passa Cinco. Estas nascentes abastecem diretamente os canais perenes, responsáveis na maior parte do ano pela rede de drenagem.

Em uma análise mais detalhada podemos considerar que estes canais perenes estão condicionados pela estrutura. Esta estrutura estaria representada pela litologia através de fraturas, falhas, vales encaixados e fendas.

Esta relação pode ser observada na correlação existente entre a distribuição de nascentes e os setores retilíneos da drenagem encontrados no Mapa de Densidade de Nascentes e de Setores Retilíneos respectivamente.

Sobre as cartas de Itirapina e Rio Claro foi novamente colocado um papel vegetal. Sobre este papel vegetal foi contado o número de nascentes existentes da bacia. As nascentes perenes foram marcadas com caneta hidrocor azul; enquanto que as nascentes intermitentes foram assinaladas com caneta hidrocor laranja.

Pretendemos mostrar o volume de água captado pela bacia tanto no período de seca como no período de chuva.

Criou-se então como resultado em base ao mapa de Densidade de Nascentes, um mapa colorido para melhor interpretação da área. As quadrículas também foram divididas em quatro partes iguais, sendo que cada quadrícula passou a ter quatro quadrículas de 1 km<sup>2</sup>. Cada quadrícula por sua vez recebeu uma cor conforme legenda do mapa. Colocando este mapa sobre as cartas topográficas podemos cruzar informações sobre a quantidade de nascentes existentes em toda a Bacia do Rio Passa Cinco.

As nascentes dos canais perenes encontram-se na sua maioria localizadas na região das Cuestas, enquanto que as nascentes perenes são encontradas por toda a extensão da Bacia do Rio Passa Cinco.

No Alto Curso da Bacia, as nascentes perenes encontram-se em maior quantidade no lado esquerdo do Rio Passa Cinco. No lado direto poucas são encontradas.

No Médio Curso concentra-se a maior parte das nascentes perenes. Há também uma grande quantidade de nascentes intermitentes. Estas nascentes intermitentes obdecem, principalmente linhas de falhamentos, quando comparamos o Mapa de Setores Retilíneos com o de Nascentes.

No Baixo Curso com altitudes variando de 500 a 600m e em raros casos indo a 670m predominam poucas nascentes intermitentes nas margem esquerda. Na margem direta existem áreas onde as nascentes obedecerem claramente o falhamento concentrando-se em algumas porções da Bacia.

Tabela de Ordenação, Direção e Comprimento da Bacia do Passa Cinco  
Canais de Primeira Ordem

Número	Ordem	Direção	Direção	Comp
1	1º	210	W	0,02
2	1º	142	S	0,09
3	1º	144	S	0,10
4	1º	148	S	0,11
5	1º	160	S	0,09
6	1º	108	S	0,02
7	1º	116	S	0,10
8	1º	298	N	0,01
9	1º	228	W	0,08
10	1º	132	S	0,09
11	1º	136	S	0,05
12	1º	318	N	0,03
13	1º	258	W	0,09
14	1º	236	W	0,10
15	1º	264	W	0,08
16	1º	234	W	0,30
17	1º	254	W	0,40
18	1º	298	N	0,20
19	1º	322	N	0,50
20	1º	312	N	0,53
21	1º	270	W	0,10
22	1º	242	W	0,11
23	1º	274	N	0,03
24	1º	344	N	0,09
25	1º	270	W	0,01
26	1º	238	W	0,09
27	1º	226	W	0,02
28	1º	288	N	0,09
29	1º	286	N	0,21
30	1º	288	N	0,31
31	1º	250	W	0,13
32	1º	238	W	0,10
33	1º	296	N	0,15
34	1º	268	W	0,15
35	1º	200	W	0,02
36	1º	254	W	0,09
37	1º	298	N	0,08
38	1º	4	E	0,04
39	1º	26	E	0,11
40	1º	328	N	0,05

Número	Ordem	Direção	Direção	Comp
41	1º	352	N	0,03
42	1º	24	E	0,20
43	1º	64	E	0,20
44	1º	54	E	0,01
45	1º	78	E	0,08
46	1º	142	S	0,03
47	1º	254	W	0,13
48	1º	298	N	0,19
49	1º	312	N	0,24
50	1º	308	N	0,04
51	1º	340	N	0,09
52	1º	322	N	0,20
53	1º	328	N	0,10
54	1º	92	S	0,15
55	1º	320	N	0,15
56	1º	88	E	0,03
57	1º	34	E	0,10
58	1º	350	N	0,13
59	1º	214	W	0,10
60	1º	66	E	0,03
61	1º	62	E	0,16
62	1º	6	E	0,18
63	1º	18	E	0,09
64	1º	34	N	0,01
65	1º	272	N	0,02
66	1º	166	S	0,26
67	1º	130	S	0,02
68	1º	150	S	0,29
69	1º	148	S	0,20
70	1º	160	S	0,40
71	1º	160	S	0,45
72	1º	160	S	0,47
73	1º	142	S	0,08
74	1º	136	S	0,10
75	1º	112	S	0,20
76	1º	98	S	0,05
77	1º	20	E	0,10
78	1º	40	E	0,02
79	1º	18	E	0,06
80	1º	60	E	0,01

Tabela de Ordenação, Direção e Comprimento da Bacia do Passa Cinco  
Canais de Primeira Ordem (Continuação)

Número	Ordem	Direção	Direção	Comp
81	1º	148	S	0,03
82	1º	156	S	0,10
83	1º	128	S	0,10
84	1º	82	E	0,12
85	1º	92	S	0,11
86	1º	348	N	0,02
87	1º	14	E	0,03
88	1º	16	E	0,09
89	1º	60	E	0,02
90	1º	84	E	0,03
91	1º	154	S	0,09
92	1º	140	S	0,02
93	1º	120	S	0,01
94	1º	172	S	0,03
95	1º	68	E	0,01
96	1º	78	E	0,03
97	1º	202	W	0,10
98	1º	262	W	0,02
99	1º	240	W	0,02
100	1º	124	W	0,01
101	1º	202	W	0,20
102	1º	206	W	0,21
103	1º	128	S	0,01
104	1º	190	W	0,01
105	1º	122	S	0,09
106	1º	110	S	0,03
107	1º	104	S	0,02
108	1º	92	S	0,02
109	1º	284	N	0,03
110	1º	320	N	0,10
111	1º	348	N	0,15
112	1º	168	S	0,04
113	1º	188	W	0,02
114	1º	222	W	0,04
115	1º	222	W	0,03
116	1º	190	W	0,11
117	1º	158	S	0,07
118	1º	110	S	0,14
119	1º	212	W	0,01
120	1º	160	S	0,02

Número	Ordem	Direção	Direção	Comp
121	1º	132	S	0,01
122	1º	10	E	0,01
123	1º	58	E	0,11
124	1º	344	N	0,06
125	1º	88	E	0,03
126	1º	198	W	0,03
127	1º	130	S	0,01
128	1º	160	S	0,09
129	1º	12	E	0,03
130	1º	58	E	0,13
131	1º	260	W	0,04
132	1º	212	W	0,01
133	1º	148	S	0,09
134	1º	252	W	0,14
135	1º	202	W	0,10
136	1º	260	W	0,05
137	1º	312	N	0,09
138	1º	332	N	0,02
139	1º	52	E	0,13
140	1º	92	S	0,17
141	1º	122	S	0,09
142	1º	62	E	0,10
143	1º	52	E	0,21
144	1º	48	E	0,27
145	1º	66	E	0,21
146	1º	144	S	0,14
147	1º	134	S	0,16
148	1º	282	N	0,12
149	1º	252	W	0,16
150	1º	268	W	0,16
151	1º	22	E	0,02
152	1º	38	E	0,03
153	1º	6	S	0,03
154	1º	70	E	0,02
155	1º	108	S	0,29
156	1º	102	S	0,21
157	1º	232	W	0,08
158	1º	250	W	0,10
159	1º	86	E	0,09
160	1º	214	W	0,08

Tabela de Ordenação, Direção e Comprimento da Bacia do Passa Cinco  
Canais de Primeira Ordem (Continuação)

Número	Ordem	Direção	Direção	Comp
161	1º	208	W	0,10
162	1º	242	W	0,13
163	1º	276	W	0,10
164	1º	304	N	0,08
165	1º	318	N	0,04
166	1º	122	S	0,29
167	1º	308	N	0,20
168	1º	292	N	0,60
169	1º	342	N	0,13
170	1º	354	N	0,12
171	1º	46	E	0,01
172	1º	236	W	0,15
173	1º	180	S	0,12
174	1º	158	S	0,10
175	1º	76	E	0,05
176	1º	130	S	0,10
177	1º	164	S	0,10
178	1º	240	W	0,05
179	1º	190	W	0,17
180	1º	252	W	0,10
181	1º	238	W	0,02
182	1º	274	W	0,34
183	1º	278	N	0,25
184	1º	330	N	0,05
185	1º	324	N	0,18
186	1º	310	N	0,40
187	1º	170	S	0,04
188	1º	176	S	0,02
189	1º	200	W	0,03
190	1º	208	W	0,07
191	1º	336	N	0,09
192	1º	136	S	0,08
193	1º	56	E	0,04
194	1º	304	N	0,03
195	1º	226	W	0,09
196	1º	246	W	0,04
197	1º	260	W	0,03
198	1º	120	S	0,05
199	1º	168	S	0,14
200	1º	28	E	0,08

Número	Ordem	Direção	Direção	Comp
201	1º	250	W	0,05
202	1º	242	W	0,04
203	1º	174	S	0,04
204	1º	166	S	0,04
205	1º	100	S	0,03
206	1º	98	S	0,05
207	1º	138	S	0,03
208	1º	54	E	0,14
209	1º	232	W	0,23
210	1º	240	W	0,15
211	1º	298	N	0,07
212	1º	336	N	0,09
213	1º	342	N	0,11
214	1º	4	E	0,04
215	1º	90	E	0,14
216	1º	226	W	0,02
217	1º	148	S	0,04
218	1º	230	E	0,01
219	1º	218	W	0,15
220	1º	356	N	0,04
221	1º	284	N	0,19
222	1º	304	N	0,10
223	1º	242	W	0,05
224	1º	212	W	0,15
225	1º	188	W	0,09
226	1º	352	W	0,09
227	1º	208	W	0,10
228	1º	178	S	0,21
229	1º	254	W	0,15
230	1º	240	W	0,19
231	1º	228	W	0,04
232	1º	236	W	0,08
233	1º	160	S	0,04
234	1º	110	S	0,09
235	1º	240	W	0,09
236	1º	212	W	0,10
237	1º	282	N	0,04
238	1º	152	S	0,04
239	1º	108	S	0,01
240	1º	154	S	0,07

Tabela de Ordenação, Direção e Comprimento da Bacia do Passa Cinco  
Canais de Primeira Ordem (Continuação)

Número	Ordem	Direção	Direção	Comp
241	1º	336	N	0,06
242	1º	80	E	0,03
243	1º	320	N	0,05
244	1º	358	N	0,03
245	1º	306	N	0,04
246	1º	250	W	0,05
247	1º	228	W	0,05
248	1º	160	S	0,05
249	1º	330	N	0,09
250	1º	272	W	0,03
251	1º	228	W	0,06
252	1º	216	W	0,15
253	1º	224	W	0,35
254	1º	104	S	0,22
255	1º	112	S	0,34
256	1º	40	E	0,05
257	1º	112	S	0,10
258	1º	48	E	0,09
259	1º	98	S	0,02
260	1º	90	E	0,03
261	1º	120	S	0,10
262	1º	148	S	0,15
263	1º	180	S	0,19
264	1º	198	W	0,01
265	1º	206	W	0,35
266	1º	206	W	0,02
267	1º	358	N	0,05
268	1º	22	E	0,08
269	1º	62	E	0,02
270	1º	62	E	0,08
271	1º	158	S	0,14
272	1º	140	S	0,15
273	1º	178	S	0,10
274	1º	284	N	0,35
275	1º	28	E	0,21
276	1º	104	S	0,07
277	1º	32	E	0,10
278	1º	68	E	0,12
279	1º	98	S	0,09
280	1º	108	S	0,10

Número	Ordem	Direção	Direção	Comp
281	1º	122	S	0,20
282	1º	116	S	0,15
283	1º	100	S	0,05
284	1º	30	E	0,12
285	1º	58	E	0,15
286	1º	62	E	0,10
287	1º	306	N	0,02
288	1º	320	N	0,14
289	1º	324	N	0,11
290	1º	322	N	0,15
291	1º	98	S	0,09
292	1º	130	S	0,10
293	1º	54	E	0,10
294	1º	348	N	0,15
295	1º	192	W	0,05
296	1º	288	N	0,18
297	1º	296	N	0,19
298	1º	296	N	0,03
299	1º	328	N	0,12
300	1º	332	N	0,34
301	1º	236	W	0,21
302	1º	190	W	0,02
303	1º	280	N	0,06
304	1º	262	W	0,13
305	1º	332	N	0,09
306	1º	346	N	0,28
307	1º	338	N	0,31
308	1º	328	N	0,12
309	1º	280	N	0,06
310	1º	12	E	0,08
311	1º	48	E	0,21
312	1º	24	E	0,09
313	1º	8	E	0,25
314	1º	52	E	0,08
315	1º	8	E	0,08
316	1º	334	N	0,01
317	1º	320	N	0,13
318	1º	270	W	0,03
319	1º	204	W	0,03
320	1º	152	S	0,04

Tabela de Ordenação, Direção e Comprimento da Bacia do Passa Cinco  
Canais de Primeira Ordem (Continuação)

Número	Ordem	Direção	Direção	Comp
321	1º	302	N	0,03
322	1º	274	N	0,03
323	1º	290	N	0,33
324	1º	232	W	0,09
325	1º	262	W	0,12
326	1º	264	W	0,23
327	1º	278	N	0,09
328	1º	358	N	0,03
329	1º	70	E	0,01
330	1º	90	E	0,01
331	1º	106	S	0,03
332	1º	68	E	0,02
333	1º	64	E	0,01
334	1º	126	S	0,03
335	1º	16	E	0,02
336	1º	88	E	0,03
337	1º	88	E	0,09
338	1º	70	E	0,03
339	1º	134	S	0,04
340	1º	178	S	0,19
341	1º	188	W	0,18
342	1º	166	S	0,03
343	1º	160	S	0,14
344	1º	106	S	0,03
345	1º	112	S	0,12
346	1º	92	S	0,02
347	1º	74	E	0,06
348	1º	116	S	0,02
349	1º	132	S	0,02
350	1º	102	N	0,15
351	1º	66	E	0,16
352	1º	22	E	0,02
353	1º	78	E	0,09
354	1º	356	N	0,09
355	1º	40	E	0,10
356	1º	64	E	0,10
357	1º	126	S	0,05
358	1º	84	E	0,09
359	1º	154	S	0,05
360	1º	78	E	0,20

Número	Ordem	Direção	Direção	Comp
361	1º	158	S	0,10
362	1º	94	S	0,09
363	1º	338	N	0,13
364	1º	30	N	0,02
365	1º	280	N	0,08
366	1º	220	W	0,08
367	1º	260	W	0,06
368	1º	272	N	0,02
369	1º	176	S	0,09
370	1º	228	W	0,20
371	1º	56	E	0,14
372	1º	214	W	0,02
373	1º	270	W	0,06
374	1º	186	W	0,02
375	1º	246	W	0,11
376	1º	264	W	0,10
377	1º	266	W	0,06
378	1º	304	N	0,21
379	1º	260	W	0,06
380	1º	240	W	0,03
381	1º	46	E	0,06
382	1º	10	S	0,02
383	1º	148	S	0,03
384	1º	150	S	0,04
385	1º	46	E	0,06
386	1º	128	S	0,03
387	1º	8	E	0,23
388	1º	346	N	0,12
389	1º	134	S	0,05
390	1º	52	E	0,01
391	1º	290	N	0,20
392	1º	222	N	0,10
393	1º	268	W	0,15
394	1º	276	N	0,21
395	1º	294	N	0,25
396	1º	322	N	0,07
397	1º	300	N	0,14
398	1º	260	W	0,14
399	1º	210	W	0,23
400	1º	290	N	0,05

Tabela de Ordenação, Direção e Comprimento da Bacia do Passa Cinco  
Canais de Primeira Ordem (Continuação)

Número	Ordem	Direção	Direção	Comp
401	1º	218	W	0,18
402	1º	208	W	0,19
403	1º	196	W	0,10
404	1º	330	N	0,13
405	1º	250	W	0,18
406	1º	168	S	0,02
407	1º	246	W	0,08
408	1º	60	E	0,17
409	1º	32	E	0,18
410	1º	18	E	0,19
411	1º	102	S	0,03
412	1º	194	W	0,06
413	1º	350	N	0,02
414	1º	290	N	0,04
415	1º	338	N	0,02
416	1º	214	W	0,08
417	1º	84	E	0,02
418	1º	70	E	0,01
419	1º	76	E	0,03
420	1º	18	E	0,08
421	1º	260	W	0,07
422	1º	334	W	0,14
423	1º	342	N	0,15
424	1º	358	N	0,16
425	1º	28	E	0,17
426	1º	38	E	0,17
427	1º	220	W	0,13
428	1º	250	W	0,09
429	1º	160	S	0,01
430	1º	210	W	0,14
431	1º	194	W	0,02
432	1º	232	W	0,08
433	1º	136	S	0,01
434	1º	202	W	0,03
435	1º	232	W	0,01
436	1º	160	S	0,14
437	1º	256	W	0,03
438	1º	242	W	0,01
439	1º	164	S	0,11
440	1º	200	W	0,17

Número	Ordem	Direção	Direção	Comp
441	1º	224	W	0,09
442	1º	178	S	0,08
443	1º	202	W	0,14
444	1º	220	W	0,09
445	1º	150	S	0,19
446	1º	212	W	0,20
447	1º	198	W	0,04
448	1º	226	W	0,10
449	1º	140	S	0,04
450	1º	272	N	0,11
451	1º	232	W	0,10
452	1º	168	S	0,21
453	1º	178	S	0,14
454	1º	98	S	0,01
455	1º	126	S	0,16
456	1º	144	S	0,19
457	1º	160	S	0,02
458	1º	72	E	0,32
459	1º	70	E	0,04
460	1º	116	S	0,07
461	1º	48	E	0,09
462	1º	92	S	0,11
463	1º	80	E	0,09
464	1º	140	S	0,07
465	1º	162	S	0,14
466	1º	134	S	0,18
467	1º	70	E	0,08
468	1º	40	E	0,05
469	1º	28	E	0,06
470	1º	46	E	0,09
471	1º	198	W	0,02
472	1º	154	S	0,15
473	1º	116	S	0,02
474	1º	100	S	0,08
475	1º	110	S	0,10
476	1º	164	S	0,04
477	1º	192	W	0,19
478	1º	188	W	0,25
479	1º	130	S	0,04
480	1º	258	W	0,18

Tabela de Ordenação, Direção e Comprimento da Bacia do Passa Cinco  
Canais de Primeira Ordem (Continuação)

Número	Ordem	Direção	Direção	Comp
481	1º	240	W	0,29
482	1º	230	W	0,27
483	1º	212	W	0,11
484	1º	60	E	0,15
485	1º	256	W	0,14
486	1º	268	W	0,09
487	1º	340	N	0,09
488	1º	300	N	0,22
489	1º	258	W	0,06
490	1º	290	N	0,13
491	1º	284	N	0,08
492	1º	198	W	0,04
493	1º	268	W	0,10
494	1º	292	N	0,14
495	1º	342	N	0,08
496	1º	300	N	0,19
497	1º	314	N	0,02
498	1º	252	W	0,07
499	1º	250	W	0,10
500	1º	250	W	0,07
501	1º	314	N	0,13
502	1º	312	N	0,21
503	1º	320	N	0,28
504	1º	44	E	0,09
505	1º	298	N	0,09
506	1º	316	N	0,15
507	1º	318	N	0,05
508	1º	312	N	0,13
509	1º	114	E	0,09
510	1º	184	N	0,14
511	1º	204	W	0,19
512	1º	188	W	0,09
513	1º	188	W	0,09
514	1º	208	W	0,06
515	1º	196	W	0,05
516	1º	222	W	0,11
517	1º	258	W	0,18
518	1º	328	N	0,01
519	1º	338	N	0,03
520	1º	342	N	0,09

Número	Ordem	Direção	Direção	Comp
521	1º	296	N	0,04
522	1º	36	N	0,15
523	1º	316	N	0,14
524	1º	286	N	0,15
525	1º	336	N	0,07
526	1º	308	N	0,14
527	1º	250	W	0,19
528	1º	174	S	0,06
529	1º	228	W	0,02
530	1º	90	E	0,02
531	1º	186	W	0,06
532	1º	240	W	0,13
533	1º	184	W	0,15
534	1º	192	W	0,18
535	1º	128	S	0,05
536	1º	162	S	0,10
537	1º	128	S	0,02
538	1º	228	W	0,03
539	1º	288	N	0,03
540	1º	214	W	0,08
541	1º	46	E	0,05
542	1º	22	E	0,08
543	1º	4	E	0,14
544	1º	0	N	0,06
545	1º	358	N	0,20
546	1º	0	N	0,13
547	1º	336	N	0,11
548	1º	288	N	0,04
549	1º	288	N	0,14
550	1º	282	N	0,12
551	1º	326	N	0,01
552	1º	262	W	0,19
553	1º	228	W	0,20
554	1º	226	W	0,01
555	1º	208	W	0,12
556	1º	212	W	0,24
557	1º	354	N	0,06
558	1º	248	W	0,01
559	1º	14	E	0,04
560	1º	64	E	0,02

Tabela de Ordenação, Direção e Comprimento da Bacia do Passa Cinco  
Canais de Primeira Ordem (Continuação)

Número	Ordem	Direção	Direção	Comp
561	1º	58	E	0,12
562	1º	358	E	0,20
563	1º	310	N	0,05
564	1º	282	N	0,02
565	1º	284	N	0,01
566	1º	56	E	0,01
567	1º	72	E	0,02
568	1º	156	S	0,09
569	1º	90	E	0,09
570	1º	74	E	0,02
571	1º	342	N	0,02
572	1º	20	E	0,28
573	1º	4	E	0,17
574	1º	74	E	0,10
575	1º	118	S	0,05
576	1º	352	N	0,04
577	1º	38	E	0,05
578	1º	34	E	0,16
579	1º	70	E	0,18
580	1º	318	N	0,04
581	1º	76	E	0,04
582	1º	250	W	0,03
583	1º	110	S	0,01
584	1º	42	E	0,01
585	1º	30	E	0,04
586	1º	108	S	0,06
587	1º	128	S	0,09
588	1º	96	S	0,13
589	1º	90	E	0,29
590	1º	92	S	0,01
591	1º	52	E	0,02
592	1º	64	E	0,20
593	1º	74	E	0,02
594	1º	358	N	0,03
595	1º	54	E	0,15
596	1º	86	E	0,04
597	1º	60	E	0,01
598	1º	124	S	0,01
599	1º	58	E	0,25
600	1º	90	E	0,12

Número	Ordem	Direção	Direção	Comp
601	1º	34	E	0,20
602	1º	12	E	0,60
603	1º	94	S	0,17
604	1º	32	E	0,01
605	1º	78	E	0,17
606	1º	116	S	0,03
607	1º	30	E	0,10
608	1º	98	S	0,01
609	1º	76	E	0,13
610	1º	58	E	0,04
611	1º	26	E	0,10
612	1º	48	E	0,11
613	1º	306	N	0,02
614	1º	18	E	0,08
615	1º	250	W	0,09
616	1º	180	S	0,07
617	1º	216	W	0,09
618	1º	164	S	0,12
619	1º	314	N	0,02
620	1º	186	W	0,10
621	1º	264	W	0,19
622	1º	178	S	0,02
623	1º	254	W	0,13
624	1º	312	N	0,04
625	1º	346	N	0,03
626	1º	308	N	0,06
627	1º	332	N	0,04
628	1º	334	N	0,09
629	1º	254	W	0,12
630	1º	188	W	0,01
631	1º	178	S	0,02
632	1º	146	S	0,03
633	1º	190	W	0,10
634	1º	168	S	0,04
635	1º	142	S	0,02
636	1º	182	W	0,12
637	1º	114	S	0,13
638	1º	76	E	0,07
639	1º	148	S	0,05
640	1º	122	S	0,15

Tabela de Ordenação, Direção e Comprimento da Bacia do Passa Cinco  
Canais de Primeira Ordem (Continuação)

Número	Ordem	Direção	Direção	Comp
641	1º	52	E	0,02
642	1º	114	S	0,02
643	1º	130	S	0,08
644	1º	126	S	0,07
645	1º	82	E	0,12
646	1º	88	E	0,03
647	1º	144	S	0,02
648	1º	162	S	0,11
649	1º	216	W	0,01
650	1º	282	N	0,09
651	1º	252	N	0,02
652	1º	238	W	0,03
653	1º	326	N	0,02
654	1º	266	W	0,02
655	1º	272	N	0,27
656	1º	274	N	0,14
657	1º	220	W	0,02
658	1º	322	N	0,04
659	1º	318	W	0,08
660	1º	27	W	0,07
661	1º	280	N	0,03
662	1º	258	W	0,08
663	1º	316	N	0,07
664	1º	232	W	0,04
665	1º	142	S	0,08
666	1º	132	S	0,08
667	1º	154	S	0,02
668	1º	230	W	0,08
669	1º	304	N	0,02
670	1º	290	N	0,19
671	1º	296	N	0,21
672	1º	34	E	0,09
673	1º	316	N	0,08
674	1º	248	W	0,08
675	1º	2	E	0,09
676	1º	2	E	0,17
677	1º	300	N	0,26
678	1º	302	N	0,29
679	1º	306	N	0,05
680	1º	286	N	0,14

Número	Ordem	Direção	Direção	Comp
681	1º	258	W	0,03
682	1º	266	W	0,16
683	1º	274	N	0,06
684	1º	328	N	0,05
685	1º	276	N	0,29
686	1º	268	W	0,08
687	1º	292	N	0,07
688	1º	280	N	0,10
689	1º	206	W	0,04
690	1º	256	W	0,09
691	1º	284	N	0,07
692	1º	258	W	0,12
693	1º	172	S	0,18
694	1º	140	S	0,06
695	1º	170	S	0,25
696	1º	136	S	0,14
697	1º	122	S	0,07
698	1º	106	S	0,02
699	1º	148	S	0,03
700	1º	82	E	0,08
701	1º	126	S	0,09
702	1º	116	S	0,05
703	1º	142	S	0,04
704	1º	168	S	0,12
705	1º	158	S	0,06
706	1º	112	S	0,29
707	1º	174	S	0,12
708	1º	128	S	0,16
709	1º	60	E	0,13
710	1º	70	E	0,06
711	1º	204	W	0,13
712	1º	160	S	0,13
713	1º	236	W	0,04
714	1º	180	S	0,07
715	1º	106	S	0,13
716	1º	246	W	0,14
717	1º	136	S	0,10
718	1º	128	S	0,02
719	1º	50	E	0,03
720	1º	32	E	0,07

Tabela de Ordenação, Direção e Comprimento da Bacia do Passa Cinco  
Canais de Primeira Ordem (Continuação)

Número	Ordem	Direção	Direção	Comp
721	1º	172	S	0,08
722	1º	140	S	0,22
723	1º	186	W	0,17
724	1º	192	W	0,23
725	1º	334	N	0,13
726	1º	318	N	0,08
727	1º	126	S	0,08
728	1º	112	S	0,01
729	1º	272	N	0,15
730	1º	126	S	0,03
731	1º	164	S	0,12
732	1º	134	S	0,03
733	1º	112	S	0,08
734	1º	204	W	0,05
735	1º	238	W	0,16
736	1º	200	W	0,03
737	1º	228	W	0,02
738	1º	130	S	0,10
739	1º	268	W	0,04
740	1º	266	W	0,16
741	1º	284	N	0,17
742	1º	292	W	0,18
743	1º	228	W	0,22
744	1º	226	W	0,09
745	1º	46	E	0,11
746	1º	58	E	0,18
747	1º	38	E	0,25
748	1º	36	E	0,01
749	1º	344	N	0,05
750	1º	38	E	0,02
751	1º	96	S	0,06
752	1º	350	N	0,11
753	1º	6	E	0,15
754	1º	48	E	0,02
755	1º	20	E	0,12
756	1º	6	E	0,17
757	1º	74	E	0,02
758	1º	32	E	0,08
759	1º	74	E	0,08
760	1º	58	E	0,08

Número	Ordem	Direção	Direção	Comp
761	1º	32	E	0,06
762	1º	264	W	0,13
763	1º	272	N	0,09
764	1º	276	N	0,11
765	1º	210	W	0,02
766	1º	312	N	0,08
767	1º	358	N	0,09
768	1º	234	W	0,02
769	1º	254	W	0,10
770	1º	192	W	0,19
771	1º	196	W	0,08
772	1º	288	N	0,08
773	1º	288	N	0,05
774	1º	228	W	0,14
775	1º	348	N	0,15
776	1º	328	N	0,12
777	1º	322	N	0,05
778	1º	290	N	0,03
779	1º	8	E	0,05
780	1º	32	E	0,03
781	1º	346	N	0,03
782	1º	24	E	0,09
783	1º	278	N	0,04
784	1º	210	W	0,18
785	1º	220	W	0,05
786	1º	214	W	0,14
787	1º	240	W	0,12
788	1º	210	W	0,08
789	1º	302	N	0,14
790	1º	248	W	0,06
791	1º	270	N	0,27
792	1º	284	W	0,16
793	1º	286	N	0,26
794	1º	350	N	0,07
795	1º	190	W	0,07
796	1º	114	S	0,08
797	1º	144	S	0,08
798	1º	230	W	0,06
799	1º	300	N	0,04
800	1º	292	N	0,09

Tabela de Ordenação, Direção e Comprimento da Bacia do Passa Cinco  
Canais de Primeira Ordem (Continuação)

Número	Ordem	Direção	Direção	Comp
801	1º	276	N	0,15
802	1º	296	N	0,09
803	1º	208	W	0,09
804	1º	206	W	0,09
805	1º	320	W	0,05
806	1º	188	W	0,08
807	1º	182	W	0,06
808	1º	112	S	0,07
809	1º	338	N	0,08
810	1º	10	E	0,06
811	1º	334	E	0,05
812	1º	208	W	0,04
813	1º	300	N	0,02
814	1º	120	S	0,09
815	1º	268	W	0,10
816	1º	294	N	0,02
817	1º	106	N	0,03
818	1º	304	N	0,02
819	1º	310	N	0,02
820	1º	194	W	0,04
821	1º	248	W	0,03
822	1º	226	W	0,03
823	1º	194	W	0,02
824	1º	98	S	0,03
825	1º	78	E	0,02
826	1º	100	E	0,03
827	1º	118	S	0,06
828	1º	142	S	0,03
829	1º	286	N	0,04
830	1º	8	E	0,06
831	1º	308	N	0,09
832	1º	204	W	0,05
833	1º	282	N	0,07
834	1º	178	S	0,06
835	1º	190	W	0,08
836	1º	182	W	0,04
837	1º	200	W	0,06
838	1º	150	W	0,09
839	1º	318	N	0,03
840	1º	320	N	0,07

Número	Ordem	Direção	Direção	Comp
841	1º	304	N	0,04
842	1º	302	N	0,02
843	1º	280	N	0,08
844	1º	138	S	0,04
845	1º	220	W	0,08
846	1º	168	S	0,01
847	1º	154	S	0,01
848	1º	190	W	0,05
849	1º	248	W	0,43
850	1º	342	N	0,08
851	1º	326	N	0,01
852	1º	132	S	0,13
853	1º	140	S	0,12
854	1º	142	S	0,05
855	1º	194	W	0,12
856	1º	200	W	0,13
857	1º	242	W	0,19
858	1º	184	W	0,04
859	1º	276	N	0,14
860	1º	108	S	0,03
861	1º	180	S	0,07
862	1º	258	W	0,06
863	1º	268	W	0,19
864	1º	210	W	0,07
865	1º	212	W	0,07
866	1º	218	W	0,17
867	1º	138	S	0,06
868	1º	190	S	0,09
869	1º	10	E	0,08
870	1º	42	E	0,03
871	1º	40	E	0,18
872	1º	4	E	0,02
873	1º	78	E	0,05
874	1º	82	E	0,03
875	1º	276	W	0,03
876	1º	118	S	0,08
877	1º	346	N	0,11
878	1º	60	E	0,04
879	1º	326	N	0,08
880	1º	292	N	0,06

Tabela de Ordenação, Direção e Comprimento da Bacia do Passa Cinco  
Canais de Primeira Ordem (Continuação)

Número	Ordem	Direção	Direção	Comp
881	1º	312	N	0,08
882	1º	68	E	0,19
883	1º	282	N	0,23
884	1º	60	E	0,04
885	1º	326	N	0,02
886	1º	194	W	0,02
887	1º	330	N	0,06
888	1º	286	N	0,17
889	1º	228	W	0,07
890	1º	268	W	0,12
891	1º	348	N	0,02
892	1º	308	N	0,12
893	1º	284	N	0,14
894	1º	320	N	0,07
895	1º	316	N	0,21
896	1º	350	N	0,26
897	1º	332	N	0,03
898	1º	294	N	0,06
899	1º	14	E	0,04
900	1º	352	N	0,03
901	1º	42	E	0,02
902	1º	40	E	0,06
903	1º	354	N	0,13
904	1º	324	N	0,08
905	1º	78	E	0,07
906	1º	280	N	0,07
907	1º	118	S	0,08
908	1º	98	S	0,13
909	1º	242	W	0,04
910	1º	308	N	0,05
911	1º	174	S	0,04
912	1º	164	S	0,04
913	1º	262	W	0,12
914	1º	222	W	0,07
915	1º	150	S	0,06
916	1º	144	S	0,05
917	1º	142	S	0,08
918	1º	136	S	0,05
919	1º	190	W	0,14
920	1º	168	S	0,15

Número	Ordem	Direção	Direção	Comp
921	1º	256	W	0,04
922	1º	288	N	0,04
923	1º	4	E	0,03
924	1º	356	N	0,21
925	1º	284	N	0,13
926	1º	288	N	0,04
927	1º	146	S	0,15
928	1º	160	S	0,14
929	1º	0		0,00
930	1º	354	N	0,17
931	1º	322	N	0,11
932	1º	344	N	0,05
933	1º	282	N	0,06
934	1º	260	W	0,09
935	1º	226	W	0,05
936	1º	222	W	0,06
937	1º	46	E	0,08
938	1º	6	N	0,12
939	1º	276	N	0,04
940	1º	306	N	0,05
941	1º	66	E	0,10
942	1º	106	S	0,21
943	1º	90	E	0,04
944	1º	106	S	0,08
945	1º	98	S	0,04
946	1º	310	N	0,06
947	1º	282	N	0,16
948	1º	66	E	0,08
949	1º	352	W	0,03
950	1º	114	S	0,14
951	1º	118	S	0,11
952	1º	198	W	0,10
953	1º	96	S	0,03
954	1º	126	S	0,10
955	1º	312	N	0,10
956	1º	34	E	0,02
957	1º	28	E	0,13
958	1º	4	E	0,12
959	1º	86	E	0,02
960	1º	38	E	0,01

Tabela de Ordenação, Direção e Comprimento da Bacia do Passa Cinco  
Canais de Primeira Ordem (Continuação)

Número	Ordem	Direção	Direção	Comp
961	1º	130	S	0,01
962	1º	80	E	0,07
963	1º	36	E	0,04
964	1º	276	N	0,09
965	1º	352	N	0,08
966	1º	306	N	0,20
967	1º	252	W	0,09
968	1º	242	W	0,08
969	1º	346	N	0,06
970	1º	28	E	0,03
971	1º	24	E	0,09
972	1º	322	N	0,08
973	1º	280	N	0,14
974	1º	84	E	0,01
975	1º	126	S	0,09
976	1º	330	N	0,01
977	1º	16	E	0,01
978	1º	304	N	0,02
979	1º	50	E	0,03
980	1º	52	E	0,01
981	1º	98	S	0,01
982	1º	8	E	0,02
983	1º	74	E	0,07
984	1º	110	S	0,06
985	1º	128	S	0,14
986	1º	288	N	0,01
987	1º	298	N	0,15
988	1º	16	E	0,02
989	1º	24	E	0,02
990	1º	160	S	0,08
991	1º	68	E	0,09
992	1º	126	S	0,05
993	1º	344	N	0,02
994	1º	348	N	0,15
995	1º	50	E	0,02
996	1º	348	N	0,02
997	1º	80	E	0,01
998	1º	198	W	0,08
999	1º	204	W	0,14
1000	1º	254	W	0,05

Número	Ordem	Direção	Direção	Comp
1001	1º	274	N	0,06
1002	1º	284	W	0,08
1003	1º	284	N	0,23
1004	1º	324	N	0,02
1005	1º	274	N	0,05
1006	1º	340	N	0,04
1007	1º	16	E	0,02
1008	1º	80	E	0,02
1009	1º	132	S	0,04
1010	1º	66	E	0,08
1011	1º	62	E	0,10
1012	1º	20	E	0,09
1013	1º	78	E	0,11
1014	1º	52	E	0,12
1015	1º	258	W	0,14
1016	1º	268	N	0,28
1017	1º	248	W	0,01
1018	1º	342	N	0,09
1019	1º	24	E	0,23
1020	1º	32	E	0,11
1021	1º	14	E	0,01
1022	1º	172	S	0,13
1023	1º	174	S	0,18
1024	1º	202	W	0,28
1025	1º	202	W	0,33
1026	1º	162	S	0,05
1027	1º	356	N	0,14
1028	1º	332	N	0,14
1029	1º	324	N	0,01
1030	1º	232	W	0,06
1031	1º	168	S	0,06
1032	1º	126	S	0,04
1033	1º	0	0	0,00
1034	1º	162	S	0,09
1035	1º	42	E	0,09
1036	1º	0	N	0,07
1037	1º	344	N	0,13
1038	1º	276	N	0,12
1039	1º	250	W	0,09
1040	1º	310	N	0,07

Tabela de Ordenação, Direção e Comprimento da Bacia do Passa Cinco  
Canais de Primeira Ordem (Continuação)

Número	Ordem	Direção	Direção	Comp
1121	1º	38	E	0,20
1122	1º	44	E	0,44
1123	1º	78	E	0,07
1124	1º	36	E	0,38
1125	1º	68	E	0,14
1126	1º	88	E	0,17
1127	1º	348	N	0,10
1128	1º	24	E	0,18
1129	1º	60	E	0,08
1130	1º	26	E	0,04
1131	1º	352	N	0,09
1132	1º	26	E	0,15
1133	1º	32	N	0,13
1134	1º	52	E	0,36
1135	1º	84	E	0,09
1136	1º	288	N	0,09
1137	1º	306	N	0,03
1138	1º	312	N	0,14
1139	1º	88	E	0,14
1140	1º	300	N	0,05
1141	1º	86	E	0,14
1142	1º	286	N	0,05
1143	1º	76	E	0,32
1144	1º	88	E	0,11
1145	1º	12	E	0,08
1146	1º	120	S	0,29
1147	1º	122	S	0,24
1148	1º	294	N	0,28
1149	1º	348	N	0,04
1150	1º	110	S	0,04
1151	1º	130	S	0,09
1152	1º	96	S	0,04
1153	1º	40	E	0,05
1154	1º	308	N	0,05
1155	1º	284	N	0,06
1156	1º	330	N	0,02
1157	1º	132	S	0,19
1158	1º	98	S	0,06
1159	1º	28	E	0,10
1160	1º	0	N	0,19

Número	Ordem	Direção	Direção	Comp
1161	1º	338	N	0,10
1162	1º	70	E	0,04
1163	1º	32	E	0,20
1164	1º	294	N	0,04
1165	1º	354	N	0,06
1166	1º	0	N	0,05
1167	1º	110	S	0,16
1168	1º	342	N	0,36
1169	1º	82	E	0,09
1170	1º	38	E	0,12
1171	1º	68	E	0,13
1172	1º	332	N	0,02
1173	1º	324	N	0,12
1174	1º	346	N	0,05
1175	1º	324	N	0,04
1176	1º	214	W	0,20
1177	1º	212	W	0,05
1178	1º	224	W	0,04
1179	1º	310	N	0,03
1180	1º	76	E	0,04
1181	1º	0	N	0,02
1182	1º	278	N	0,03
1183	1º	80	E	0,14
1184	1º	170	S	0,02
1185	1º	356	N	0,02
1186	1º	350	N	0,04
1187	1º	66	E	0,03
1188	1º	186	W	0,03
1189	1º	18	E	0,06
1190	1º	314	N	0,03
1191	1º	6	E	0,05
1192	1º	260	W	0,03
1193	1º	236	W	0,14
1194	1º	66	E	0,01
1195	1º	108	S	0,01
1196	1º	218	W	0,04
1197	1º	118	S	0,10
1198	1º	120	S	0,02
1199	1º	228	W	0,08
1200	1º	282	N	0,15

Tabela de Ordenação, Direção e Comprimento da Bacia do Passa Cinco  
Canais de Primeira Ordem (Final)

Número	Ordem	Direção	Direção	Comp
1201	1º	284	N	0,10
1202	1º	176	N	0,06
1203	1º	228	W	0,06
1204	1º	108	S	0,01
1205	1º	262	W	0,16
1206	1º	250	W	0,03
1207	1º	356	N	0,07
1208	1º	172	S	0,07
1209	1º	156	S	0,04
1210	1º	174	S	0,04
1211	1º	304	N	0,08
1212	1º	252	W	0,02
1213	1º	84	W	0,04
1214	1º	334	N	0,03
1215	1º	314	N	0,03
1216	1º	318	N	0,04
1217	1º	334	N	0,07
1218	1º	178	S	0,01
1219	1º	24	E	0,01
1220	1º	332	N	0,12
1221	1º	320	N	0,10
1222	1º	82	E	0,02

Tabela de Ordenação, Direção e Comprimento da Bacia do Passa Cinco  
Canais de Segunda à Sexta Ordem

Número	Ordem	Direção	Direção	Comp
1223	2º	0		0,23
1224	2º	0		0,05
1225	2º	0		0,14
1226	2º	0		0,09
1227	2º	0		0,04
1228	2º	0		0,08
1229	2º	0		0,17
1230	2º	0		0,23
1231	2º	0		0,25
1232	2º	0		0,05
1233	2º	0		0,03
1234	2º	0		0,10
1235	2º	0		0,20
1236	2º	0		0,15
1237	2º	0		0,19
1238	2º	0		0,13
1239	2º	0		0,43
1240	2º	0		0,15
1241	2º	0		0,18
1242	2º	0		0,09
1243	2º	0		0,16
1244	2º	0		0,12
1245	2º	0		0,09
1246	2º	0		0,14
1247	2º	0		0,21
1248	2º	0		0,02
1249	2º	0		0,23
1250	2º	0		0,03
1251	2º	0		0,10
1252	2º	0		0,10
1253	2º	0		0,02
1254	2º	0		0,02
1255	2º	0		0,35
1256	2º	0		0,19
1257	2º	0		0,07
1258	2º	0		0,10
1259	2º	0		0,14
1260	2º	0		0,06
1261	2º	0		0,10
1262	2º	0		0,03
1263	2º	0		0,14

Número	Ordem	Direção	Direção	Comp
1264	2º	0		0,03
1265	2º	0		0,14
1266	2º	0		0,15
1267	2º	0		0,05
1268	2º	0		0,04
1269	2º	0		0,04
1270	2º	0		0,12
1271	2º	0		0,08
1272	2º	0		0,15
1273	2º	0		0,15
1274	2º	0		0,05
1275	2º	0		0,05
1276	2º	0		0,03
1277	2º	0		0,04
1278	2º	0		0,21
1279	2º	0		0,10
1280	2º	0		0,15
1281	2º	0		0,10
1282	2º	0		0,08
1283	2º	0		0,02
1284	2º	0		0,23
1285	2º	0		0,15
1286	2º	0		0,35
1287	2º	0		0,05
1288	2º	0		0,15
1289	2º	0		0,14
1290	2º	0		0,06
1291	2º	0		0,20
1292	2º	0		0,06
1293	2º	0		0,06
1294	2º	0		0,16
1295	2º	0		0,07
1296	2º	0		0,20
1297	2º	0		0,19
1298	2º	0		0,25
1299	2º	0		0,04
1300	2º	0		0,03
1301	2º	0		0,10
1302	2º	0		0,03
1303	2º	0		0,03
1304	2º	0		0,30

Tabela de Ordenação, Direção e Comprimento da Bacia do Passa Cinco  
Canais de Segunda à Sexta Ordem (Continuação)

Número	Ordem	Direção	Direção	Comp
1305	2º	0		0,22
1306	2º	0		0,05
1307	2º	0		0,05
1308	2º	0		0,10
1309	2º	0		0,04
1310	2º	0		0,12
1311	2º	0		0,19
1312	2º	0		0,09
1313	2º	0		0,10
1314	2º	0		0,02
1315	2º	0		0,15
1316	2º	0		0,32
1317	2º	0		0,16
1318	2º	0		0,69
1319	2º	0		0,15
1320	2º	0		0,05
1321	2º	0		0,07
1322	2º	0		0,03
1323	2º	0		0,16
1324	2º	0		0,02
1325	2º	0		0,07
1326	2º	0		0,16
1327	2º	0		0,08
1328	2º	0		0,04
1329	2º	0		0,03
1330	2º	0		0,11
1331	2º	0		0,25
1332	2º	0		0,34
1333	2º	0		0,07
1334	2º	0		0,04
1335	2º	0		0,09
1336	2º	0		0,13
1337	2º	0		0,04
1338	2º	0		0,09
1339	2º	0		0,14
1340	2º	0		0,17
1341	2º	0		0,01
1342	2º	0		0,24
1343	2º	0		0,01
1344	2º	0		0,14
1345	2º	0		0,14

Número	Ordem	Direção	Direção	Comp
1346	2º	0		0,04
1347	2º	0		0,13
1348	2º	0		0,08
1349	2º	0		0,02
1350	2º	0		0,08
1351	2º	0		0,14
1352	2º	0		0,06
1353	2º	0		0,07
1354	2º	0		0,36
1355	2º	0		0,16
1356	2º	0		0,22
1357	2º	0		0,03
1358	2º	0		0,25
1359	2º	0		0,03
1360	2º	0		0,34
1361	2º	0		0,86
1362	2º	0		0,08
1363	2º	0		0,07
1364	2º	0		0,23
1365	2º	0		0,08
1366	2º	0		0,04
1367	2º	0		0,04
1368	2º	0		0,11
1369	2º	0		0,04
1370	2º	0		0,12
1371	2º	0		0,19
1372	2º	0		0,02
1373	2º	0		0,03
1374	2º	0		0,04
1375	2º	0		0,04
1376	2º	0		0,04
1377	2º	0		0,02
1378	2º	0		0,53
1379	2º	0		0,81
1380	2º	0		0,04
1381	2º	0		0,03
1382	2º	0		0,08
1383	2º	0		0,11
1384	2º	0		0,02
1385	2º	0		0,03
1386	2º	0		0,08

Tabela de Ordenação, Direção e Comprimento da Bacia do Passa Cinco  
Canais de Segunda à Sexta Ordem (Continuação)

Número	Ordem	Direção	Direção	Comp
1387	2º	0		0,28
1388	2º	0		0,08
1389	2º	0		0,03
1390	2º	0		0,09
1391	2º	0		0,23
1392	2º	0		0,42
1393	2º	0		0,07
1394	2º	0		0,24
1395	2º	0		0,05
1396	2º	0		0,21
1397	2º	0		0,14
1398	2º	0		0,24
1399	2º	0		0,06
1400	2º	0		0,21
1401	2º	0		0,10
1402	2º	0		0,12
1403	2º	0		0,15
1404	2º	0		0,02
1405	2º	0		0,03
1406	2º	0		0,27
1407	2º	0		0,07
1408	2º	0		0,06
1409	2º	0		0,14
1410	2º	0		0,08
1411	2º	0		0,06
1412	2º	0		0,14
1413	2º	0		0,10
1414	2º	0		0,03
1415	2º	0		0,02
1416	2º	0		0,22
1417	2º	0		0,15
1418	2º	0		0,15
1419	2º	0		0,07
1420	2º	0		0,05
1421	2º	0		0,18
1422	2º	0		0,29
1423	2º	0		0,11
1424	2º	0		0,07
1425	2º	0		0,04
1426	2º	0		0,08
1427	2º	0		0,02

Número	Ordem	Direção	Direção	Comp
1428	2º	0		0,02
1429	2º	0		0,04
1430	2º	0		0,02
1431	2º	0		0,09
1432	2º	0		0,04
1433	2º	0		0,07
1434	2º	0		0,08
1435	2º	0		0,20
1436	2º	0		0,02
1437	2º	0		0,10
1438	2º	0		0,02
1439	3º	0		0,14
1440	3º	0		0,23
1441	3º	0		0,19
1442	3º	0		0,09
1443	3º	0		0,14
1444	3º	0		0,15
1445	3º	0		0,88
1446	3º	0		0,74
1447	3º	0		0,34
1448	3º	0		0,28
1449	3º	0		0,50
1450	3º	0		0,26
1451	3º	0		0,38
1452	3º	0		0,21
1453	3º	0		0,26
1454	3º	0		0,34
1455	3º	0		0,30
1456	3º	0		0,50
1457	3º	0		0,04
1458	3º	0		0,12
1459	3º	0		0,18
1460	3º	0		0,24
1461	3º	0		0,24
1462	3º	0		0,34
1463	3º	0		0,08
1464	3º	0		0,06
1465	3º	0		0,03
1466	3º	0		0,06
1467	3º	0		0,16
1468	3º	0		0,80

Tabela de Ordenação, Direção e Comprimento da Bacia do Passa Cinco  
 Canais de Segunda à Sexta Ordem (Final)

Número	Ordem	Direção	Direção	Comp
1469	3º	0		0,85
1470	3º	0		0,67
1471	3º	0		1,15
1472	3º	0		0,08
1473	3º	0		0,35
1474	3º	0		0,42
1475	3º	0		0,04
1476	3º	0		0,46
1477	3º	0		0,10
1478	3º	0		0,34
1479	3º	0		1,14
1480	3º	0		0,14
1481	3º	0		0,11
1482	3º	0		0,19
1483	3º	0		0,09
1484	3º	0		0,35
1485	3º	0		0,40
1486	3º	0		0,11
1487	3º	0		0,28
1488	4º	0		1,09
1489	4º	0		0,05
1490	4º	0		2,42
1491	4º	0		1,31
1492	4º	0		1,14
1493	4º	0		1,58
1494	4º	0		1,10
1495	4º	0		0,55
1496	4º	0		0,10
1497	5º	0		3,24
1498	5º	0		0,34
1499	6º	0		3,98

#### **4.5) – Mapa de Orientação de Canais**

Este mapa nos permite conhecer tanto a ordem dos canais na área da bacia como sua classificação. Foi confeccionado sobre as cartas usando papel vegetal e lápis coloridos.

Após este mapa ter sido confeccionado, foram criadas duas tabelas. Estas tabelas mostram a ordenação, a direção e o comprimento de todos os rios da Bacia.

As tabelas possuem as seguintes colunas:

A Primeira Coluna contém os números dos rios da bacia. Este número de rio obedeceu uma sequência lógica crescente; partindo do canto inferior direito indo no sentido horário até o canto inferior esquerdo. Em uma segunda contagem mais detalhada foram acrescidos mais rios.

A Segunda Coluna possui a ordem do canal conforme Christofoletti (1980) por Stralher. A ordenação variou na Bacia de primeira ordem até a sexta ordem. Há em anexo uma tabela de ordenação de canais e um gráfico que mostra as porcentagens de ordens da Bacia. A ordenação já foi mencionada anteriormente neste trabalho.

A Terceira Coluna é quanto a Direção. Para obter a direção dos rios foi usada uma bússola. A bússola foi colocada sobre o papel vegetal e com o seu espelho na foz, foi traçado junto ao seu lado reto uma linha imaginária entre a jusante o montante sendo desprezados os contornos dos rios. Após ser traçada esta linha imaginária a bússola foi aplumada. Uma vez com o seu nível de plumo estabilizado foi obtida a direção, com base no Norte Magnético.

A Quarta Coluna é complementar a Terceira e possui as direções da “Rosa dos Ventos”, ou seja as quatro direções geográficas.

A Quinta Coluna mostra o comprimento dos rios. Este comprimento foi feito através de um curvímetro. O curvímetro (neste caso foi usado um de mesa) é um aparelho que possui uma pequena roda, que ao ser acionada em contato com o mapa movimenta um odômetro, dando os comprimentos dos rios. Este comprimento do rio é depois transformado unidade métrica. Cada rio teve o seu comprimento medido duas vezes.

Foram contados 1499 rios (perenes ou não).

## CAP. 5 – Interpretações

No mapa de densidade de nascentes vamos verificar que a desndidade de nascentes por Km<sup>2</sup> no Alto Curso é em alguns locais parecida com a densidade no Médio Curso.

Na porção norte do Alto Curso (em ambas as margens), próximo ao divisor da bacia observamos que existem poucas nascentes. Isto também ocorre no baixo curso também, só que em áreas maiores, localizadas no interior da Bacia.

Há casos em que na parte mais setentrional da Bacia a quantidade de nascentes fica bem abaixo da média, variando de 0 (zero) a 3 (três) nascentes por km<sup>2</sup>.

Na região do Médio Curso a média é de 3 (três) a 6 (seis) nascentes por Km<sup>2</sup>. No divisor mais meridional da margem esquerda, neste mesmo curso(sempre na direção jusante-montante), há uma quantidade maior de nascentes chegando a ter mais de 10 por km<sup>2</sup>. Elas coincidem com as maiores altitudes médias da Bacia.

Mesmo nas demais regiões do Médio Curso tanto nas Cuestas como em seus patamares também ocorrem índices mais elevados de nascentes por Km<sup>2</sup>.

No Mapa de Canais Retilíneos no reverso ocorrem de 0 (zero) a 5 (cinco) setores retilíneos por quadrícula. Já na região das Cuestas este número varia de 5 (cinco) a 10 (dez) setores retilíneos por quadrícula. Na Grande Depressão Periférica este número aumenta, chegando em alguns casos acima de 15 setores retilíneos por quadrícula.

Quanto aos rios podemos dizer que no Alto Curso há uma grande quantidade de rios perenes e intermitentes. Os formadores perenes do Passa Cinco na superfície de cimeira (Bacia do Paraná) são sensivelmente mais longos que no resto da bacia.

Nos patamares da Cuestas o comprimento dos Rios Perenes decresce consideravelmente.

Os rios intermitentes apresentam-se nesta região em uma grande quantidade, e aí também encontramos a maior quantidade de nascentes perenes; principalmente na margem esquerda.

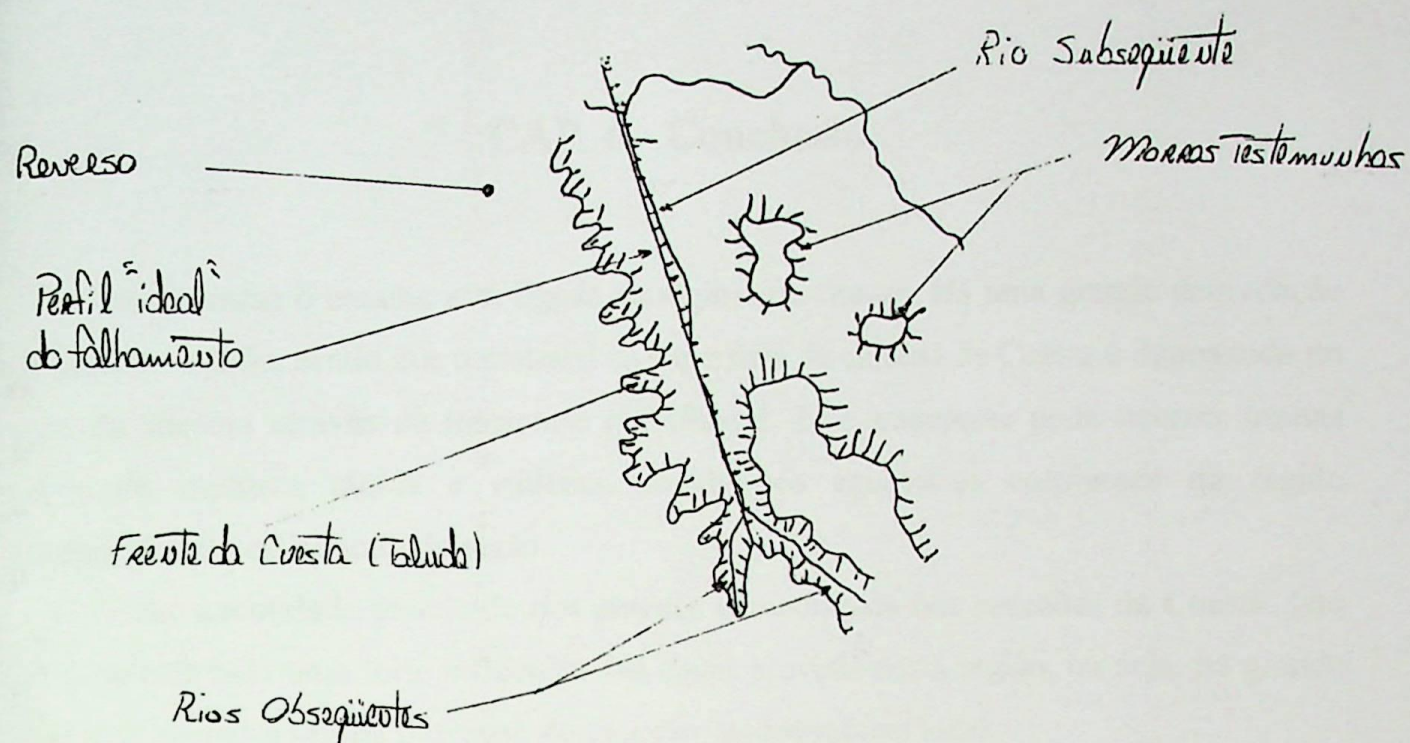
Na Depressão Periférica há uma sensível diminuição tanto dos rios intermitentes como dos rios perenes. No Baixo Curso os intermitentes nesta região são longos e retilíneos.

Se os falhamentos com desnivelamento de blocos, em escadaria (patamares mais ou menos semelhantes), criaram as incipientes escarpas, foi, sem dúvida a erosão, favorecida por soerguimento epirogênico, que procedeu à escavação dando a área uma compartimentação individualizada.

É sobre esta compartimentação do relevo paulista constituído assim, em seu conjunto o Reverso da Cuesta – Bacia do Paraná, a Zona de Contato entre as Compartimentações (as Cuestas e seus patamares) e a Grande Depressão Periférica Paulista que encontramos a Bacia do Rio Passa Cinco.

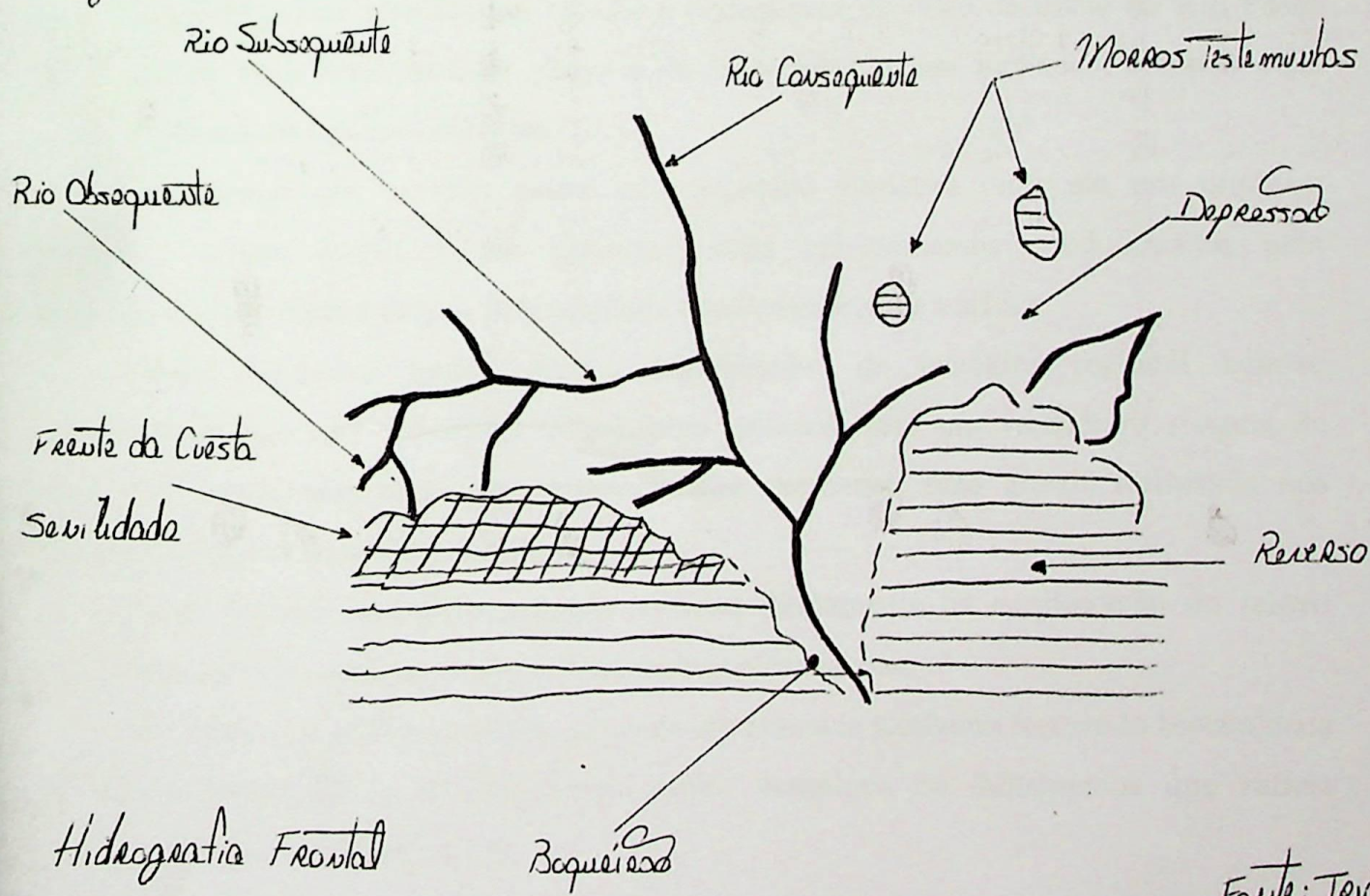
A escavação do Rio Passa Cinco bem como o seu pretérito foi feita em fases de entalhe sob influência climáticas alternadas. Ora um período seco com clima predominantemente desértico, ora úmido com aguaceiros mais ou menos distribuídos com uma certa regularidade por todo o ano.

Fig 141



Fonc: Tricart (1949)

Fig 151



Fonc: Tricart (1949)

## CAP. 6 - Conclusão

Nas cuestas o entalhe está ligado ao regime de chuvas. Há uma grande degradação no período úmido, sendo que o material da superfície de cimeira da Cuesta é depositado no sopé da mesma através de transporte pluvifluvial. Este transporte pode ocorrer muitas vezes de maneira rápida e violenta, devido aos aguaceiros constantes na região principalmente no período do verão.

Uma quantidade grande de rios perenes é encontrada nos paredões da Cuesta. Isto faz com que haja uma forte influência das águas pluviais nesta região, ou seja, há grande ação das torrentes (águas pluviais) no processo pedogenético local.

Portanto podemos afirmar que o clima influência diretamente os processos de degradação do solo na Cuesta (Regime de Chuvas). Em um primeiro momento entalhando profundos vales nas escarpas basálticas; e logo a seguir agindo sobre os seus patamares moldando tabuleiros e morros testemunhos.

A porção da Bacia do Paraná que integra a Bacia Hidrográfica em estudo, possui uma superfície pouco alterada em relação a pedogênese do resto da Bacia do Rio Passa Cinco. Com topo relativamente plano e um mergulho pouco inclinado mantém suas características muito pouco alteradas.

Podemos afirmar que ocorreu assim uma sucessão climática onde em um primeiro momento houve aridez (clima desértico) com aplainamentos condicionados pela modificação do clima e depois pela umidade e novamente para a aridez.

Como podemos notar, através dos estudos da tectônica regional vem-se comprovando que não ocorreram falhamentos isolados, mas um verdadeiro sistema de falhamentos poligonais que inquestionavelmente exerceram uma grande influência nos processos erosivos da área de estudo.

Estes falhamentos influenciaram portanto diretamente na esculturação do relevo atual, segundo linha tectônicas pré-estabelecidas ou reativadas.

Já vimos que existe na região estudada um mosaico tectônico formando blocos mais ou menos retangulares. É um sistema muito complexo de falhamentos que reflete diretamente na rede de drenagem.

Os rios como podemos notar, obedecem as falhas existentes tanto na região da Depressão Periférica como aqueles ocasionais que correm sobre os processos erosivos na escarpa basáltica.

O relevo da Grande Depressão Periférica é uma superfície com fisiologias já mencionada de morros, morrotes e tabuleiros aplainados. Os rios tem o seu curso mais calmo e fazendo com que seu material coluvial seja aí mesmo depositado.

A calha do Rio Passa Cinco e seus afluentes estão assim condicionados a ação morfológica com forte influência de reativamento de falhas por tectonismo ou vulcanismo. Sendo neste caso o tectonismo mais provável devido a idade do Escudo Brasileiro.

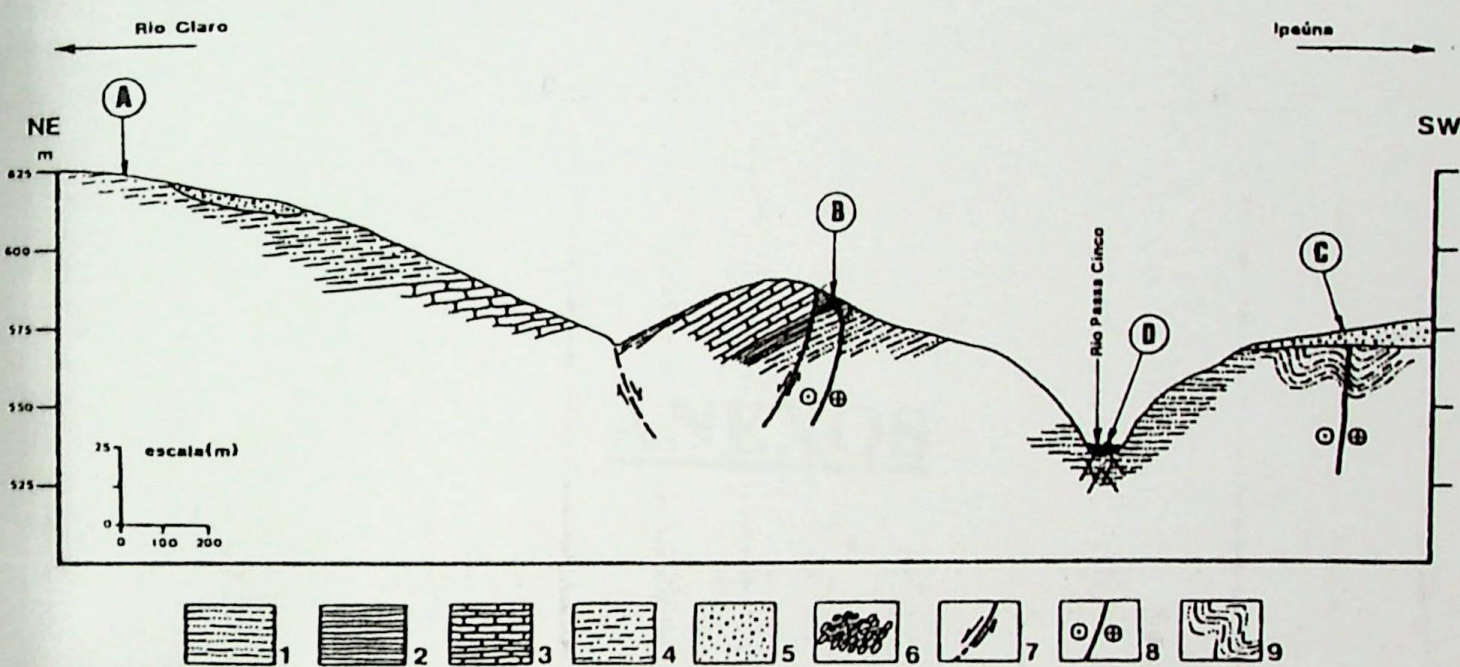
Pela análise regional eles obedecem nitidamente o falhamento. As viradas abruptas de curso – principalmente no sopé da Cuesta; a presença de muitos setores retilíneos e a orientação quase pertinente na direção dos cursos d'água são evidências que nos mostram isto.

Trata-se assim de um ruptura estrutural e aproveitando as direções de fraquezas da estrutura há o encaixe dos rios nestas falhas transcorrentes.

Processos semelhantes de esculturação e aprofundamento, em setores compartimentados são percebidos em sub-bacias hidrográficas de 2º e 3º ordem de grandeza (rios subsequentes).

Análises de paleomeandros, principalmente no período entre as grandes atividade tectônicas seriam de muita importância para confirmar a evolução deste sistemas para a atual bacia.

Praucha Tatuí

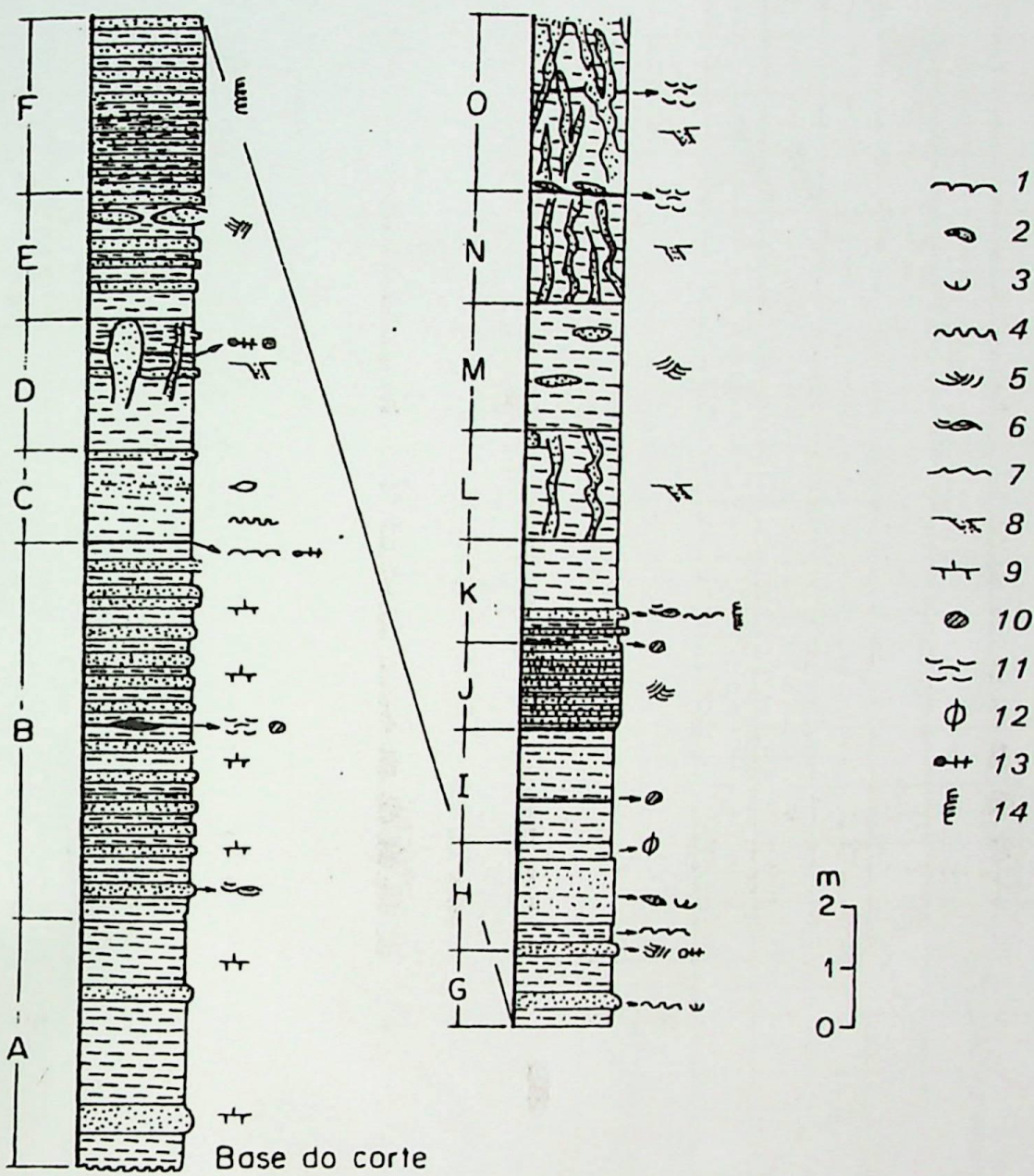


Seção geológica transversal ao Vale do Rio Passa Cinco (Rodovia SP-191, arredores de Ipeúna, SP). 1. siltitos e arenitos finos da Formação Tatuí; 2. folhelhos da Formação Taquaral; 3. calcários e folhelhos da Formação Assistência; 4. siltitos da Formação Corumbataí; 5. lamitos arenosos com seixos e arenitos da Formação Rio Claro; 6. conglomerados de terraços do Rio Passa Cinco; 7. falha normal; 8. falha transcorrente sinistral; 9. dobrás. As localidades A a E estão referidas no texto.

Fonte: Ricomini (1995)

## **ANEXOS**

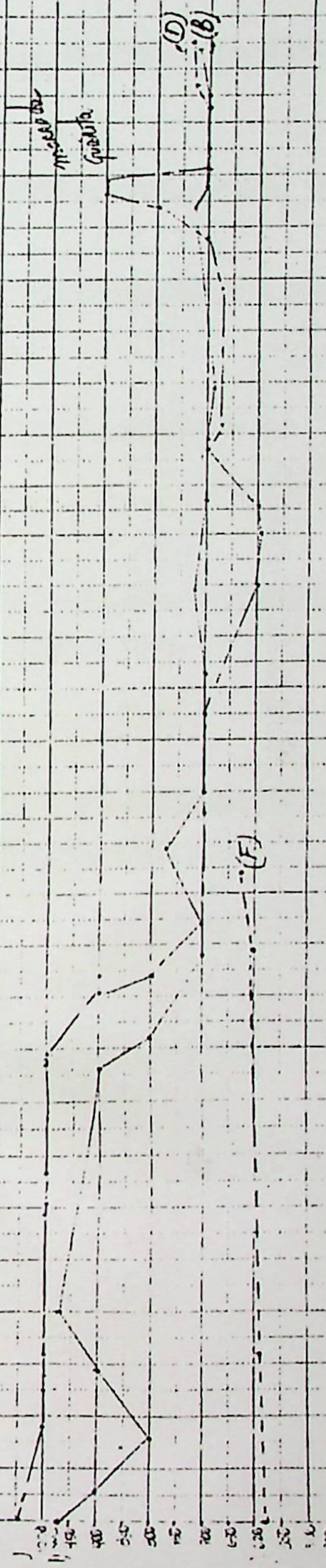
Praucho 1041



Seção colunar de afloramento da Formação Corumbataí, situado na Rodovia SP-308, arredores de Santa Luzia, Município de Charqueada (221,0 km E, 7.500,2 km N), com destaque para os diques clásticos presentes nos intervalos D, L, N, e O. Notar a presença de níveis de coquina nos intervalos superiores (N e O) com diques clásticos. As texturas tracejada, traço e ponto, e pontilhada representam, respectivamente, argilitos, siltitos e arenitos finos. 1. gretas de contração; 2. estrutura *linsen*; 3. estrutura *flaser*; 4. estrutura ondulada (*wavy*); 5. *climbing ripples*; 6. estratificação truncada por ondas; 7. marcas onduladas; 8. diques clásticos; 9. cimentação carbonática; 10. nódulos de sílex; 11. coquina; 12. impressões vegetais; 13. restos de animais (peixes, conchostráceos e bivalves); 14. icnofósseis.

Fonte: Ricominiv (1995)

Precis - Río (Barrio) Base Civil



BIBLIOGRAFIA:

CHRISTOFOLETTI, Antônio, 1936 - Geomorgologia. São Paulo, Edgard Blucher, 2º edição , 1980.

IPT, Intituto de Pesquisas Tecnológicas, Mapa Geomorfológico de São Paulo, 1980.

IBGE, Instituto Brasileiro de Estatística e Geografia, Carta Topográfica de Itirapina-1:50.000, SF-23-M-1-3. reedição em 1969.

IBGE, Instituto Brasileiro de Estatística e Geografia, Carta Topográfica de Rio Claro - 1:50.000, SF-23-M-1-4. reedição em 1969.

PENTEADO, Margarida M., 1968 - Geomorfologia do Setor Centro-Ocidental da Depressão Periférica Paulista. Tese de Doutoramento. UNESP, 1976.

RICCOMINI, Cláudio, Tectonismo Gerador e Deformador dos Depósitos Sedimentares Pós-Gondvânicos da Porção Centro-Oriental do Estado de São Paulo e Áreas Vizinhas. IG - USP, 1995.

TRICART, J. - Relêvo de Cuestas. Boletim Geográfico, Outubro de 1949.

